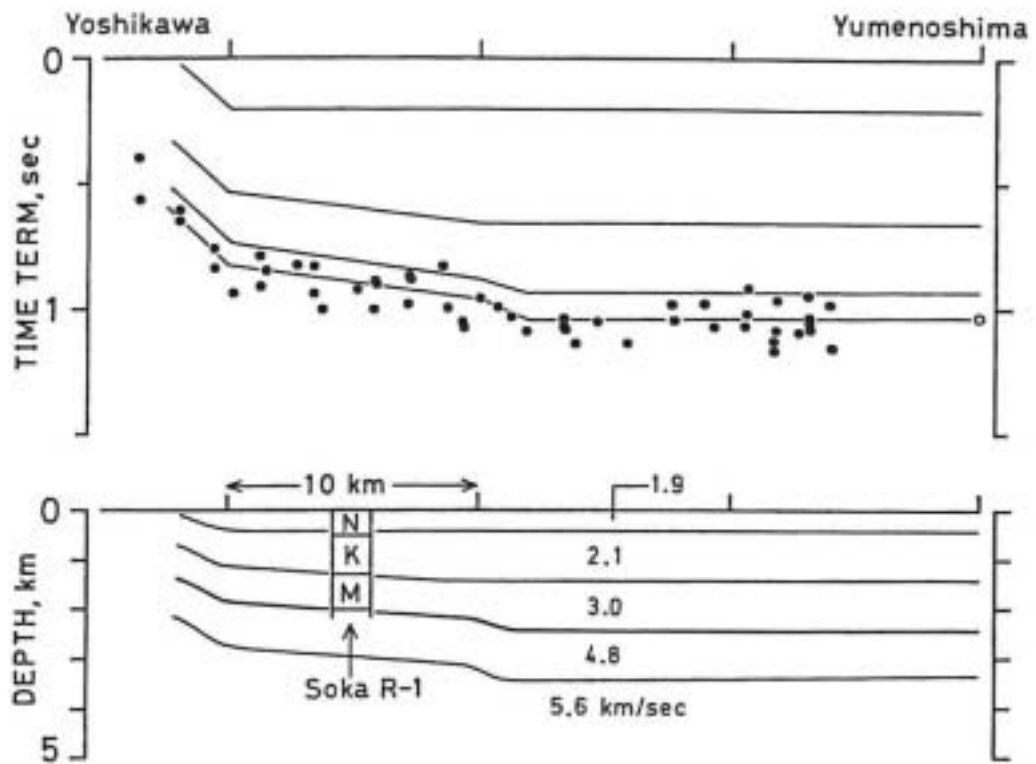
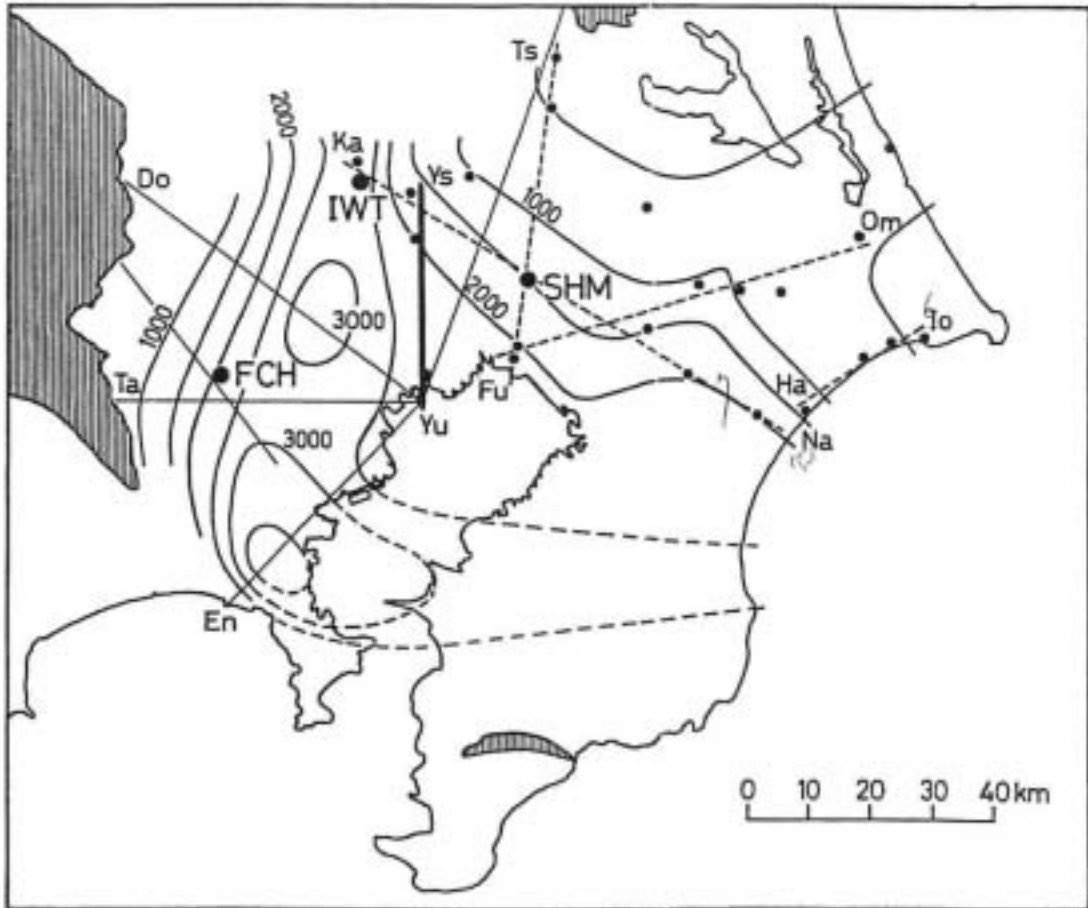


・参考文献抜粋図

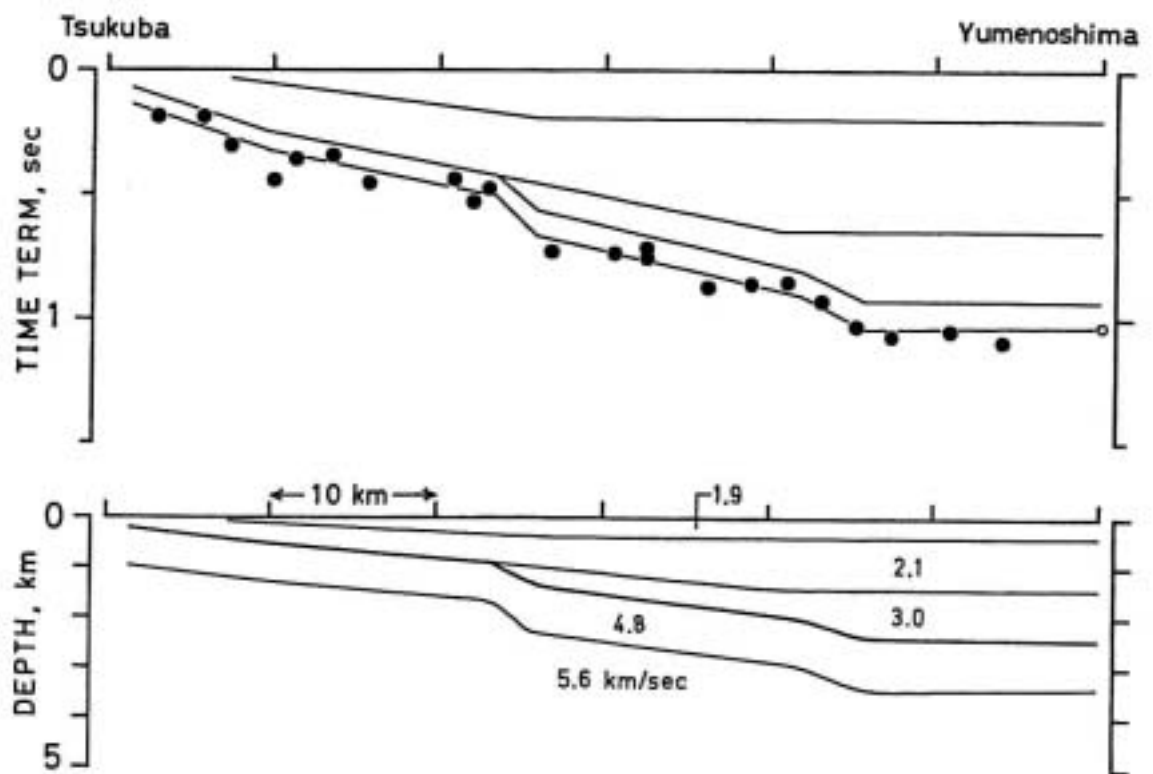
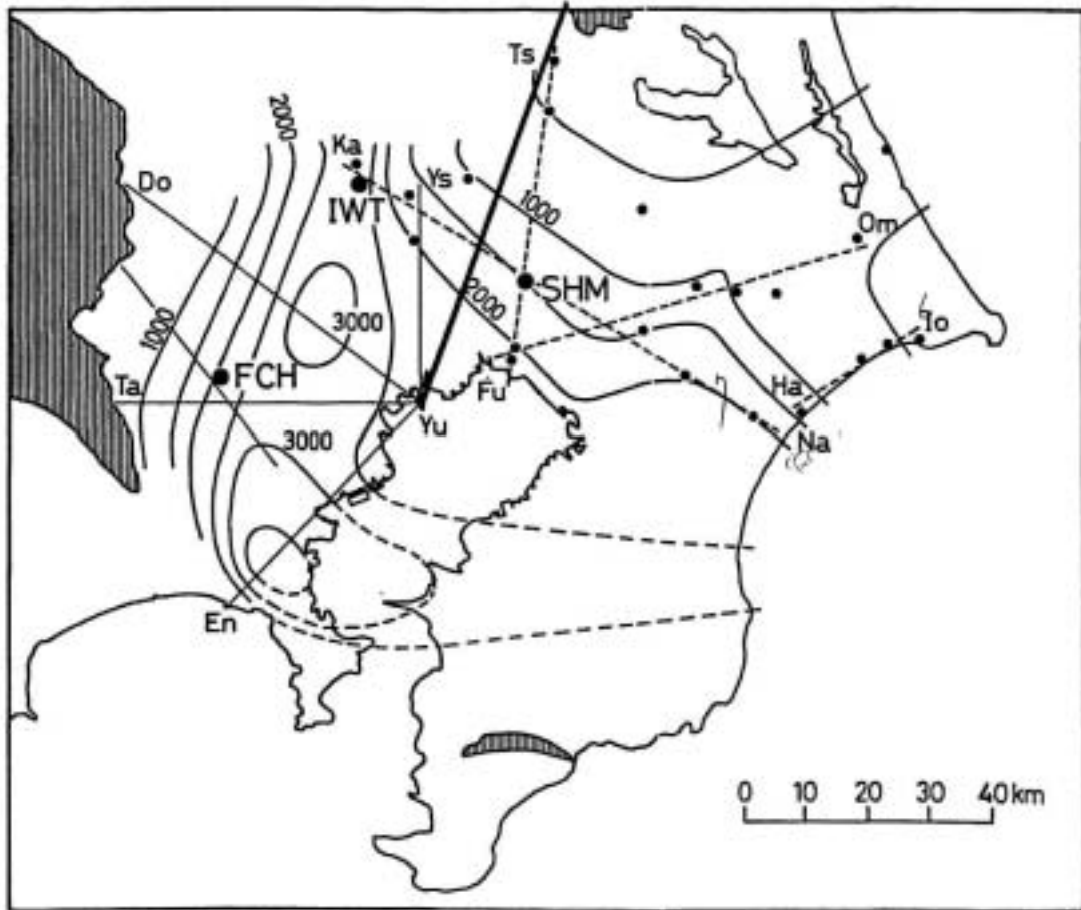
右上：文献番号

右下：ページ番号



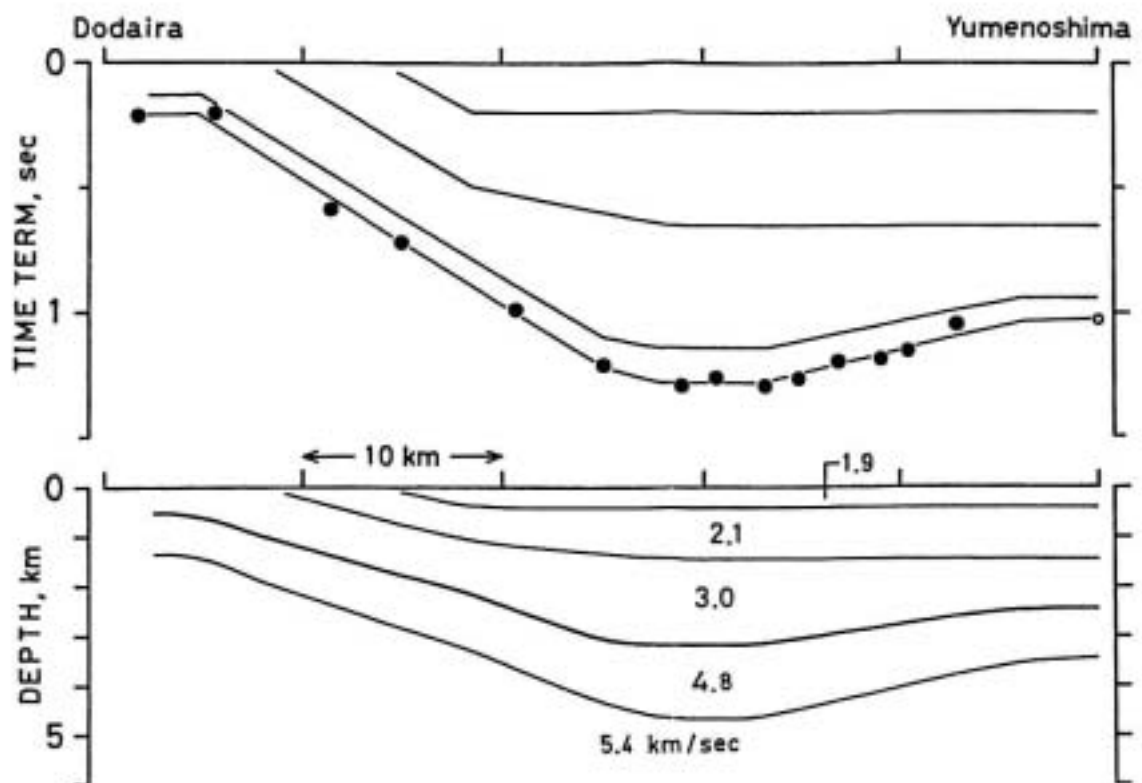
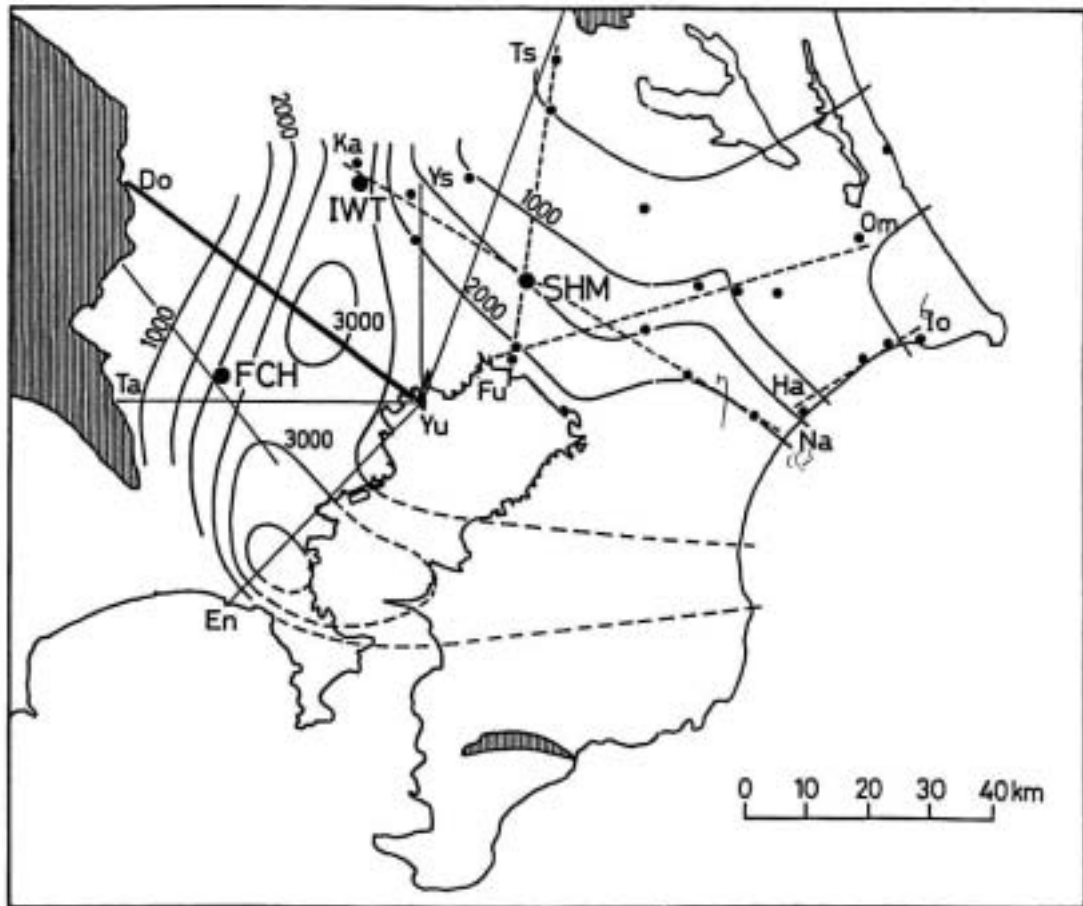
Fumio Yamamizu(1996)

Down-Hole Measurements of Seismic Wave Velocities in Deep Soil Deposits beneath the Tokyo Metropolitan Area. Report of the National Research Institute for Earth Science and Disaster Prevention, 55, 1-32.



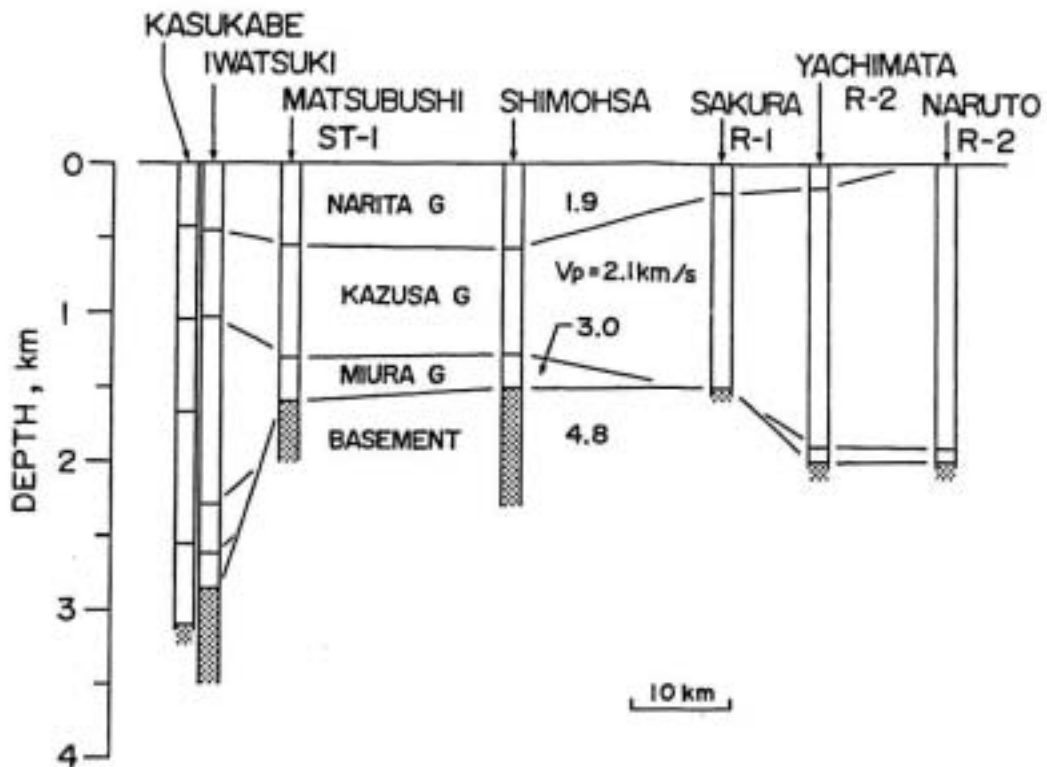
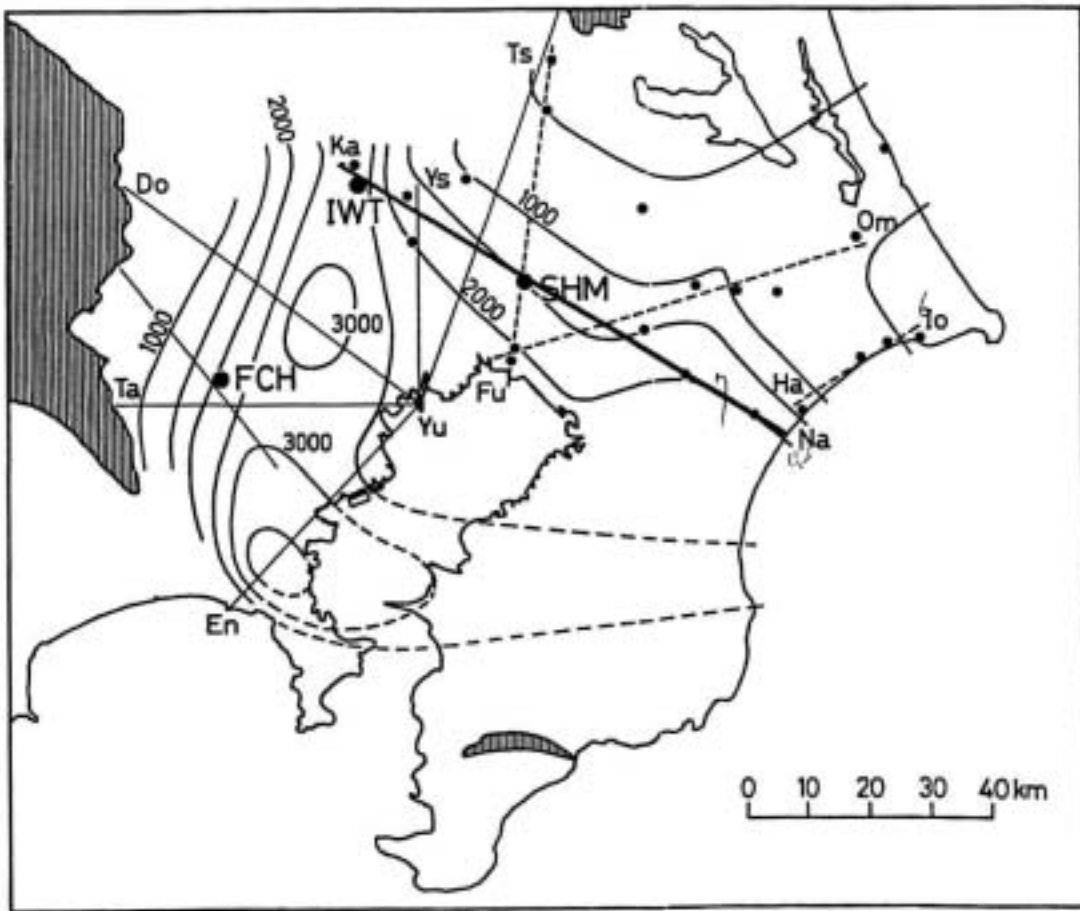
Fumio Yamamizu(1996)

Down-Hole Measurements of Seismic Wave Velocities in Deep Soil Deposits beneath the Tokyo Metropolitan Area. Report of the National Research Institute for Earth Science and Disaster Prevention, 56, 1-32.



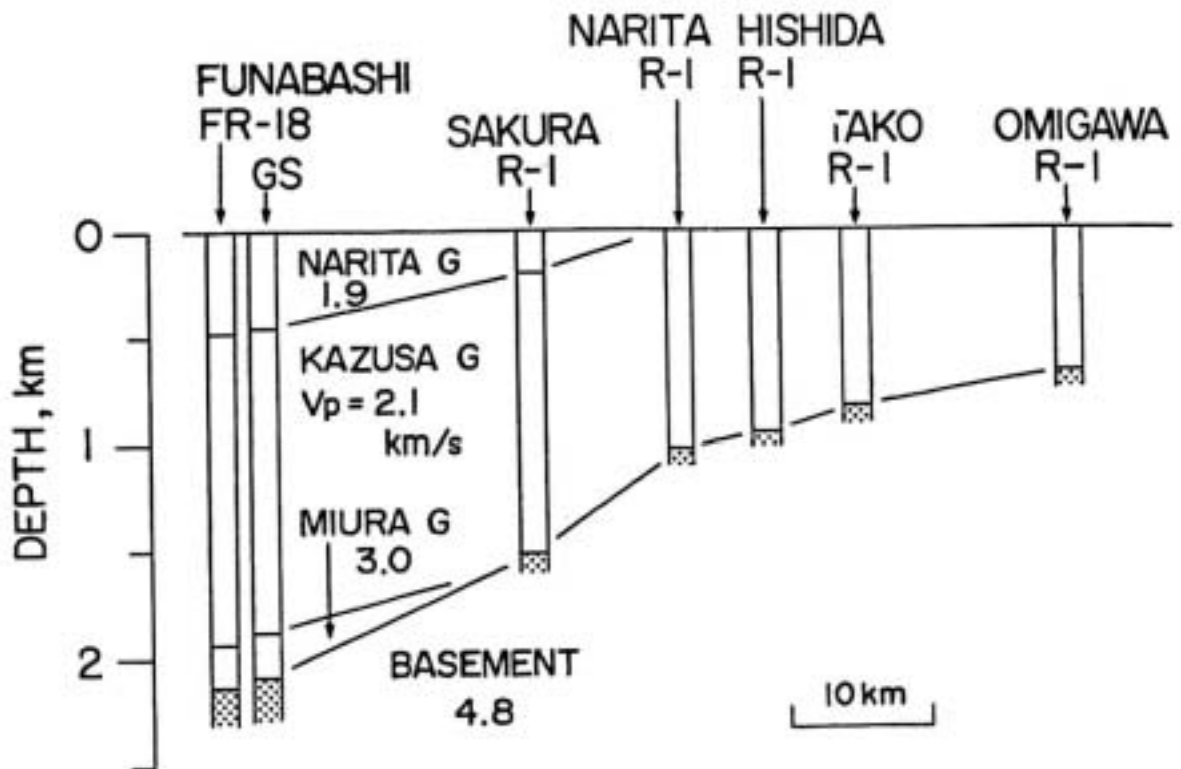
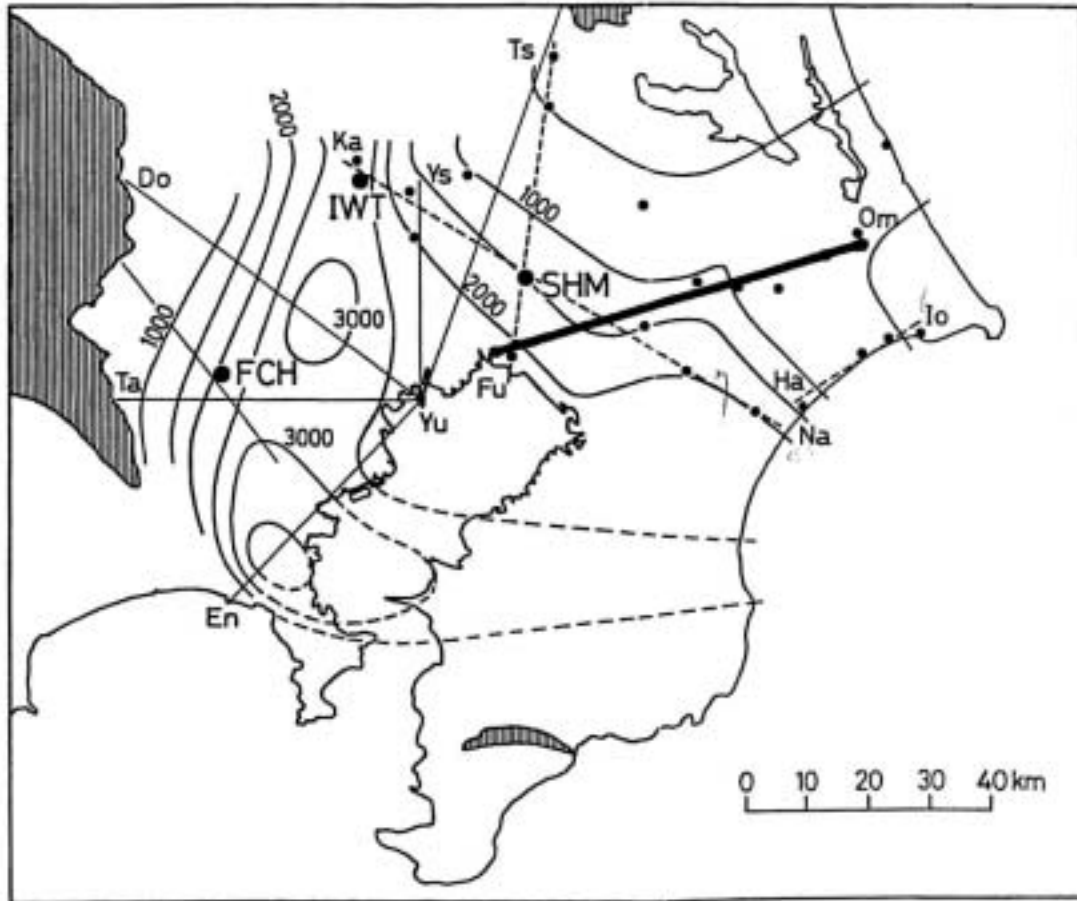
Fumio Yamamizu(1996)

Down-Hole Measurements of Seismic Wave Velocities in Deep Soil Deposits beneath the Tokyo Metropolitan Area.
Report of the National Research Institute for Earth Science and Disaster Prevention, 56, 1-32.



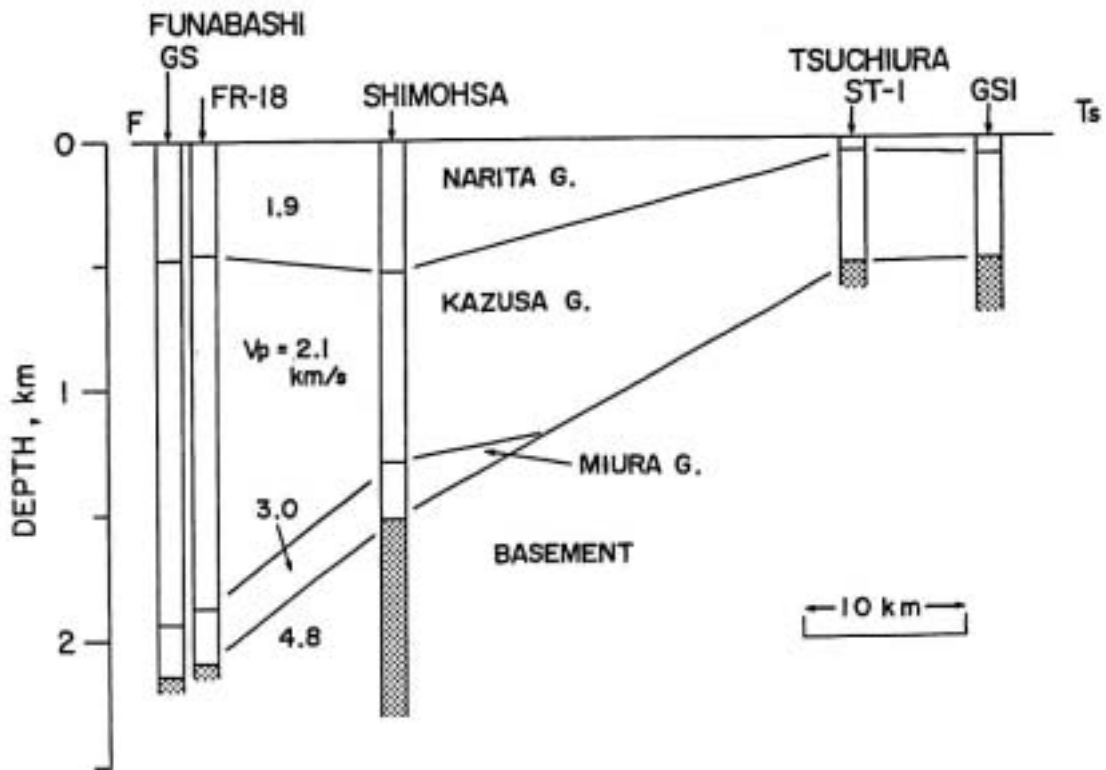
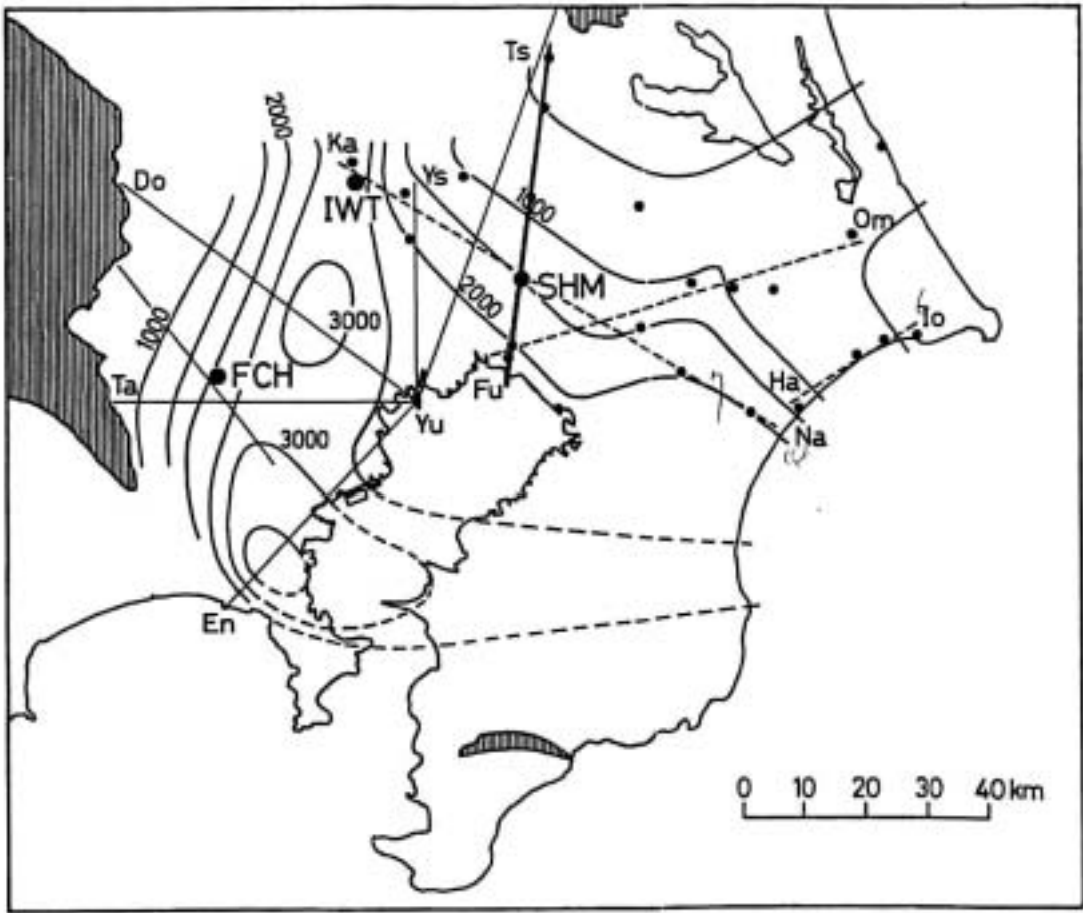
Fumio Yamamizu(1996)

Down-Hole Measurements of Seismic Wave Velocities in Deep Soil Deposits beneath the Tokyo Metropolitan Area. Report of the National Research Institute for Earth Science and Disaster Prevention, 56, 1-32.



Fumio Yamamizu(1996)

Down-Hole Measurements of Seismic Wave Velocities in Deep Soil Deposits beneath the Tokyo Metropolitan Area. Report of the National Research Institute for Earth Science and Disaster Prevention, 56, 1-32.

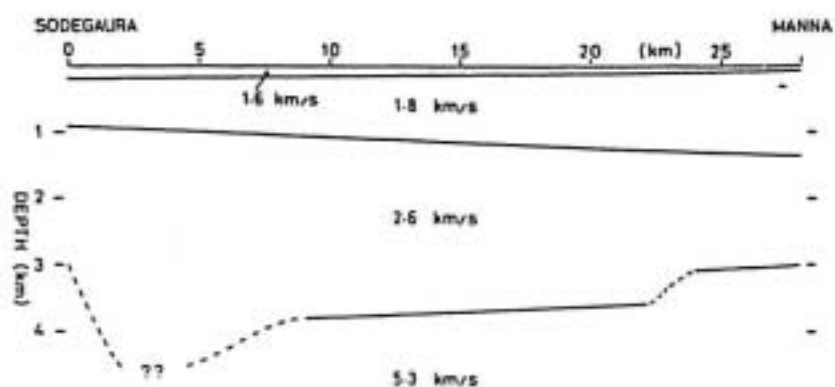


Fumio Yamamizu(1996)

Down-Hole Measurements of Seismic Wave Velocities in Deep Soil Deposits beneath the Tokyo Metropolitan Area. Report of the National Research Institute for Earth Science and Disaster Prevention, 56, 1-32.

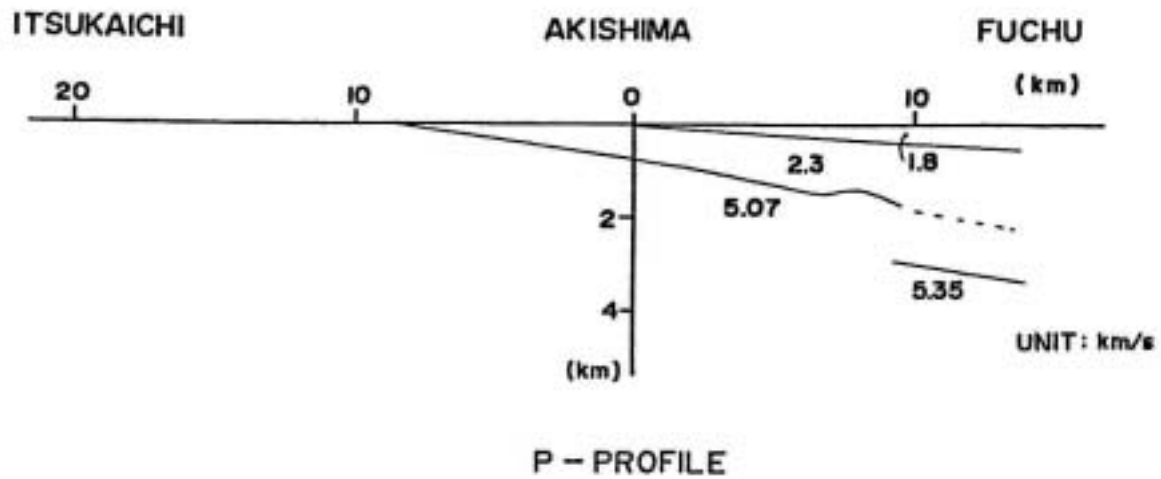
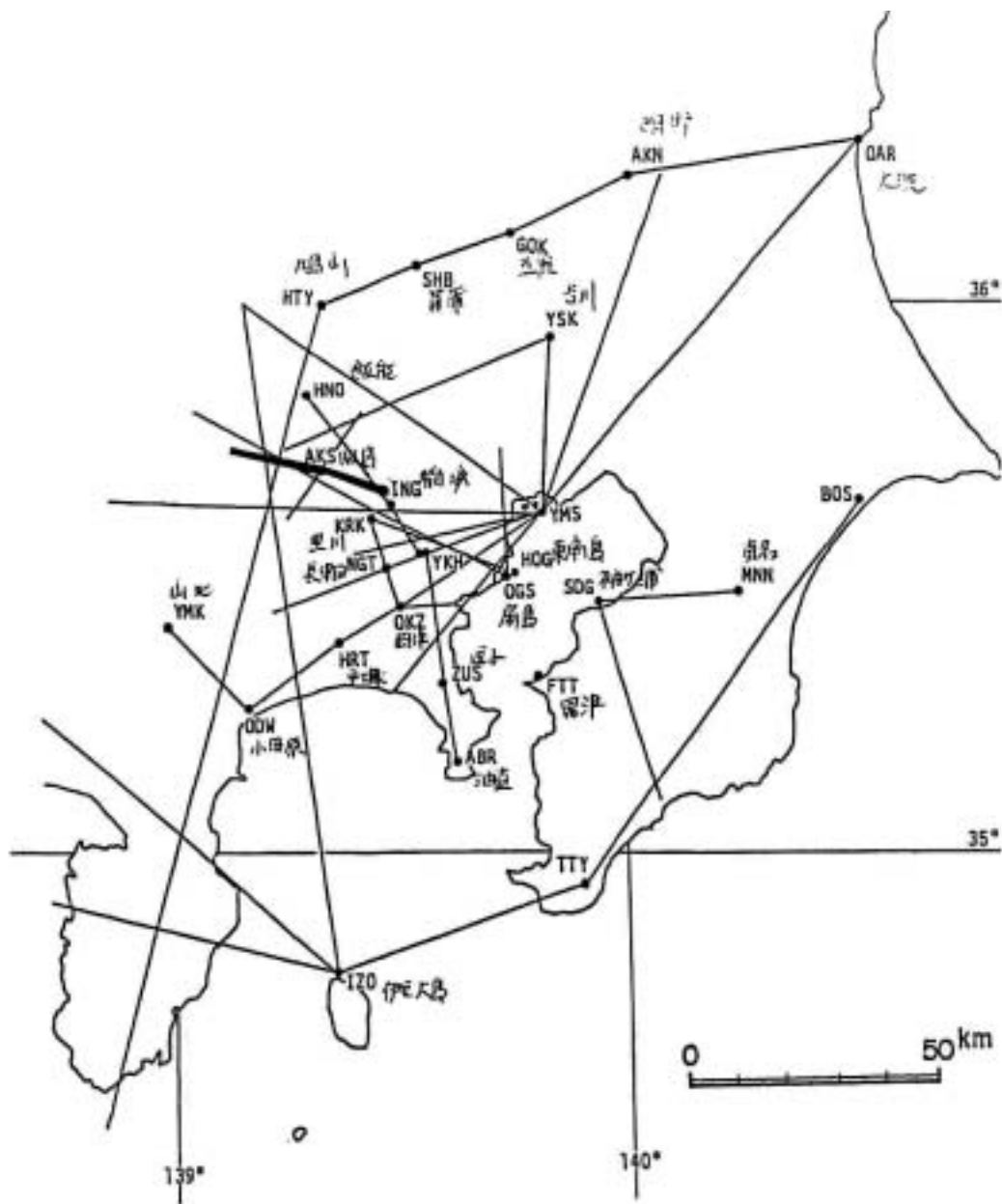


第1図

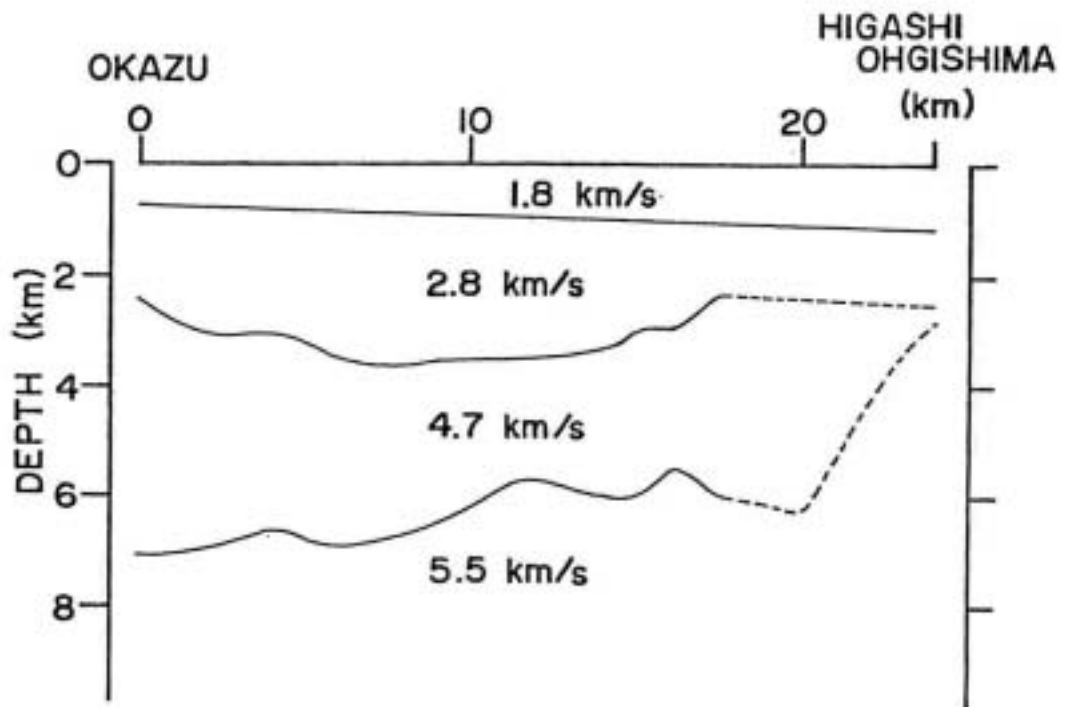
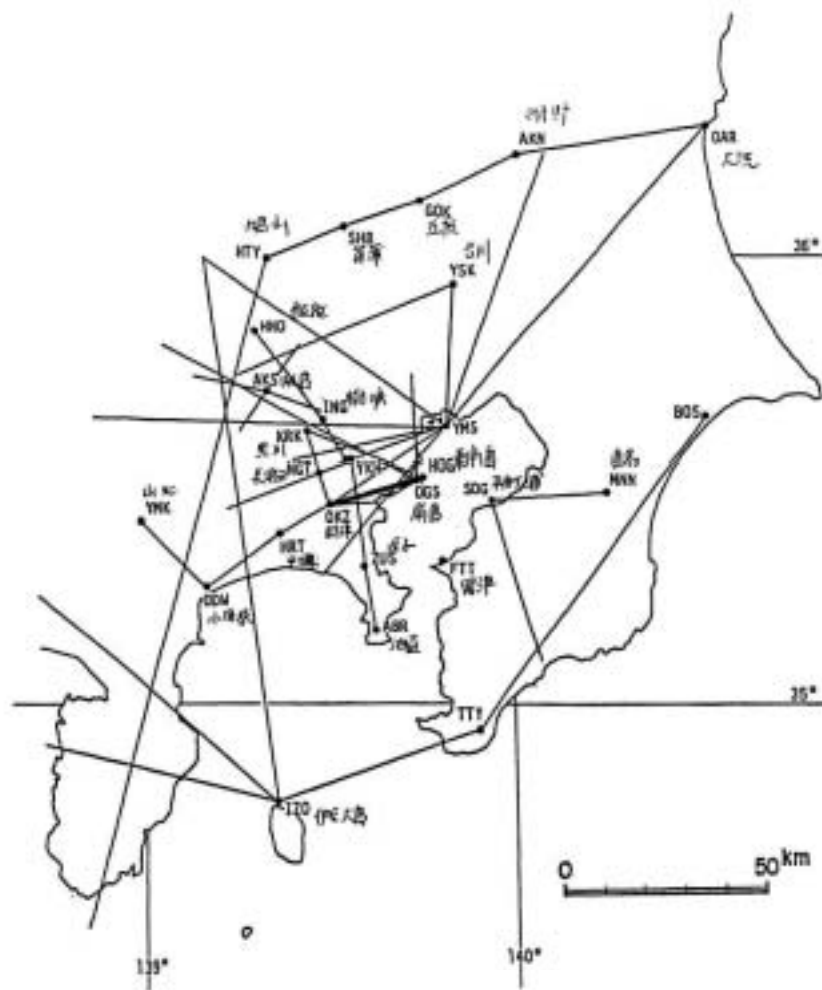


第2図

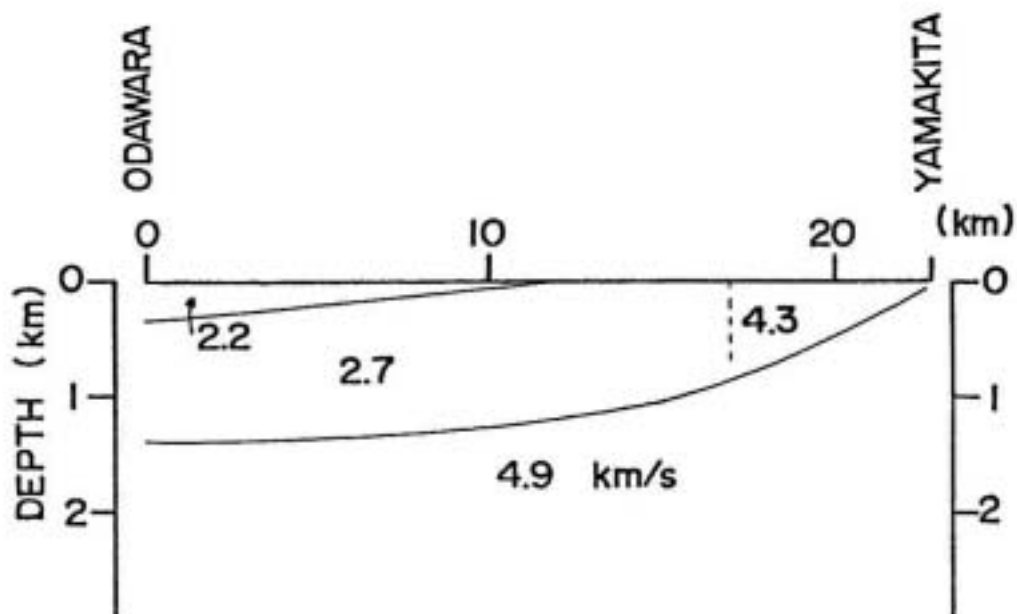
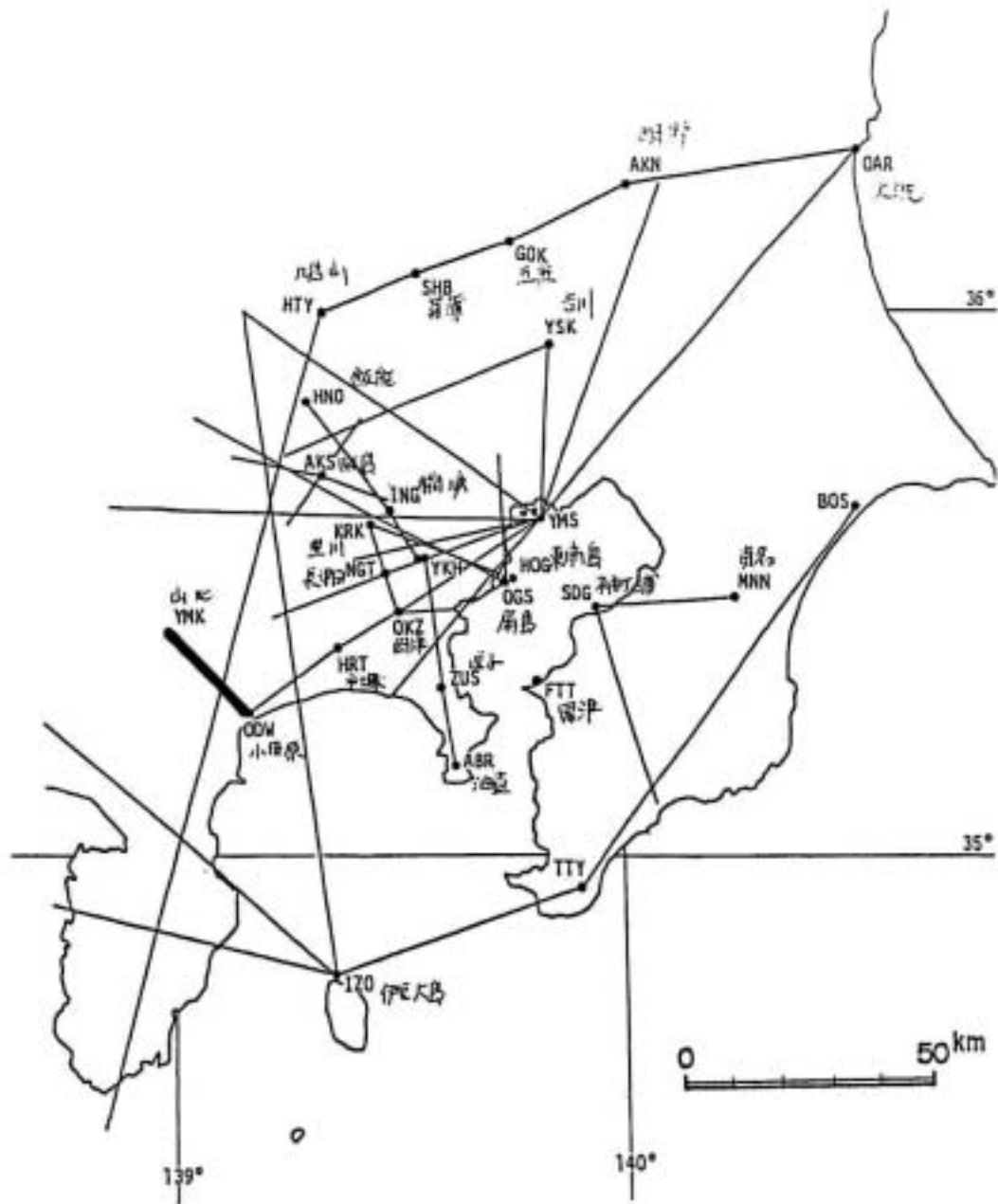
嶋 悦三・柳沢馬住・座間信作・Albert Veloso(1983)
千葉県中部の地下構造. 日本地震学会講演予稿集1, B90.



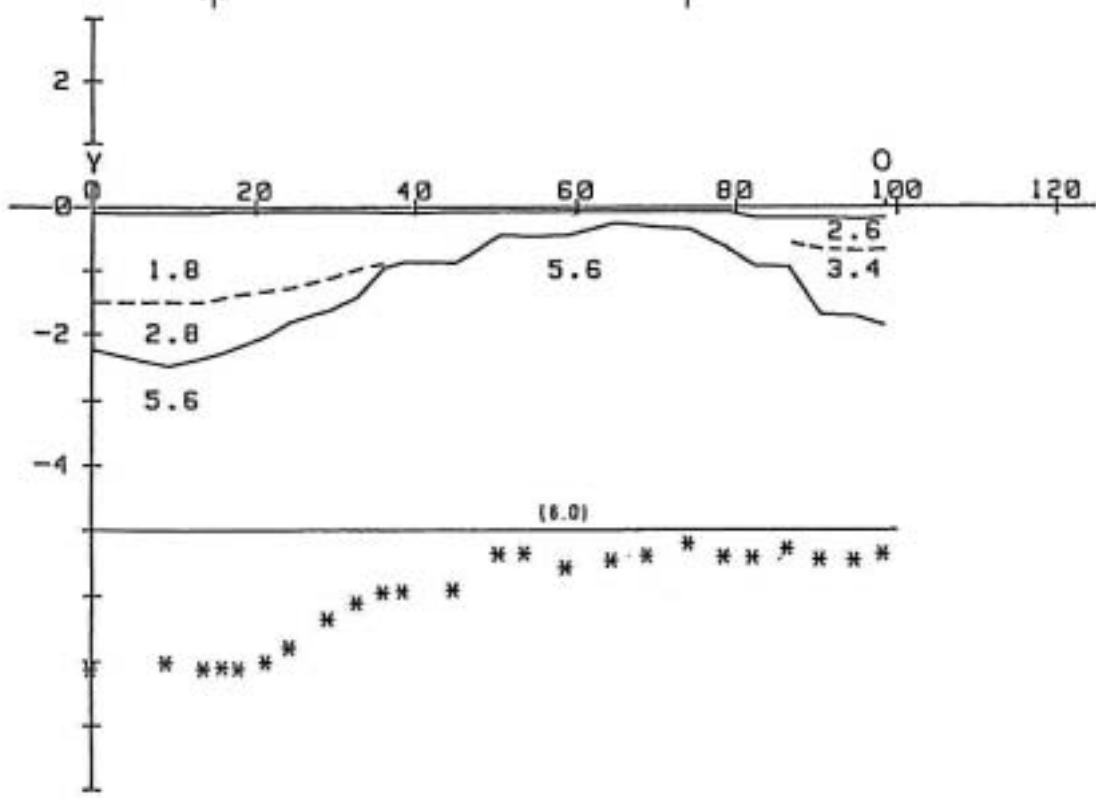
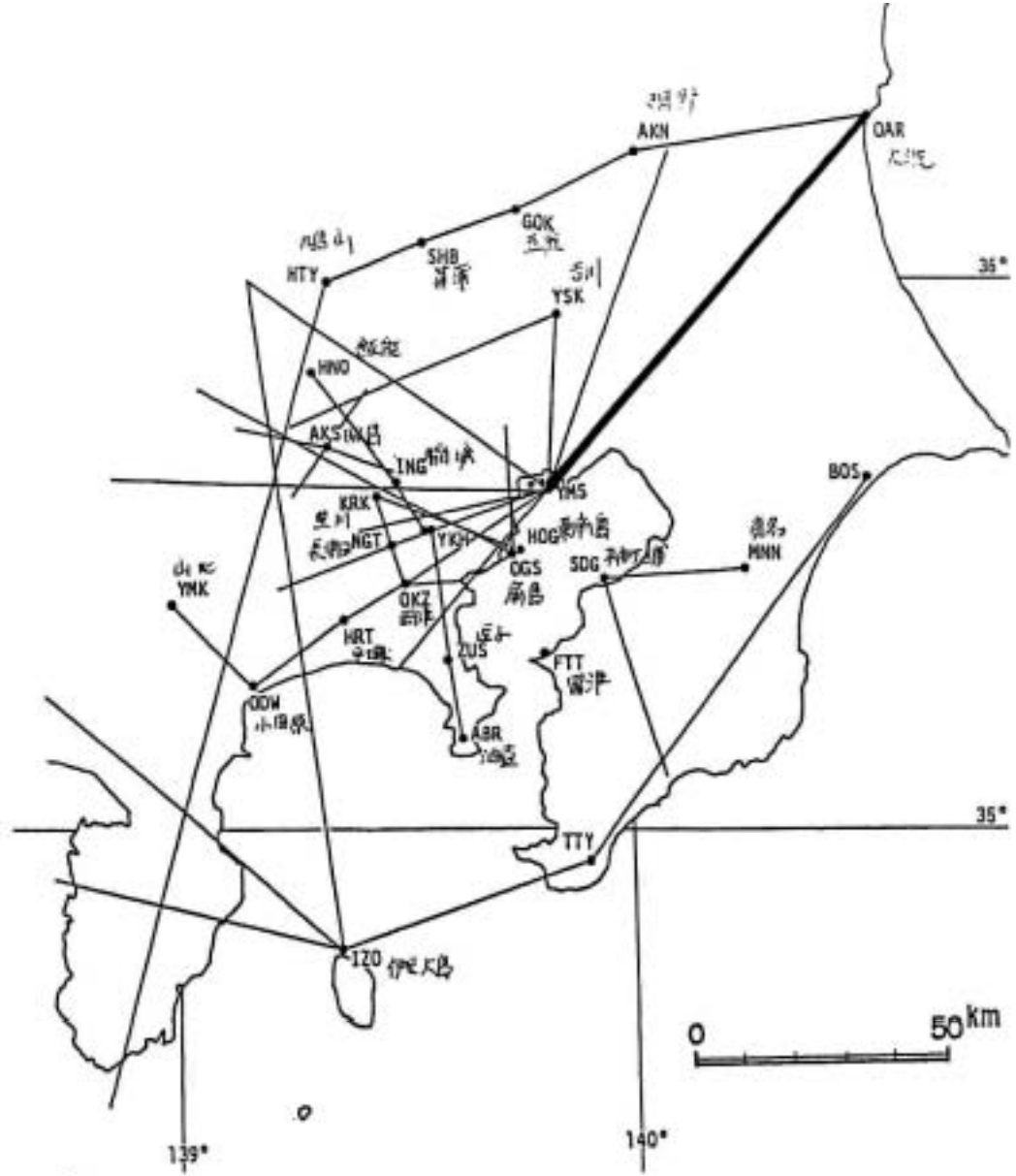
小林啓美・嶋 悦三・瀬尾和大(1985)
 首都圏南西部の地下深部構造に関する研究. 川崎市の震災予防に関する調査報告書, 1-42.



小林啓美・嶋 悦三・瀧尾和大(1985)
 首都圏南西部の地下深部構造に関する研究. 川崎市の震災予防に関する調査報告書, 1-42.



小林啓英・嶋 悦三・瀬尾和大(1985)
 首都圏南西部の地下深部構造に関する研究. 川崎市の震災予防に関する調査報告書, 1-42.



小林啓美・嶋 悦三・瀬尾和大(1985)
 首都圏南西部の地下深部構造に関する研究. 川崎市の震災予防に関する調査報告書, 1-42.

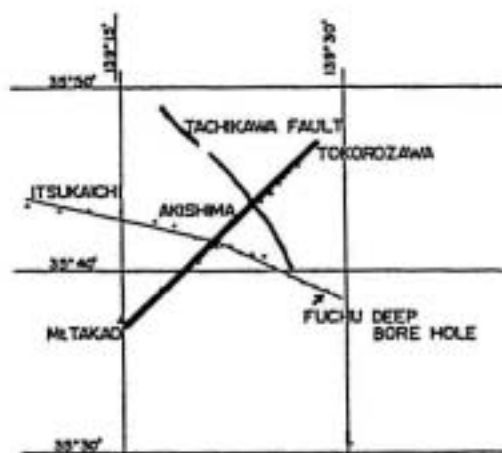


図1：発破点と観測点の位置

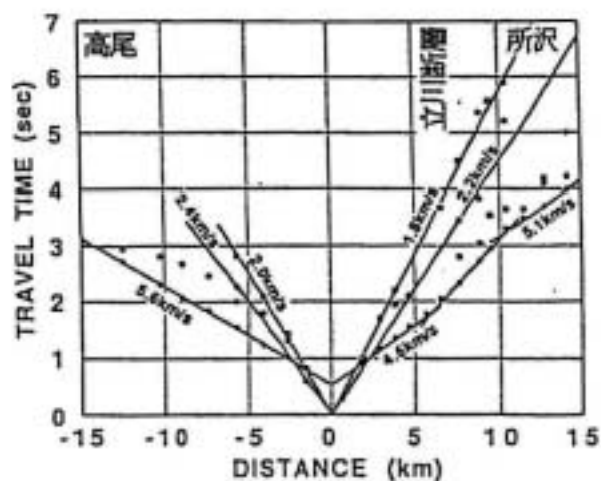


図2：高尾-所沢測線の走時曲線

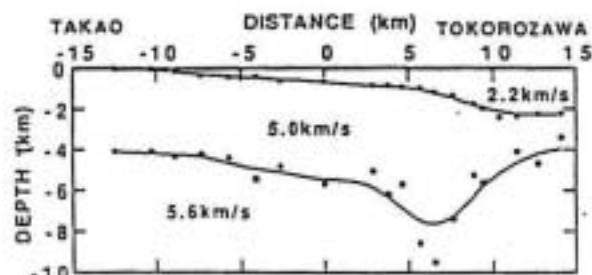
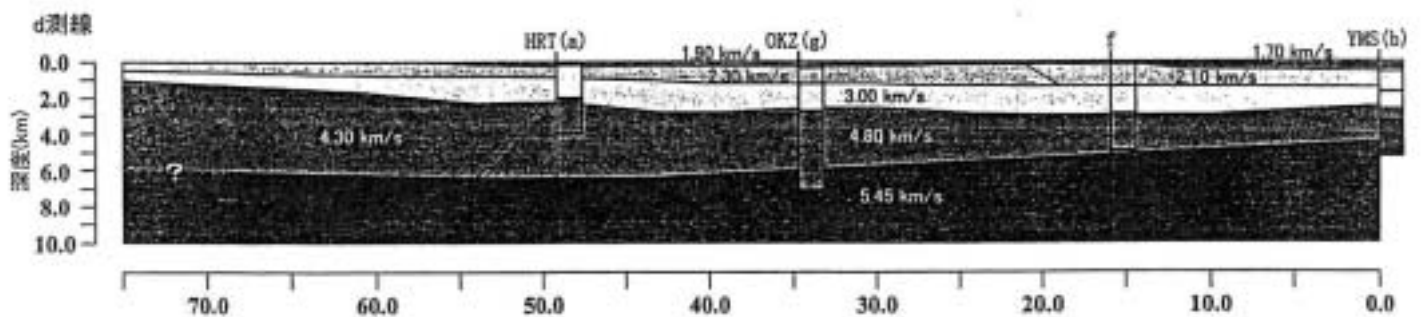
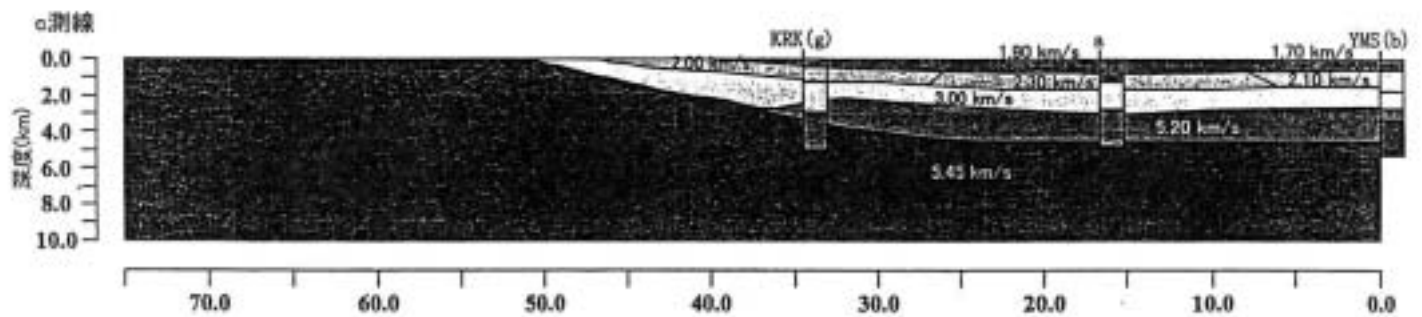
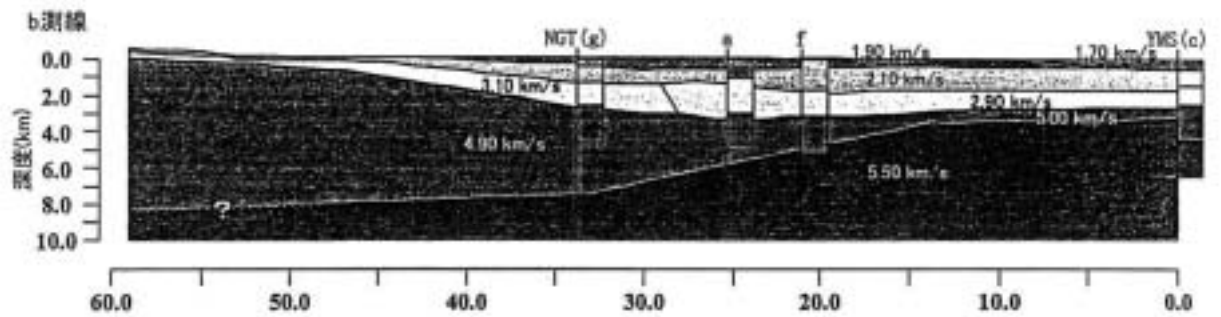
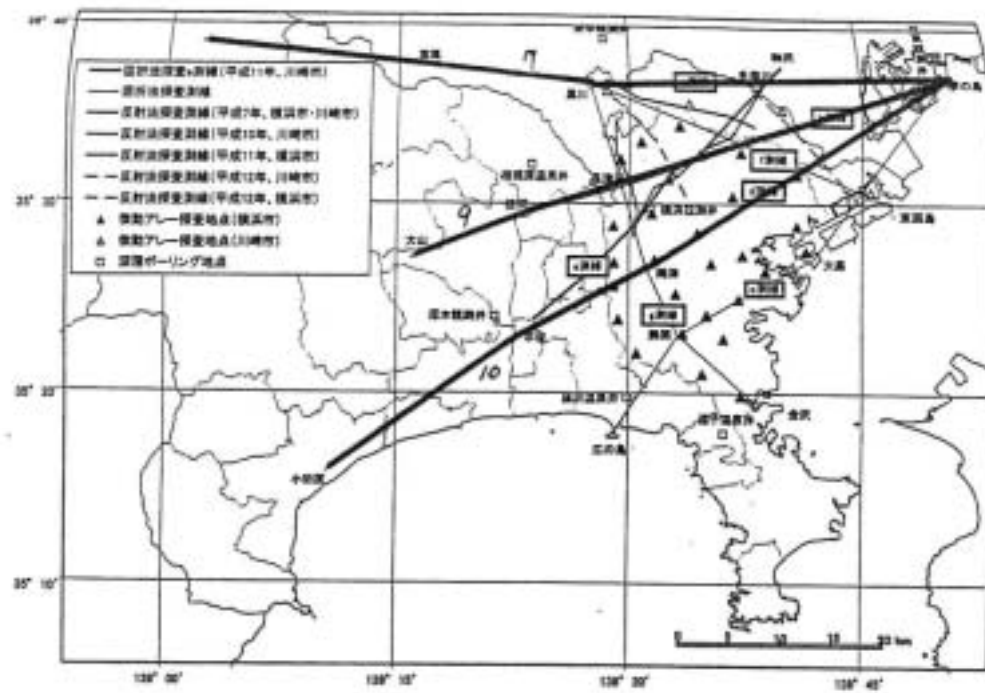


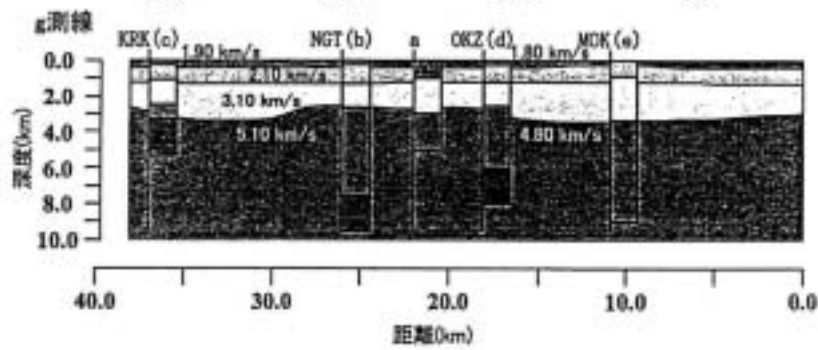
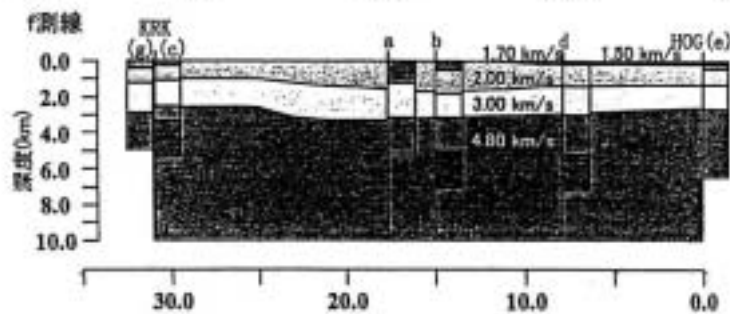
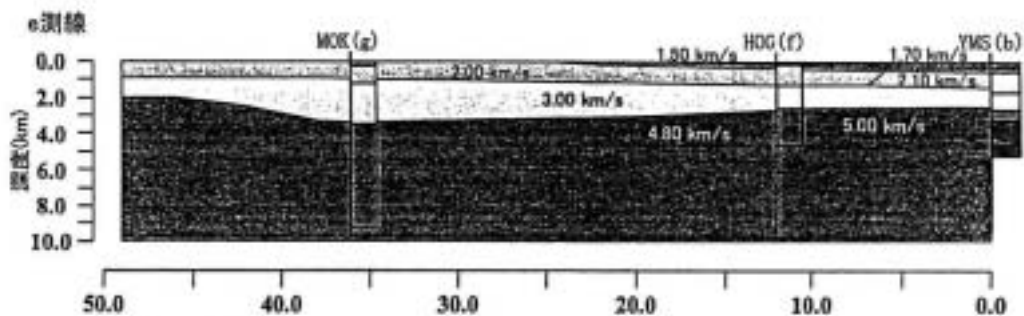
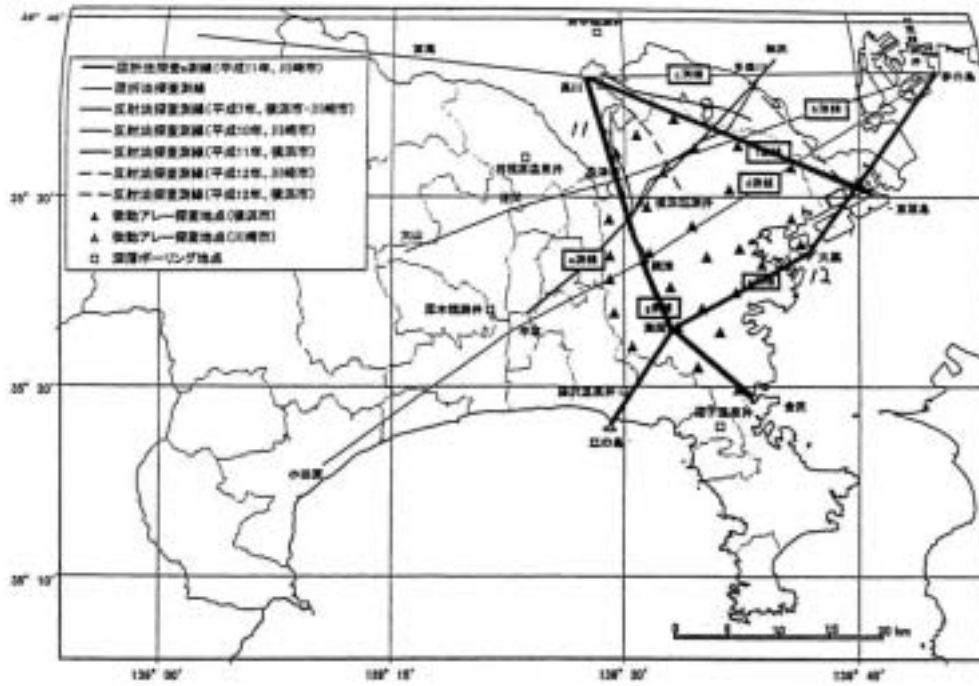
図3：高尾-所沢測線の地下構造

山中浩明・瀬尾和大・佐間野隆憲・嶋悦三・野沢貴(1993)

人工地震による首都圏南西部の地下構造(5). 日本地震学会講演予稿集1, D22-07.

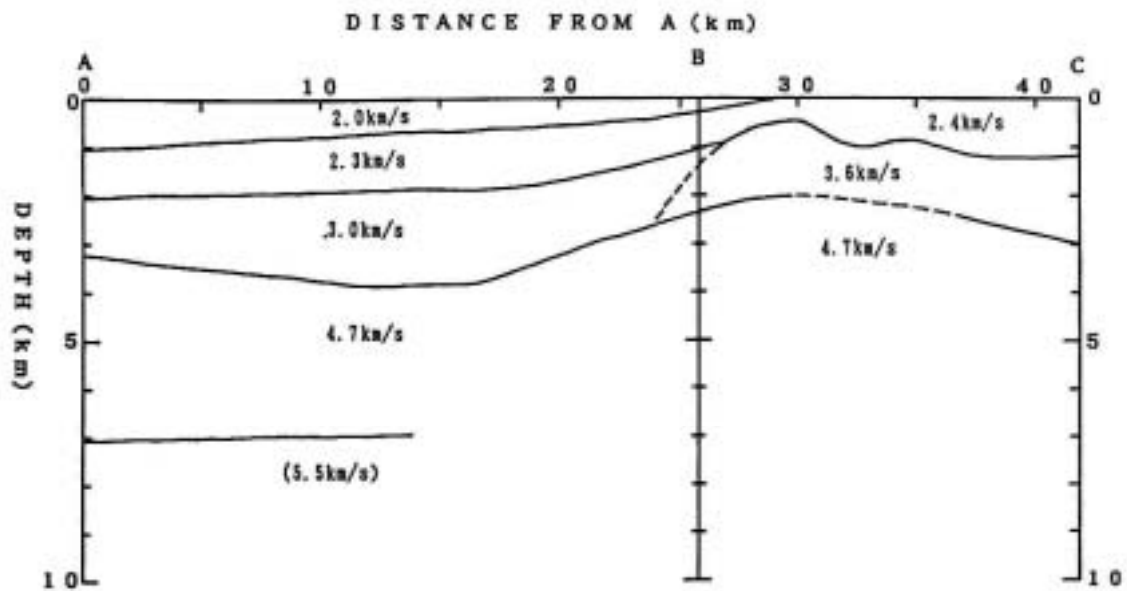


神奈川県(2001)
平成12年度 神奈川県地下構造調査 成果報告書



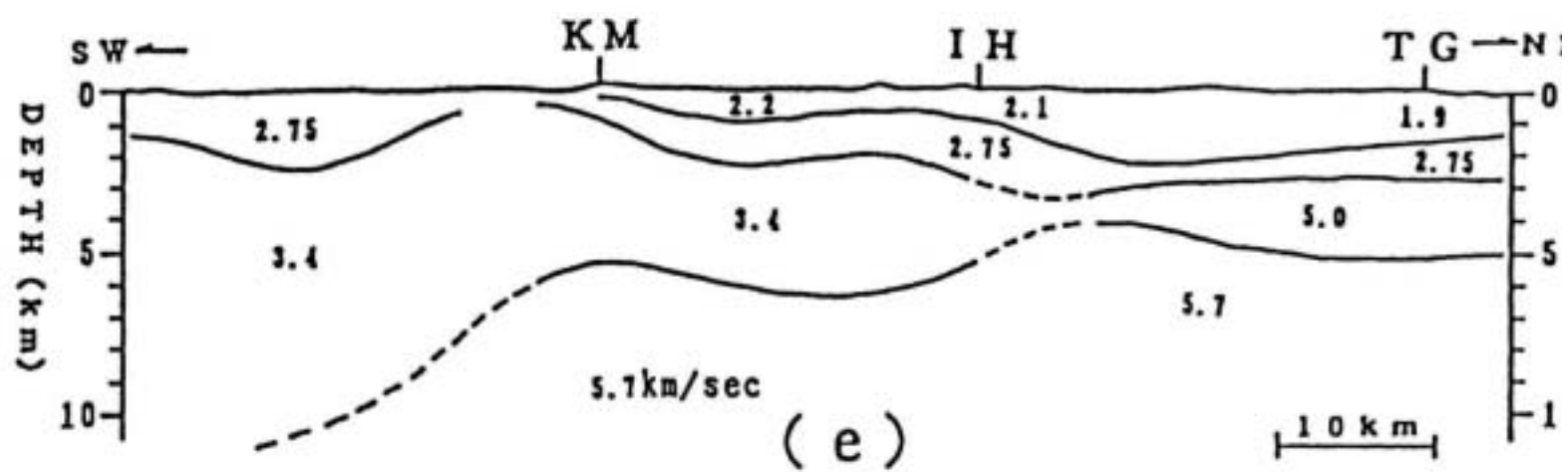
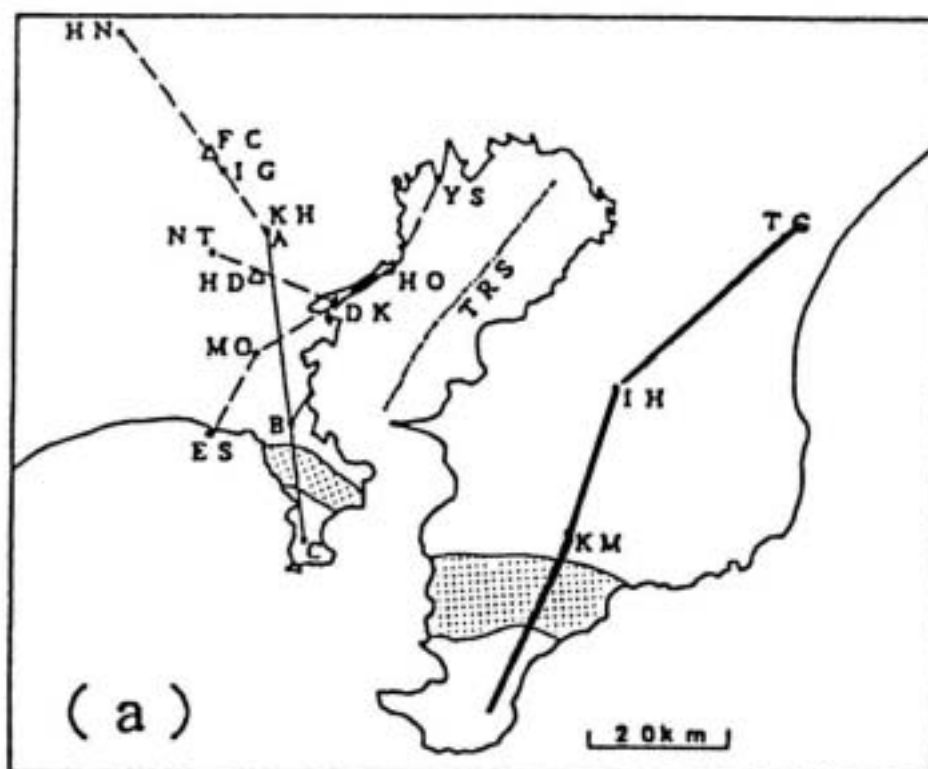
神奈川県(2001)
平成12年度 神奈川県地下構造調査 成果報告書.

人工地震による神奈川県東部地域の地下構造調査——鈴木ほか



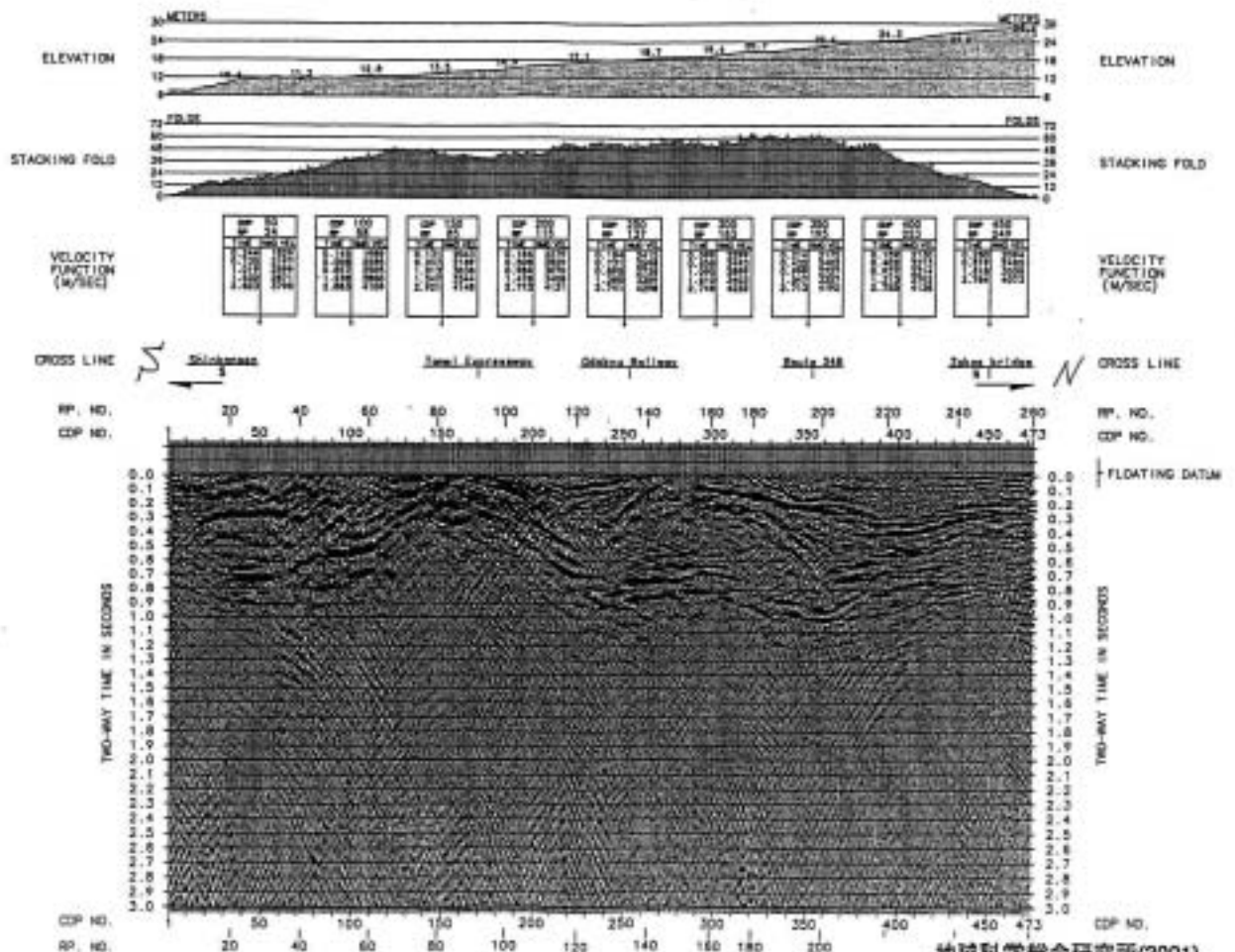
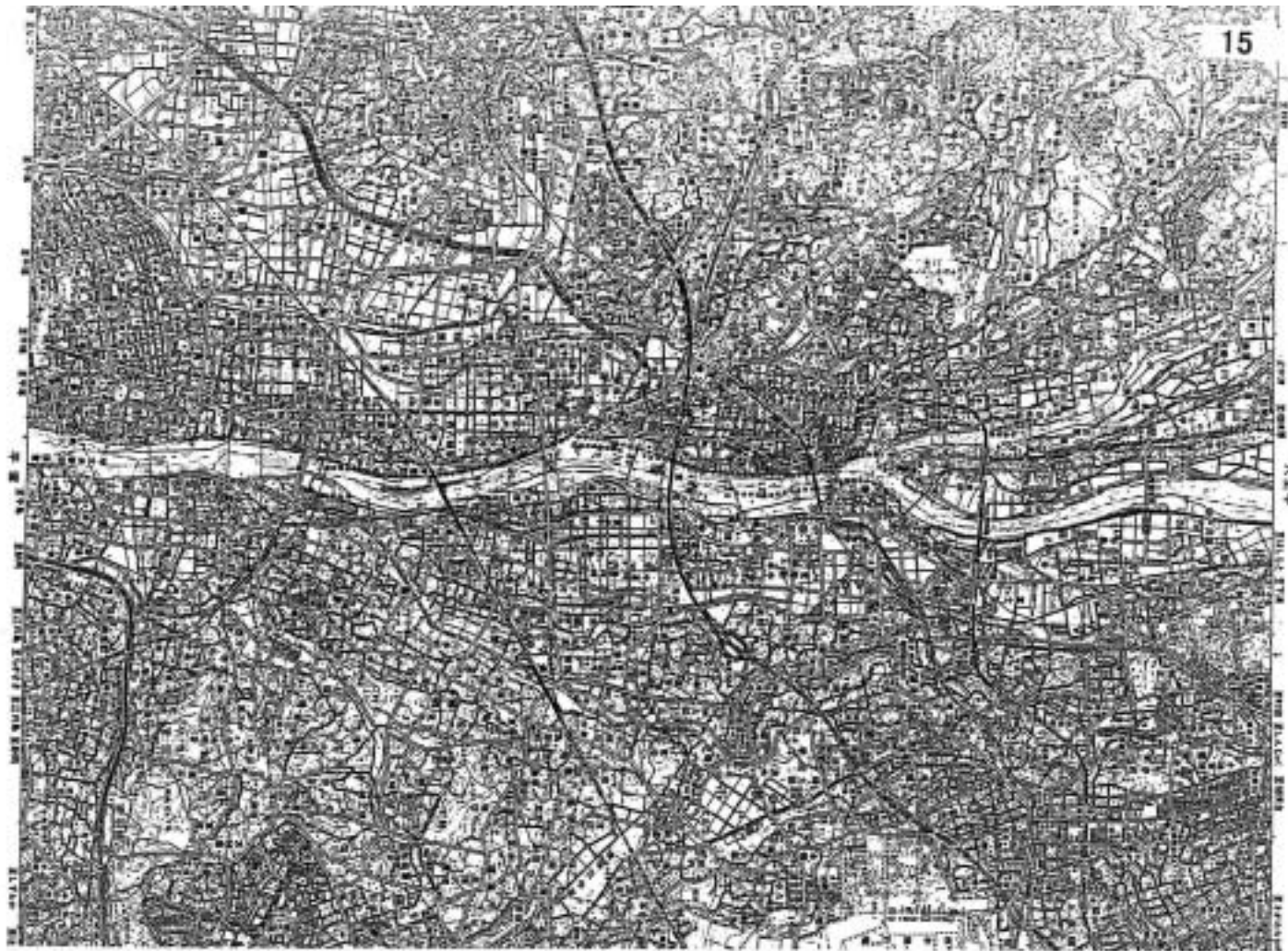
鈴木宏芳・広部良輔・渡辺健(1993)

人工地震による神奈川県東部地域の地下構造調査, 防災科学技術研究所報告, 51.

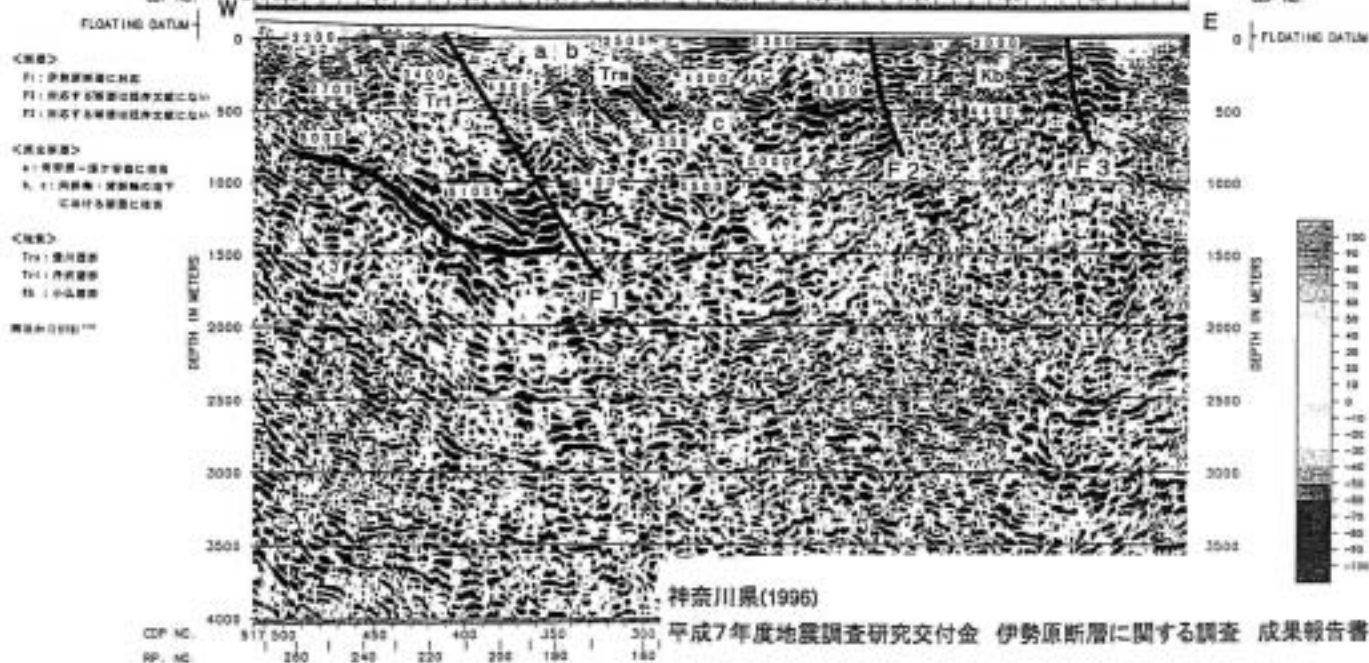
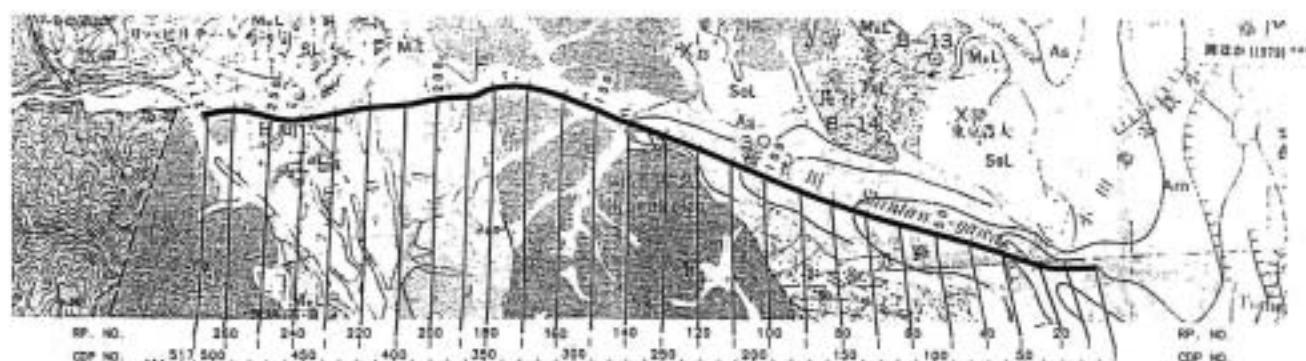
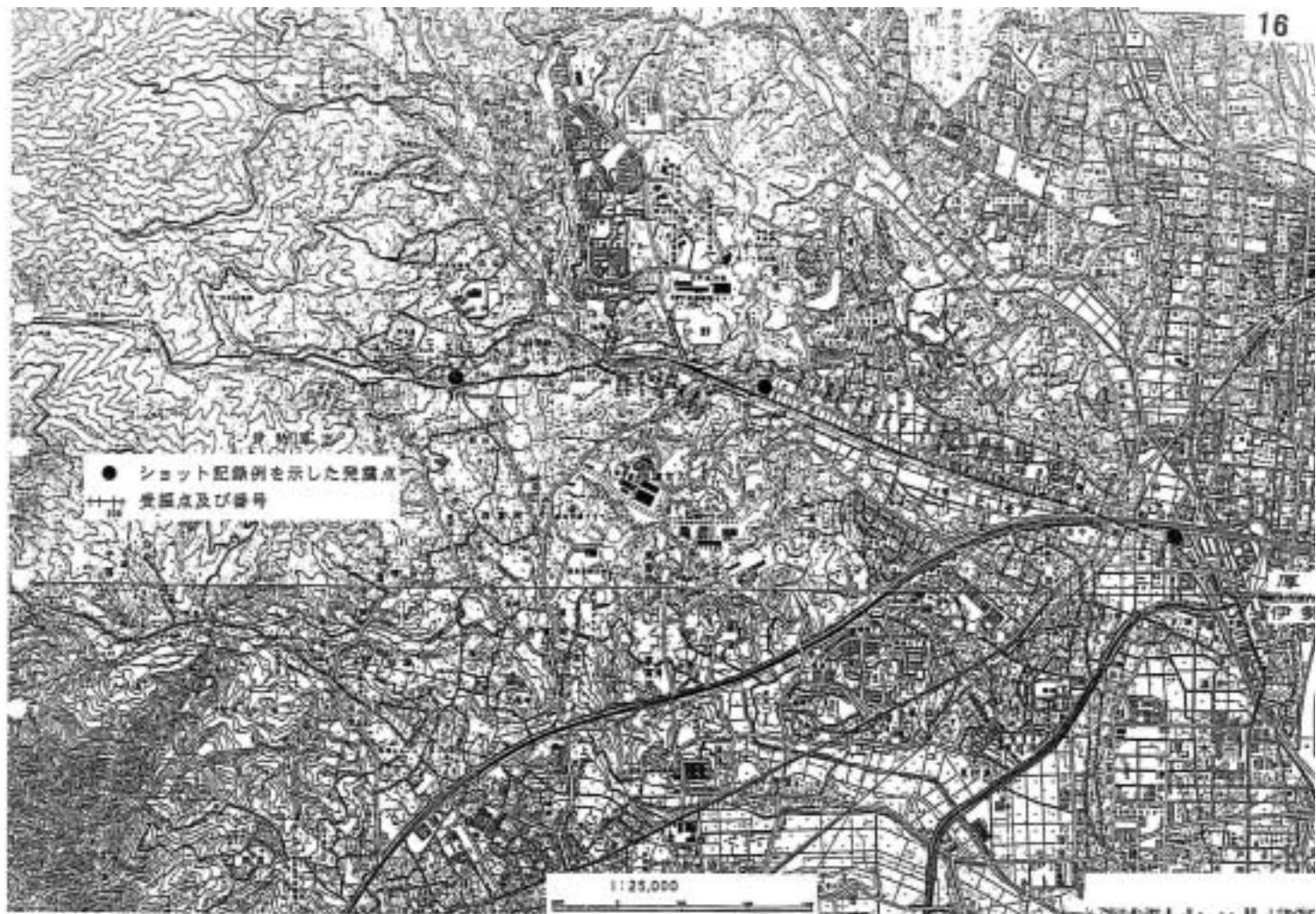


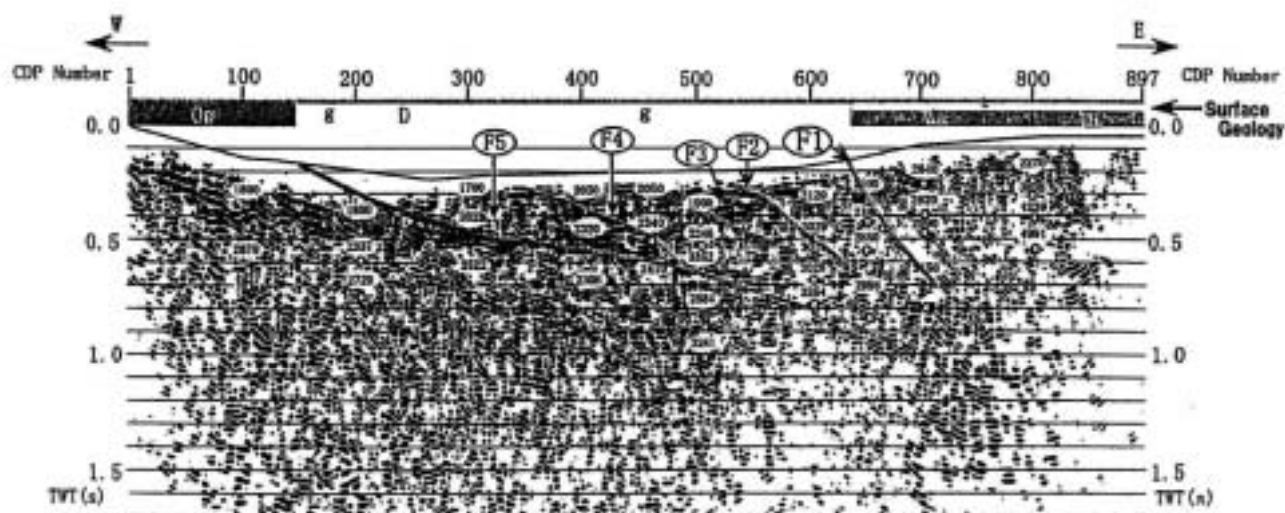
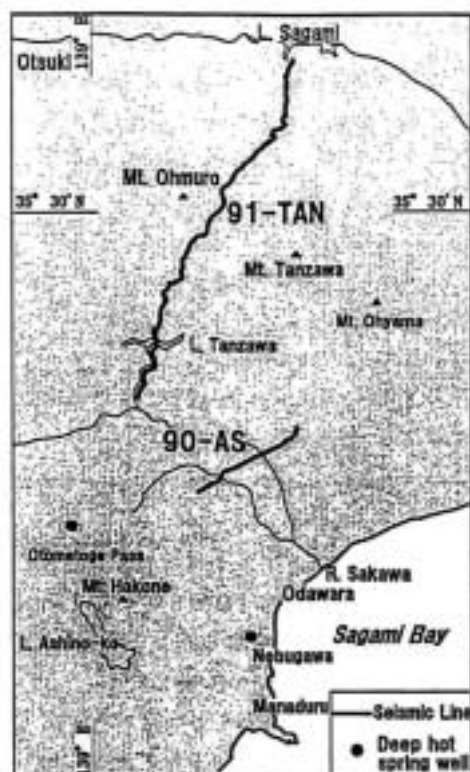
鈴木宏芳・広部良輔・渡辺健(1993)

人工地震による神奈川県東部地域の地下構造調査. 防災科学技術研究所報告, 51.

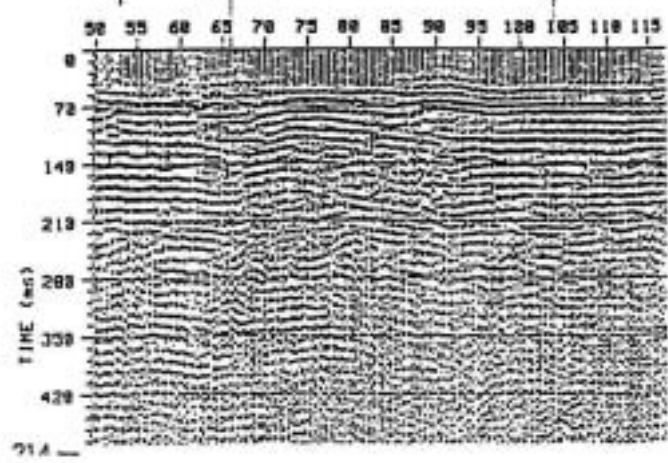
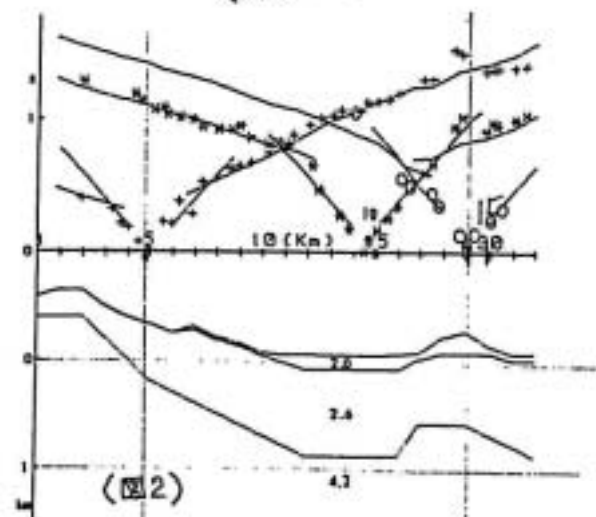


地球科学総合研究所(2001)
 地下構造調査合同委員会・参考資料





笠原敬司・田中環・井川猛・太田陽一・川崎慎治・伊藤谷生(2002)
 足柄・丹沢地域における防災科学技術研究所反射法地震探査90-AS,91-TANデータの再解析。
 地震研究所彙報, 77, 181-189.



長谷川功・伊藤公介・渡辺史郎・駒澤正夫・二宮芳樹・伊藤久男・当倉利行・杉原光彦(1992)
 屈折法および反射法による足柄平野の地下構造. 日本地震学会講演講演予稿集2, C40.

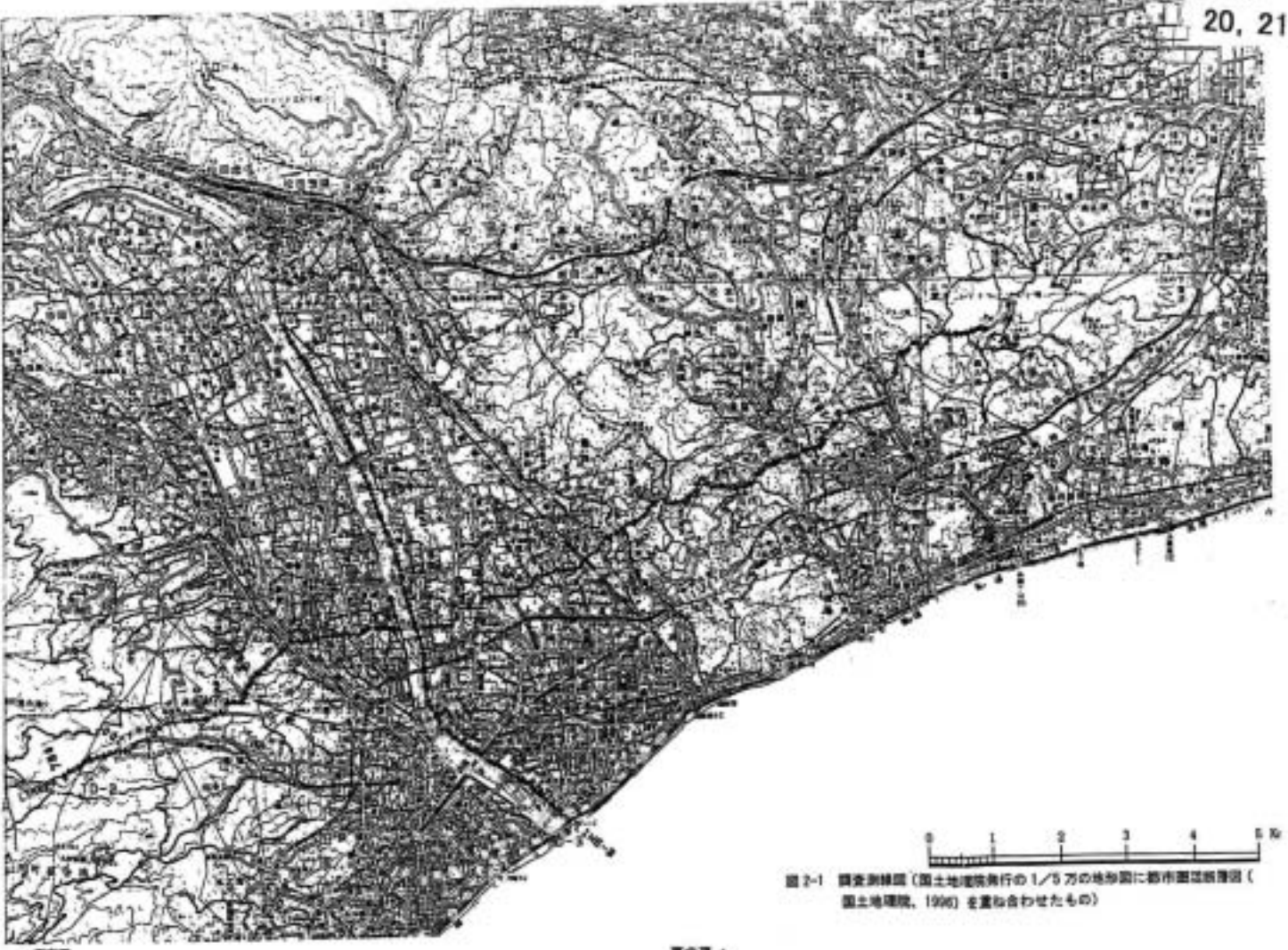


図 2-1 調査測線図 (国土院発行の1/5万の地形図に都市圏拡張図 (国土院, 1996) を重ね合わせたもの)

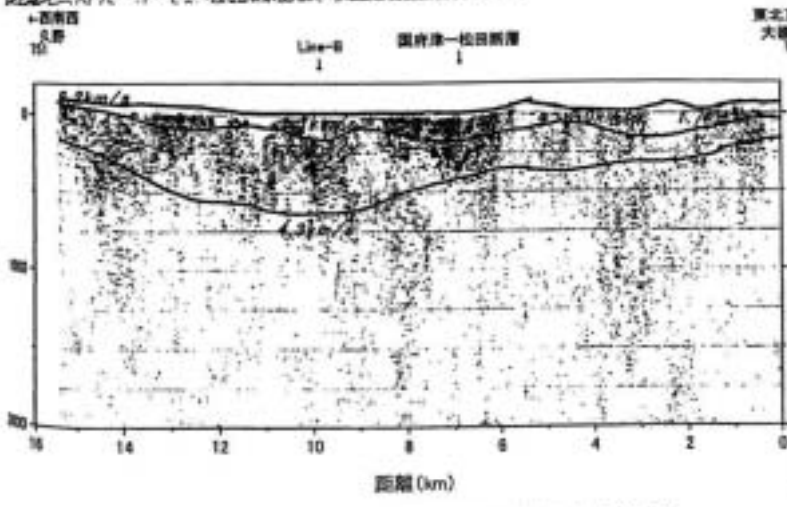


図 4-9 屈折法による速度構造と反射断面 (LINE-A)

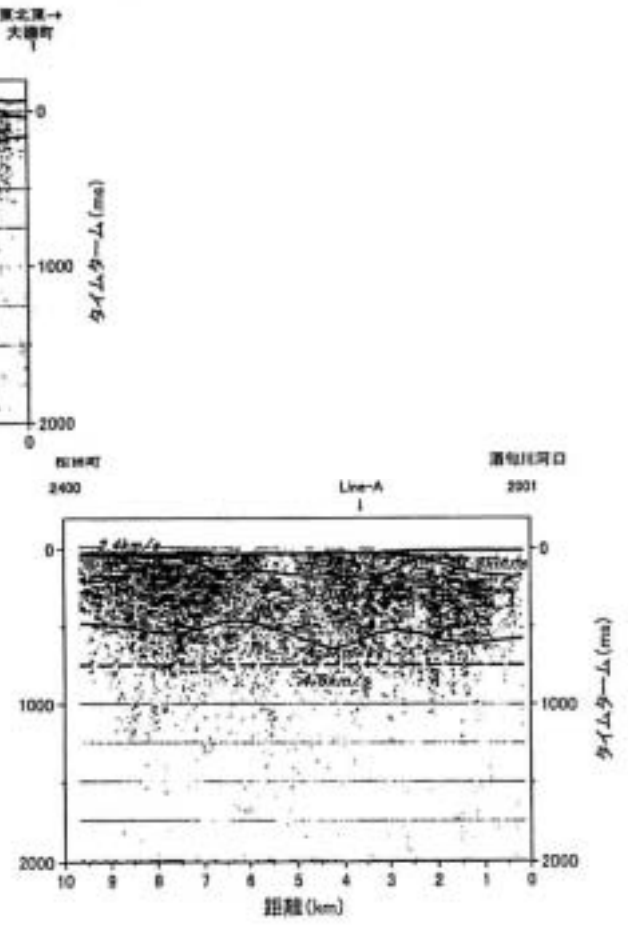
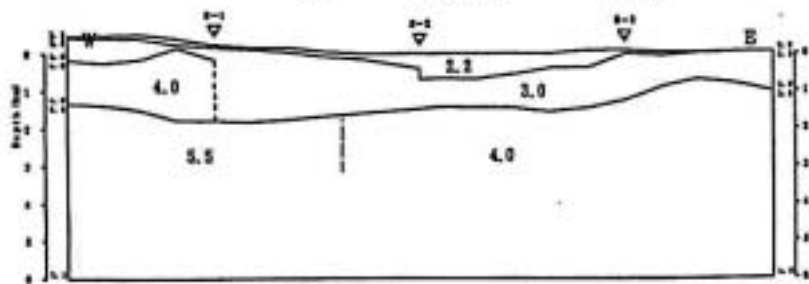
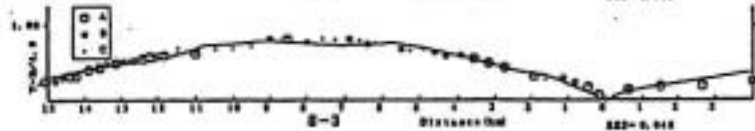
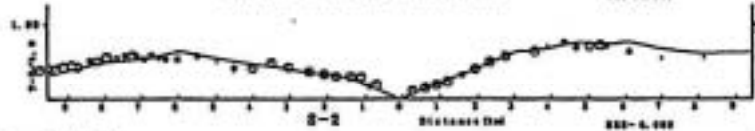
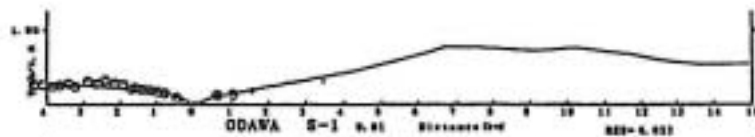
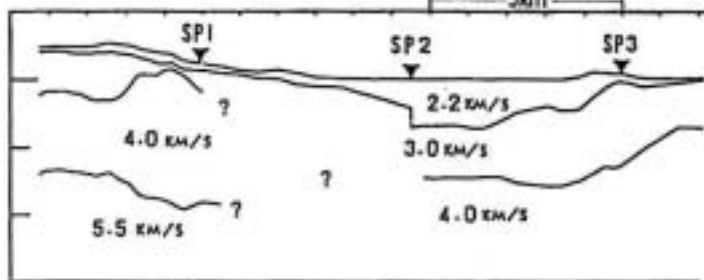
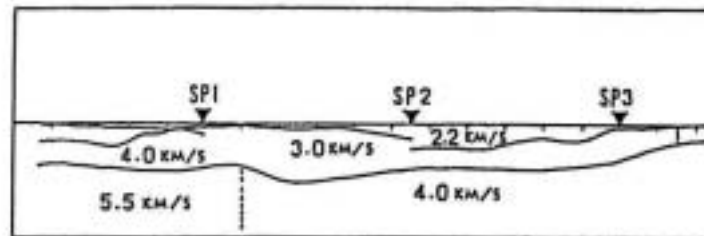
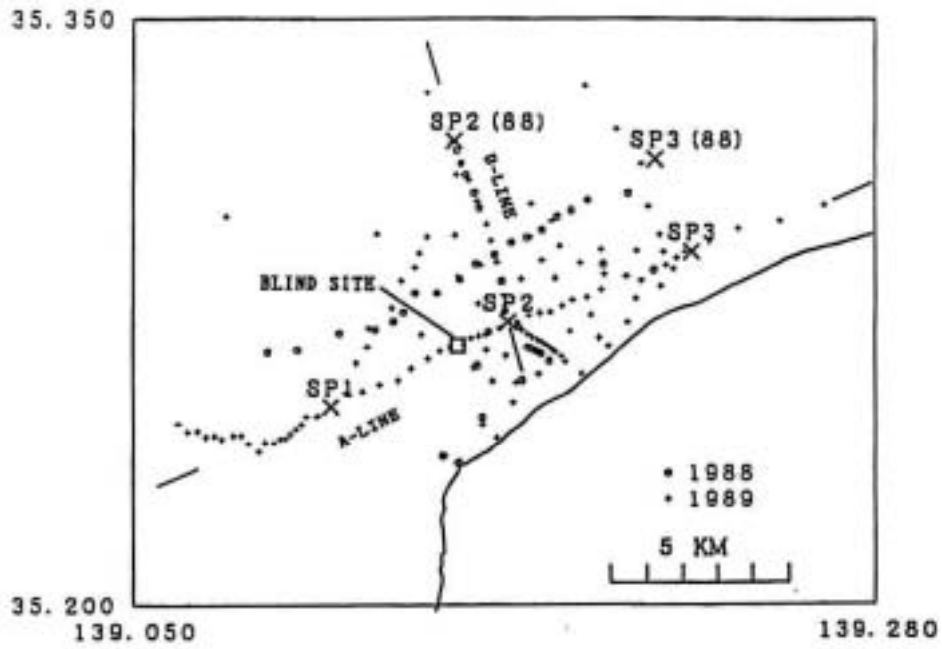


図 4-11 屈折法による速度構造と反射断面 (LINE-B)

神奈川県(2002)
平成13年度 神奈川県地下構造調査 成果報告書.



JESG(1991)

Ashigara Valley Blind Prediction Test.

2 - 98

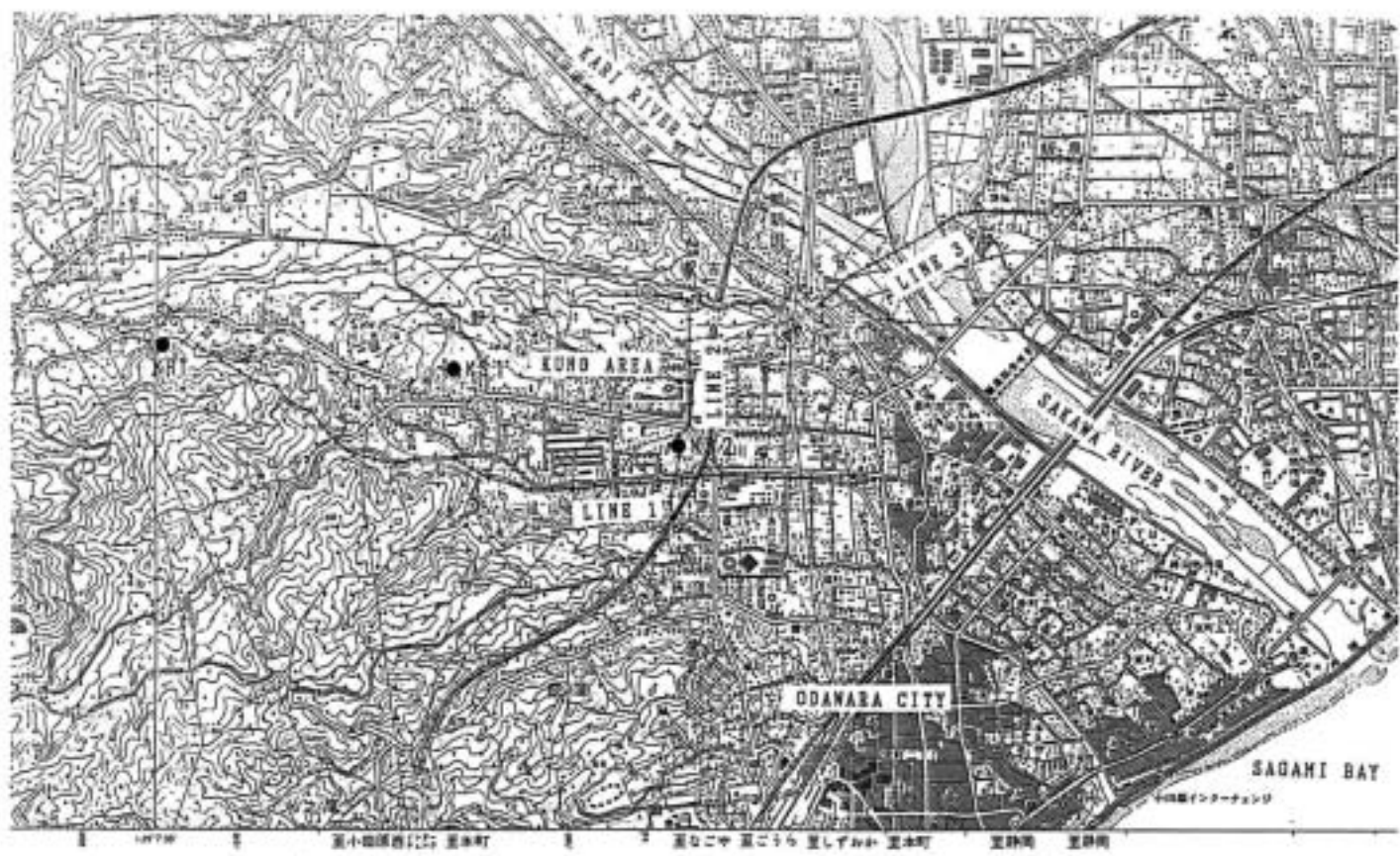


Fig.1 Location of Deep Seismic Reflection Survey

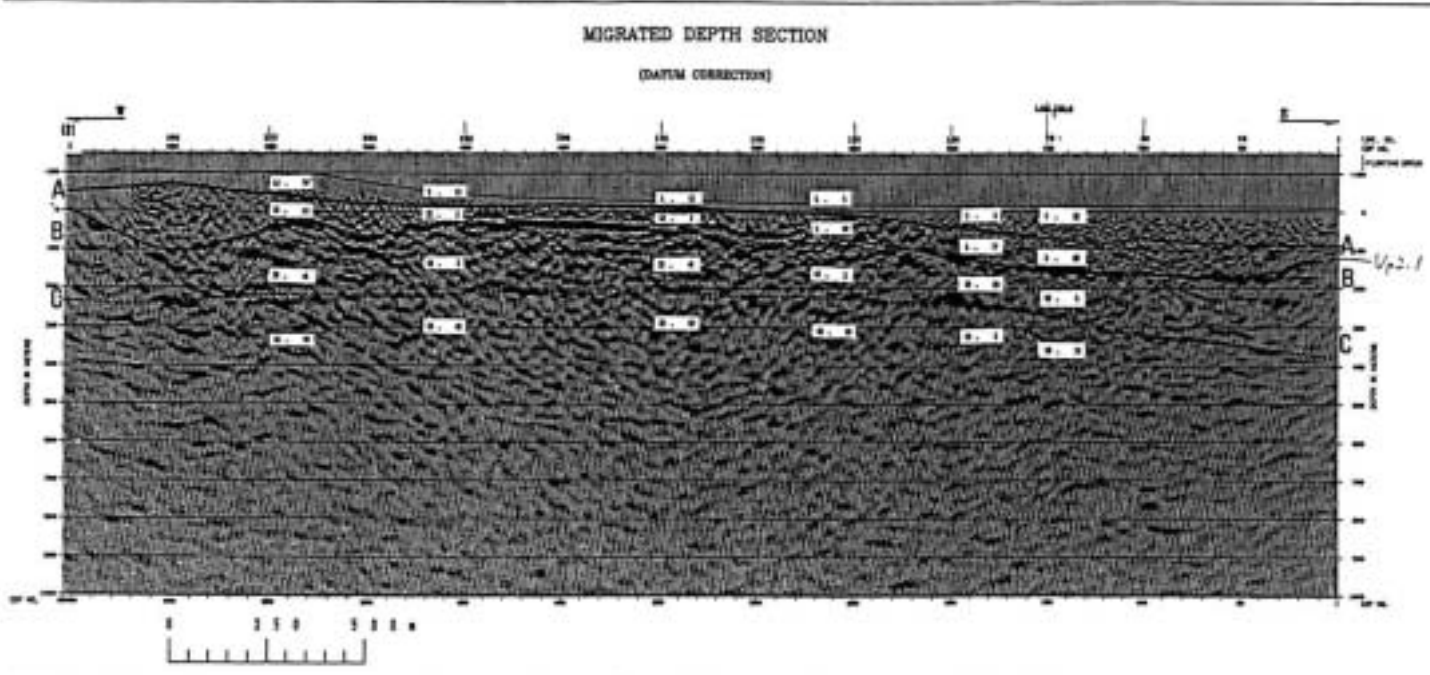
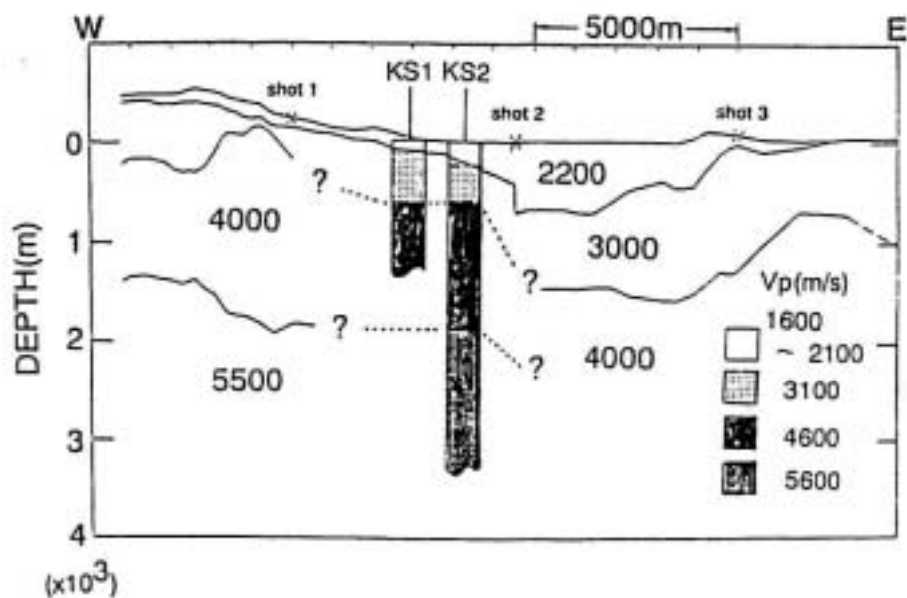
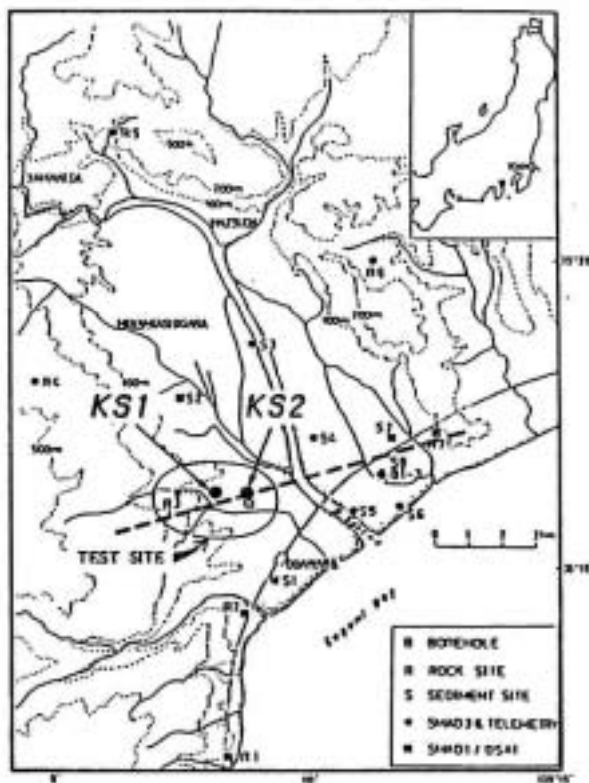


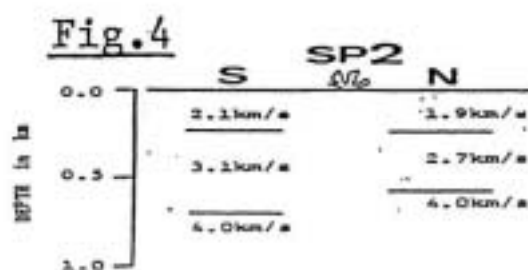
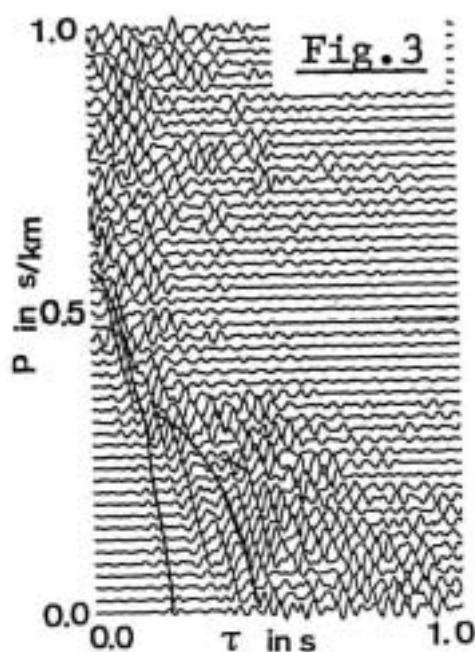
Fig.18 Processed and Interpreted Depth Section(Migrated) of Line 1

JESG(1991)
Ashigara Valley Blind Prediction Test.



宮腰研・岡田広・松島健・笹谷努・森谷武男・渡懸群・齋藤誠治(1994)

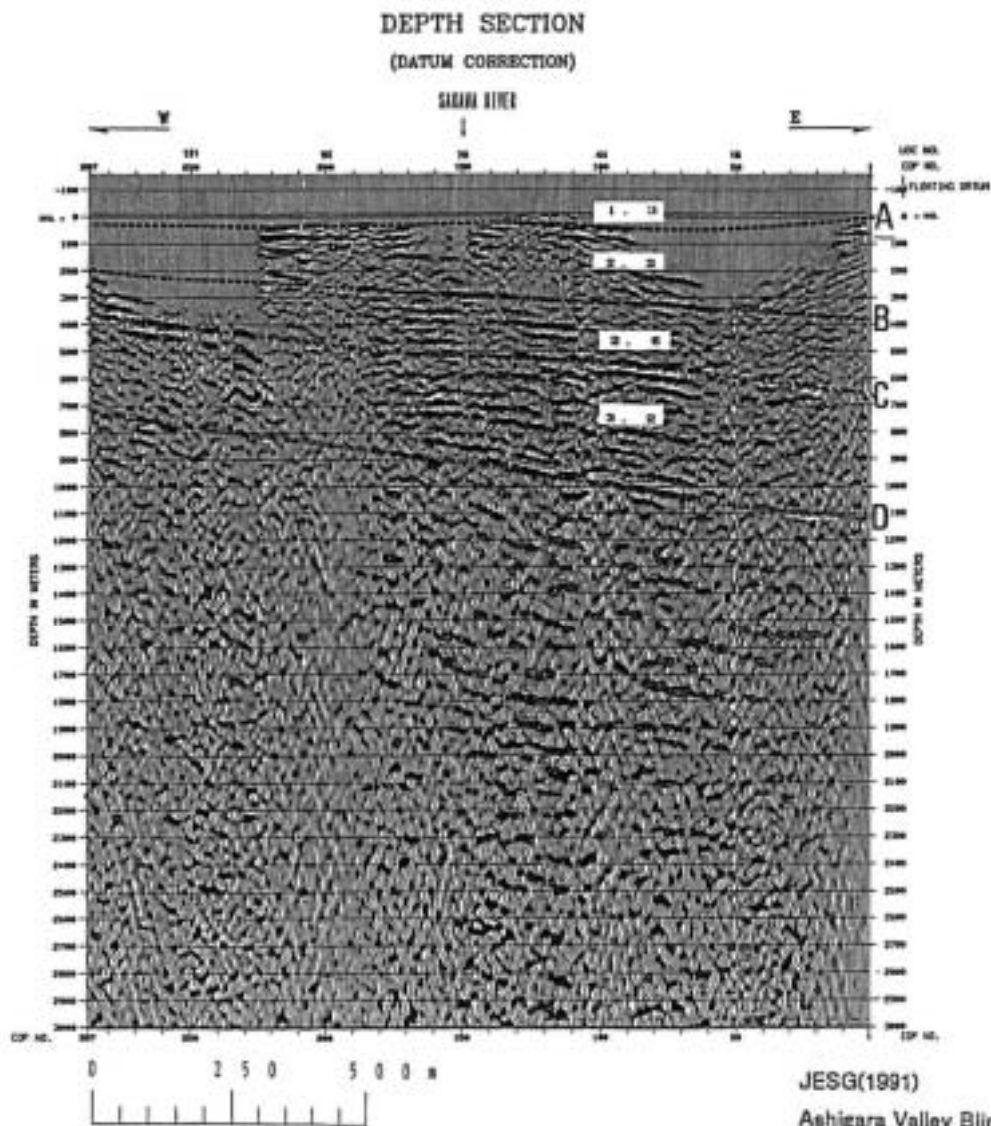
小田原市における ESG Blind Prediction Test Sites の地下構造—微動探査による推定— . 地震, 47, 273-285.

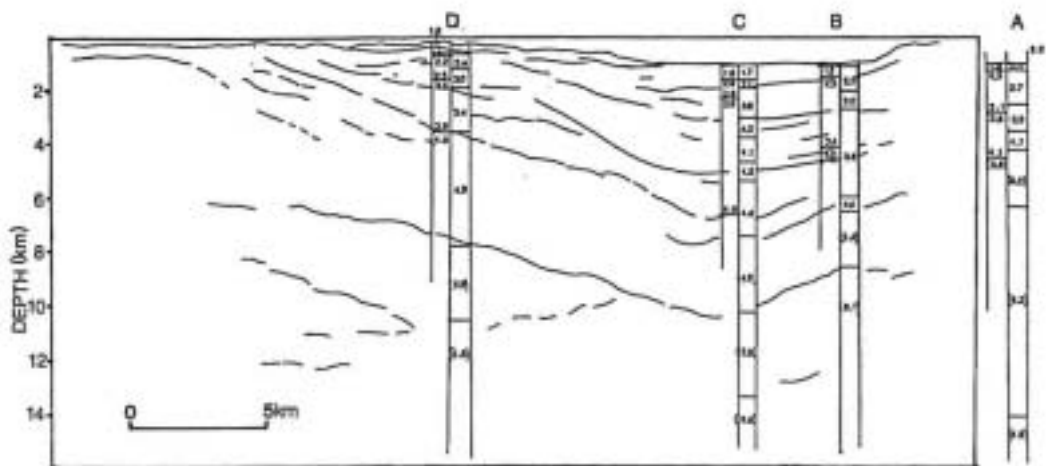
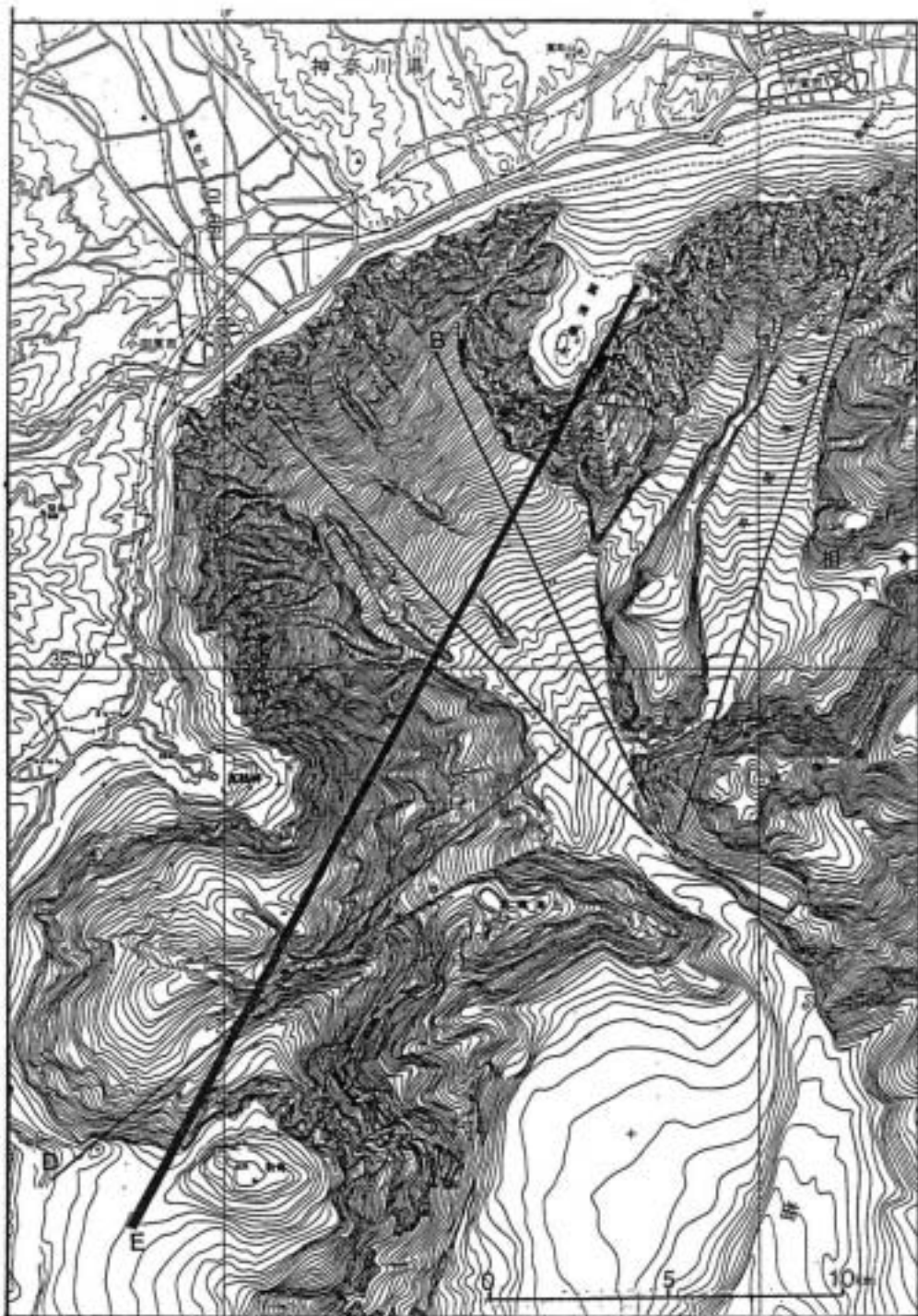


岩田知孝・入倉孝次郎・松波孝治・松井一郎・種崎祐三・堀家政則・青木善彦・尾崎昌弘・辻本厚詞・横田 裕(1989)
 τ - p 法による足柄平野の表層構造の推定. 地震学会講演予稿集2, A27.

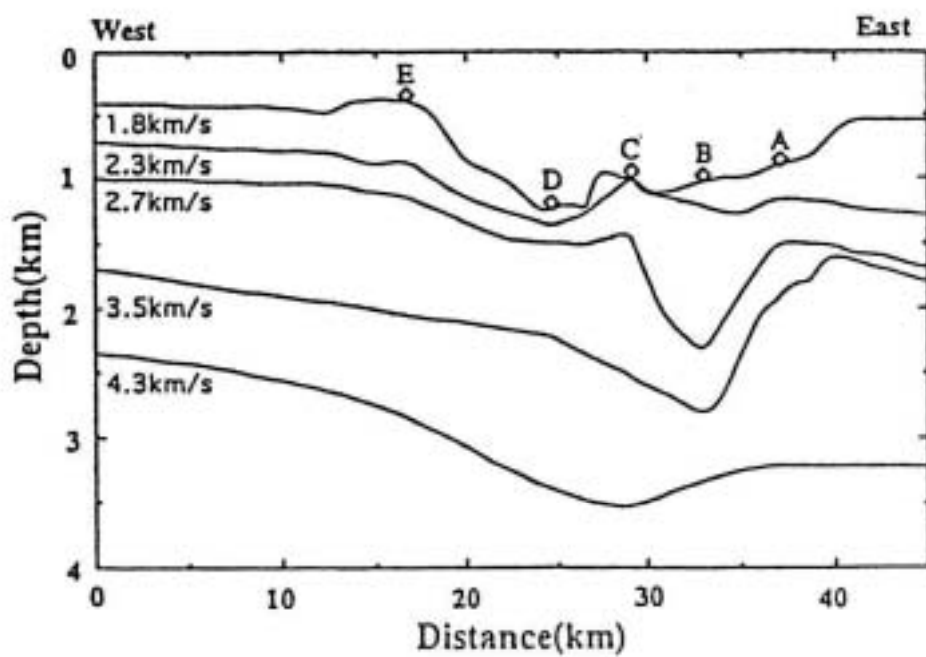
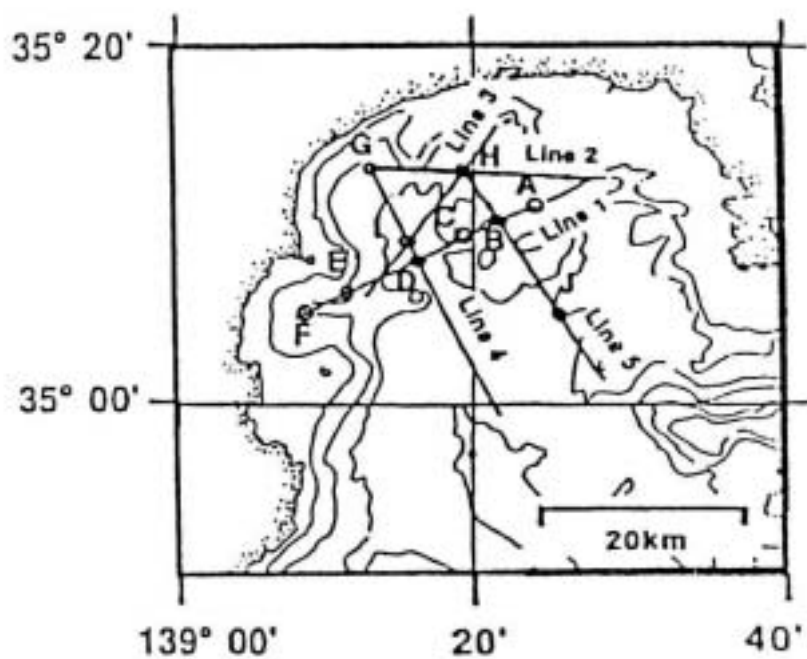


Fig.1 Location of Deep Seismic Reflection Survey



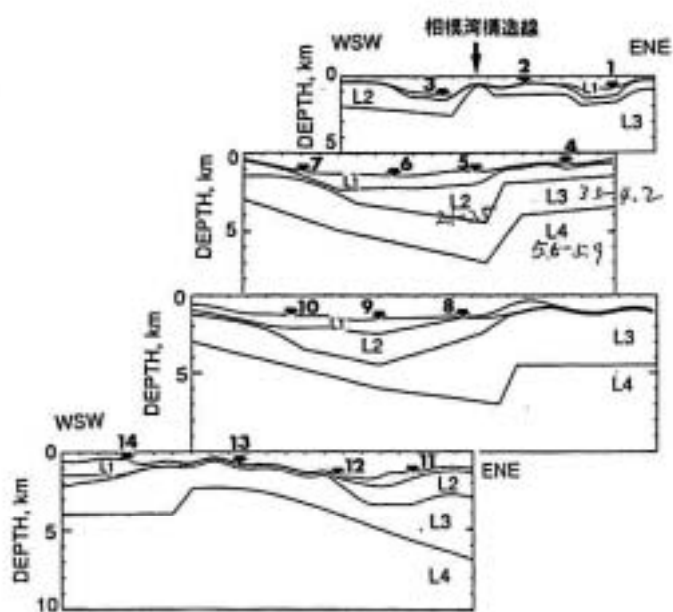
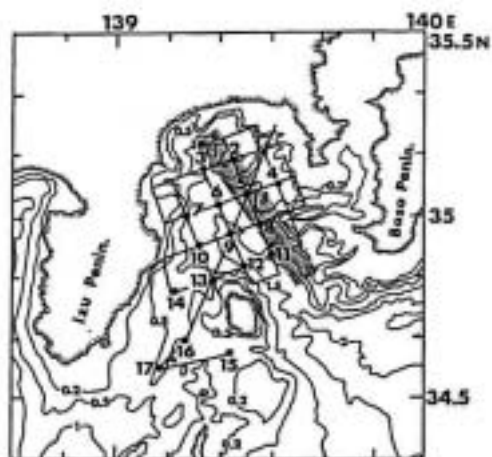


沖野郷子・西澤あずさ・浅田昭(1994)
相模湾北西部の地殻構造探査. 水路部研究報告, 30, 383-393.



横井康孝、平田直、浅田昭(1993)

エアガンー海底地震計探査による相模湾北部の地殻構造(2). 地球惑星科学関連学会合同大会予稿集.



西澤あずさ・金澤敏彦・岩崎貴哉・島村英紀(1991)

海陸地質調査による相模湾地域の上部地殻構造(2). 日本地震学会講演予稿集2. C43.

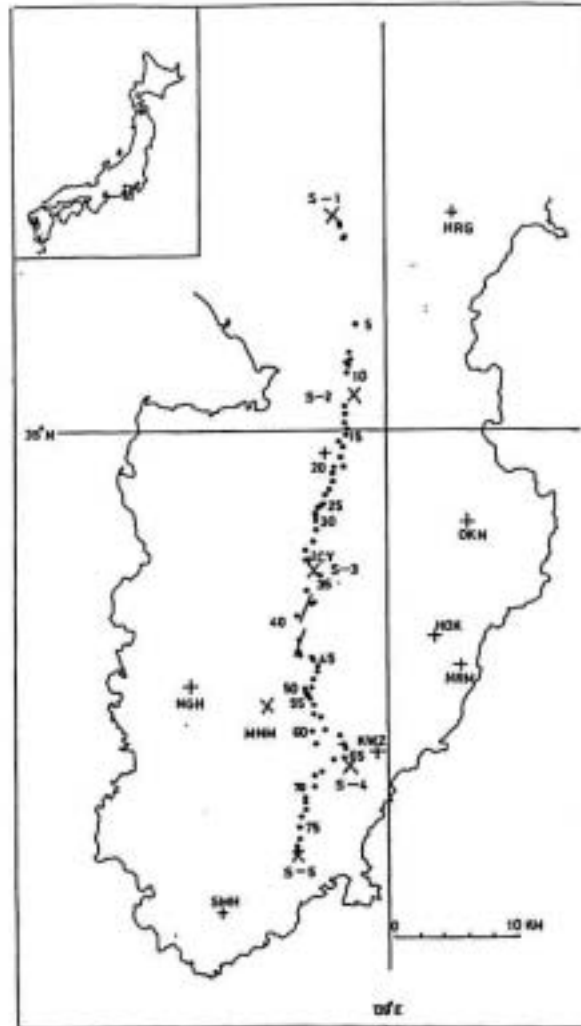
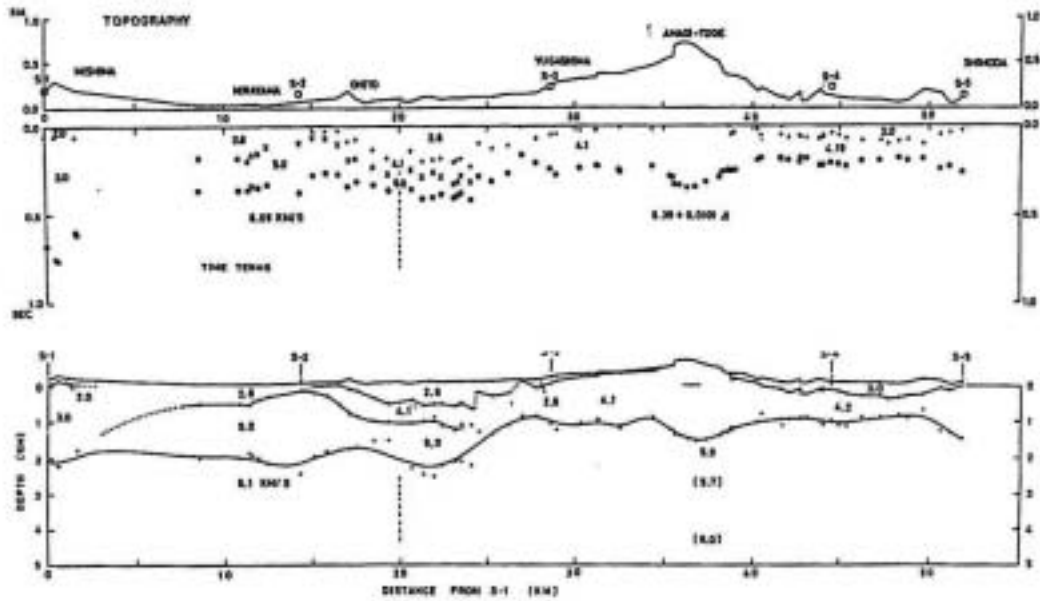


Fig. 1. Shot and observation points. Cross mark, shot point; MNM, Minami-Izu shot point; solid circle, temporary observation point equipped with 2 Hz geophone and magnetic tape recorder (Numerals attached are station numbers, RESEARCH GROUP FOR EXPLOSION SEISMOLOGY, 1981); bar, temporary observation points with spacing of about 100 m equipped with 4.5 Hz geophones; plus mark, observation points for microearthquakes. Station code is shown for each point.



Shuzo Asano, Toshikatsu Yoshii, Susumu Kubota, Yoshimi Sasaki, Hiroshi Okada, Sadaomi Suzuki, Tetsu Masuda, Hiroshi Murakami, Noritake Nishide, and Hideki Inatake(1982)
Crustal structure in Izu peninsula, central Japan, as derived from explosion seismic observations
1. Mishima-Shimoda profile. J. Phys. Earth, 30, 367-387.

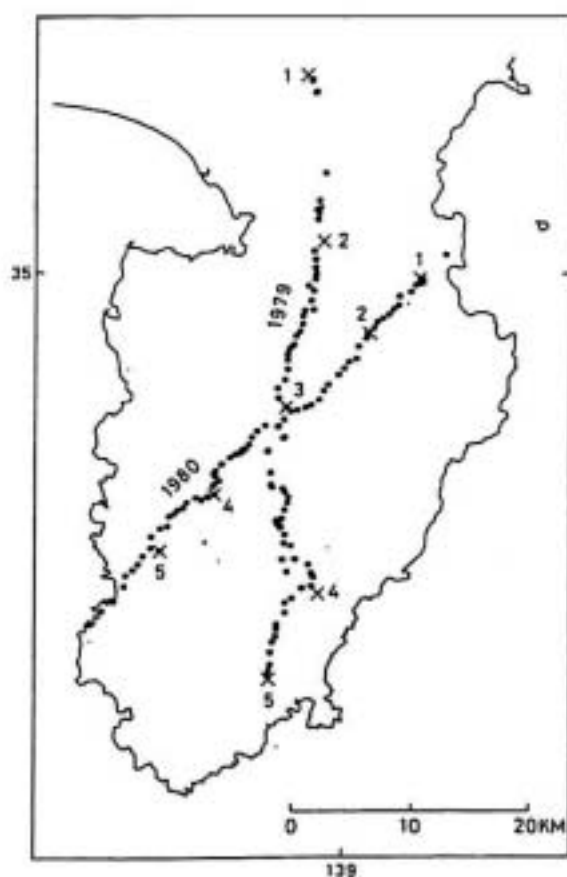
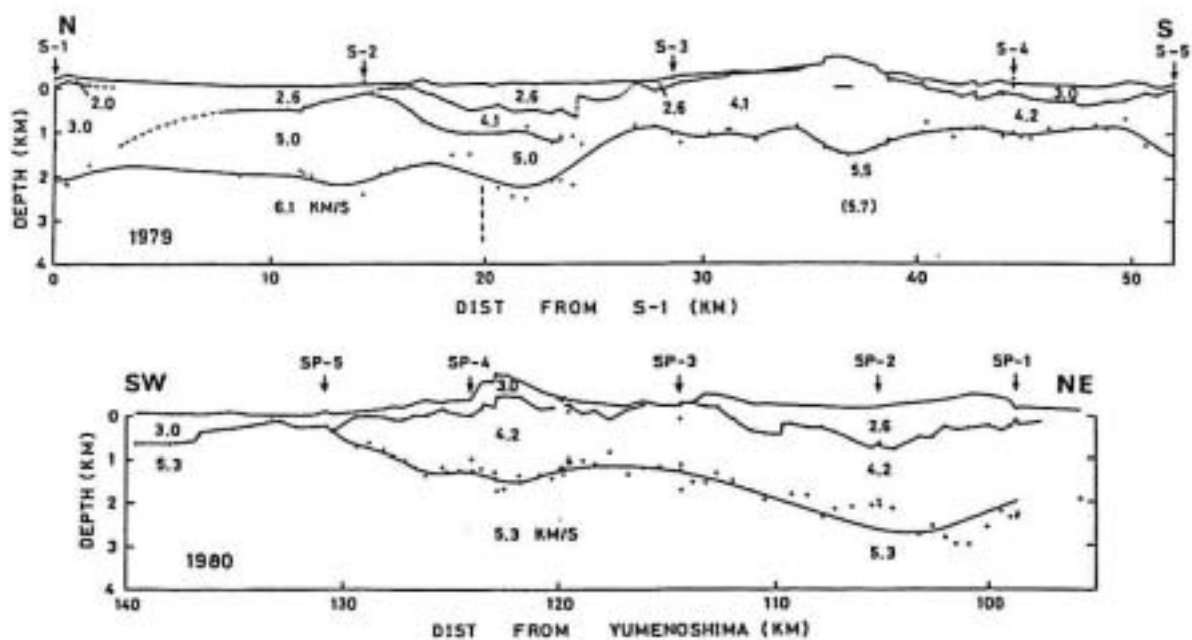
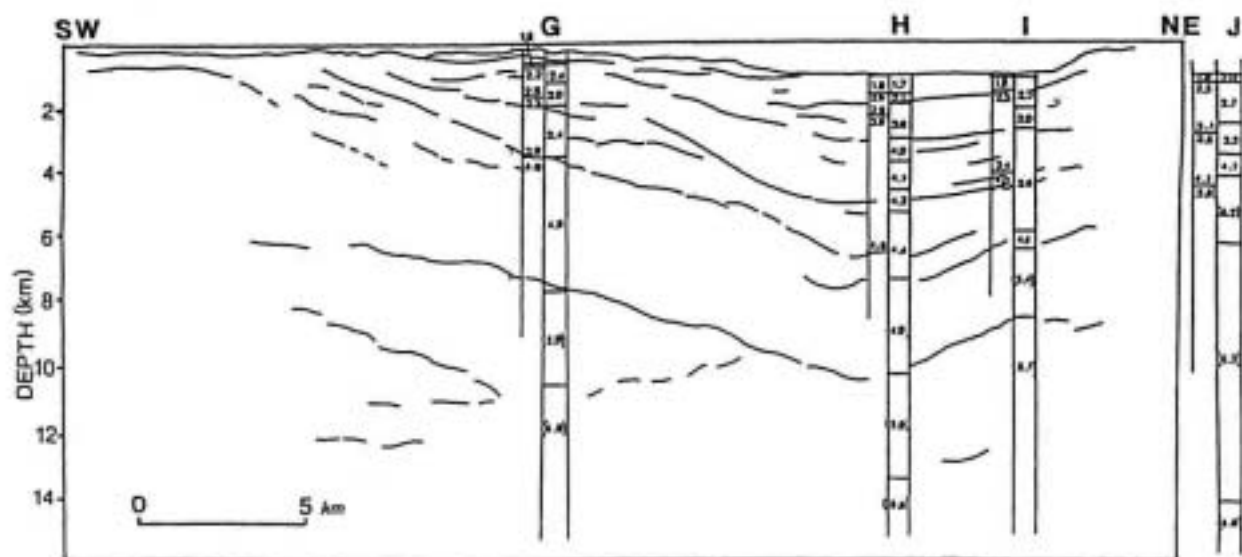
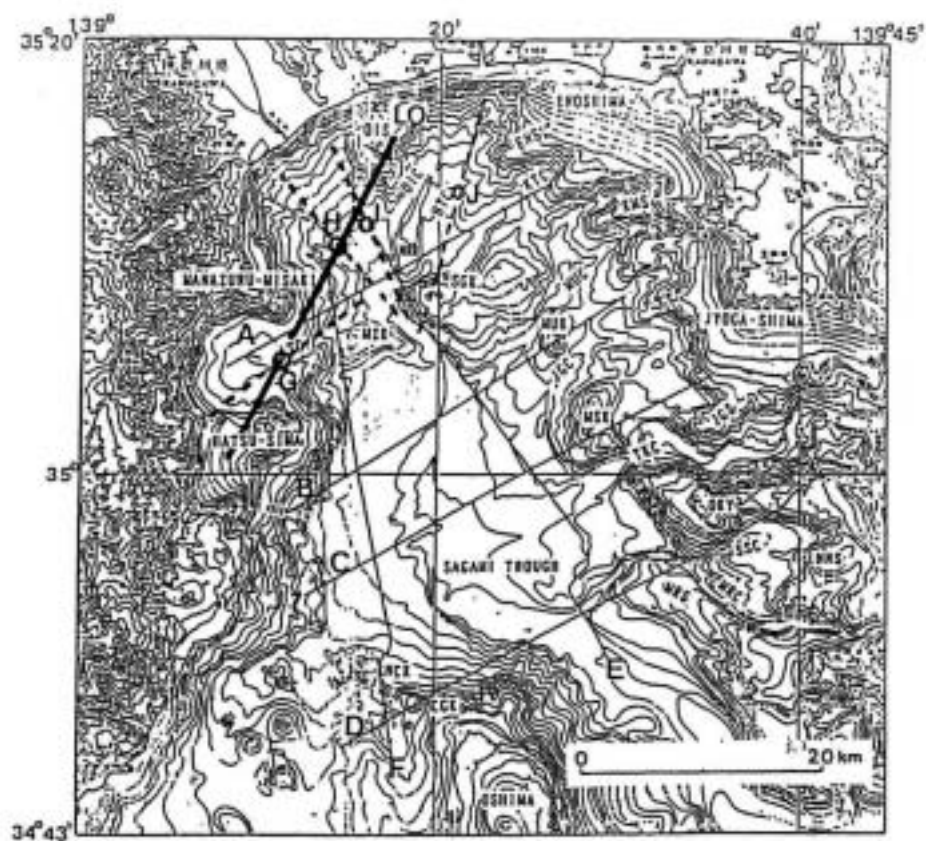


Fig. 2. A close-up view of a rectangle in Fig. 1. Cross marks and dots indicate shots and observation stations of 1979 and 1980 experiments in the Izu Peninsula.



Toshikatsu Yoshii, Suzo Asano, Susumu Kubota, Yoshimi Sasaki, Hiroshi Okada, Tetsu Masuda, Hiroshi Murakami, Sadaomi Suzuki, Takeo Moriya, Noritake Nishide, and Hideki Inatani(1986)
Detailed crustal structure in the Izu peninsula as revealed by explosion seismic experiments.
J. Phys. Earth, 34, 241-248.



国土地理院(1994)

地震予知観測の成果(2) 関東・中部地域, 地震予知連絡会地域部会報告第5巻.

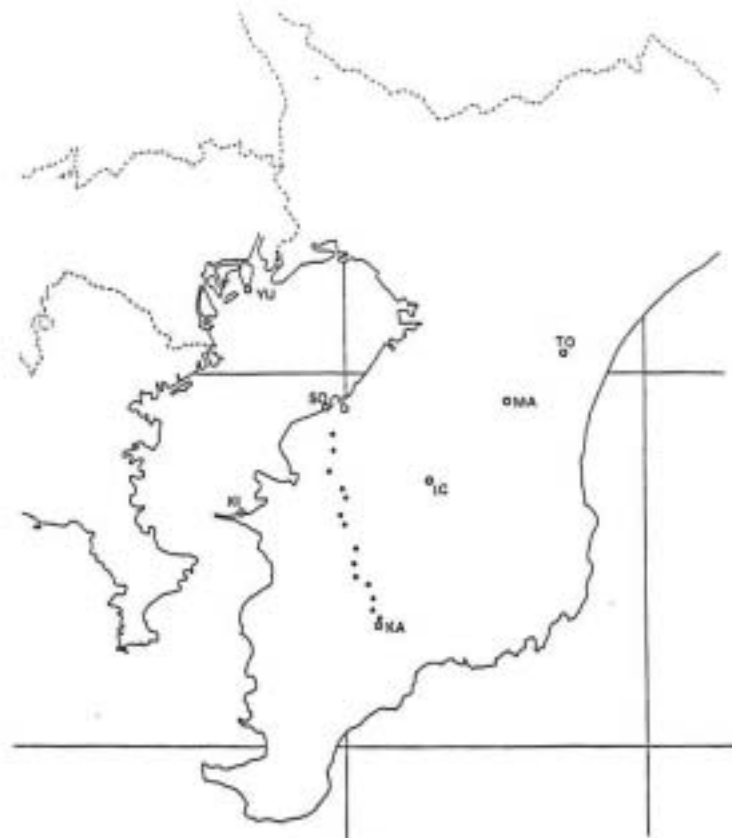


図1 観測点と発破点位置
 YU: 夢の島 SO: 袖ヶ浦 TO: 東金 MA: 真名
 IC: 市原 KA: 香木原 KI: 君津

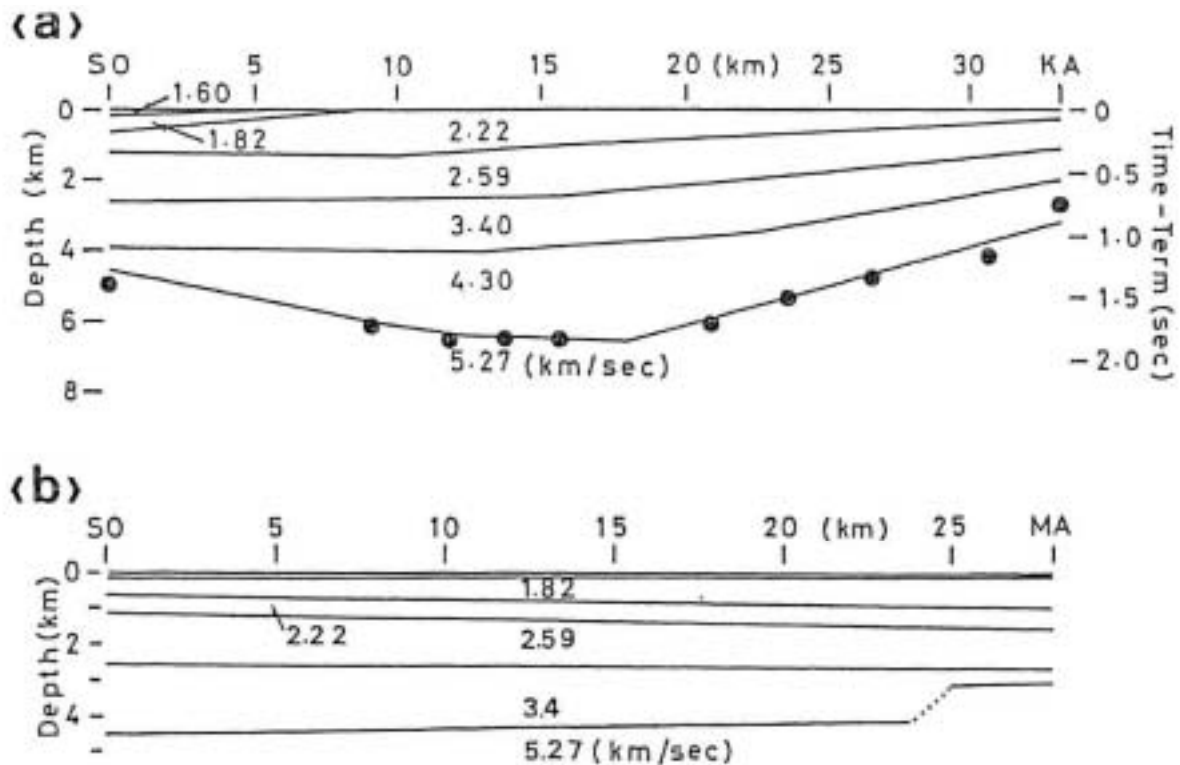


図4a 袖ヶ浦-香木原間の地下構造モデル
 黒丸はタイム・タームを示す
 図4b 袖ヶ浦-真名間の地下構造モデル

座間信作・柳沢馬住・嶋 悦三(1989)

地下構造と石油タンクのスロッシング—千葉県中部—, 夢の島人工地震実験資料集, 267-276.



図-3 震源点および観測点の配置
Fig. 3 Location of shot points and receiving points

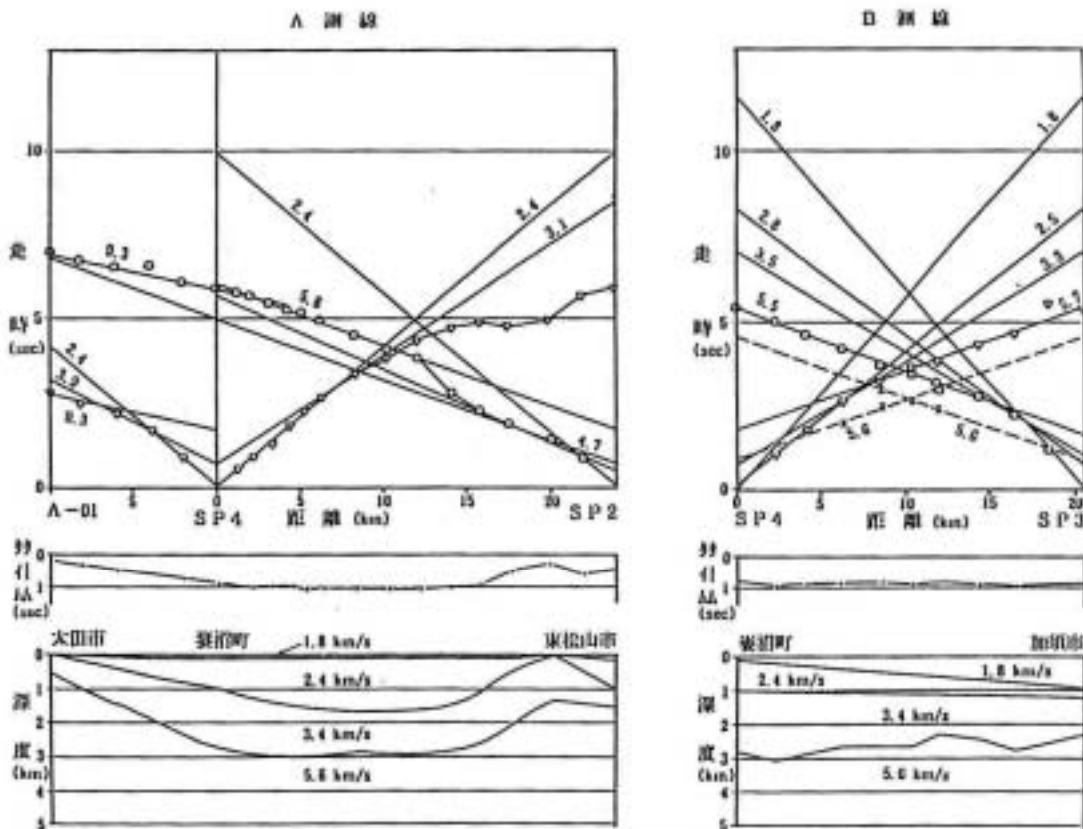


図-5(1) 実時曲線、第4速度層のタイムテーブル及び断面図 (A線、B線)
Fig. 5(1) Travel time diagrams, time terms of the fourth velocity layer and analyzed underground structure (A-line, B-line)

浜田宏司・金子史夫・山田敏博・土井俊雄(1990)

人工地震探査によって求めた埼玉県における深い地盤構造とやや長周期地震動の特性について、
応用地質年報, 12, 13-37.



図-3 震源点および観測点の配置
Fig. 3 Location of shot points and receiving points

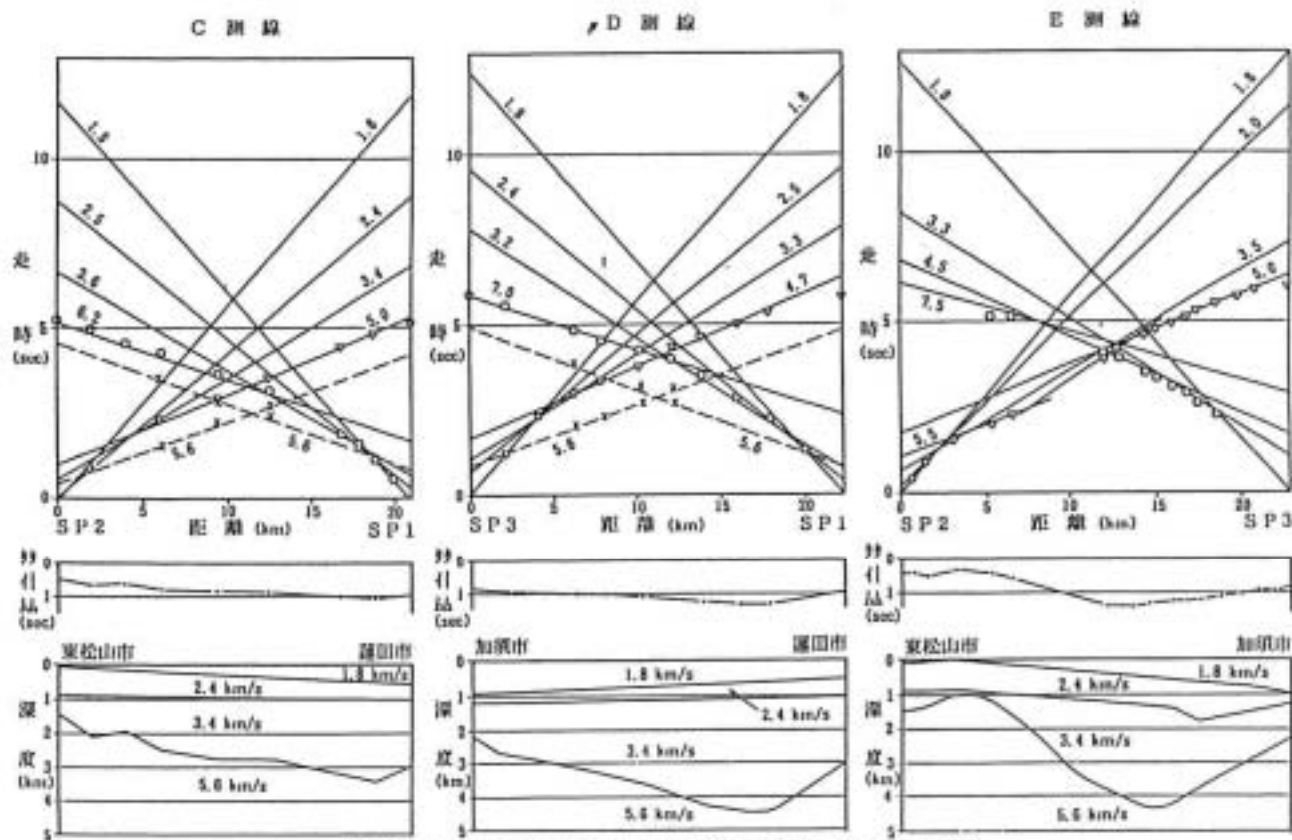
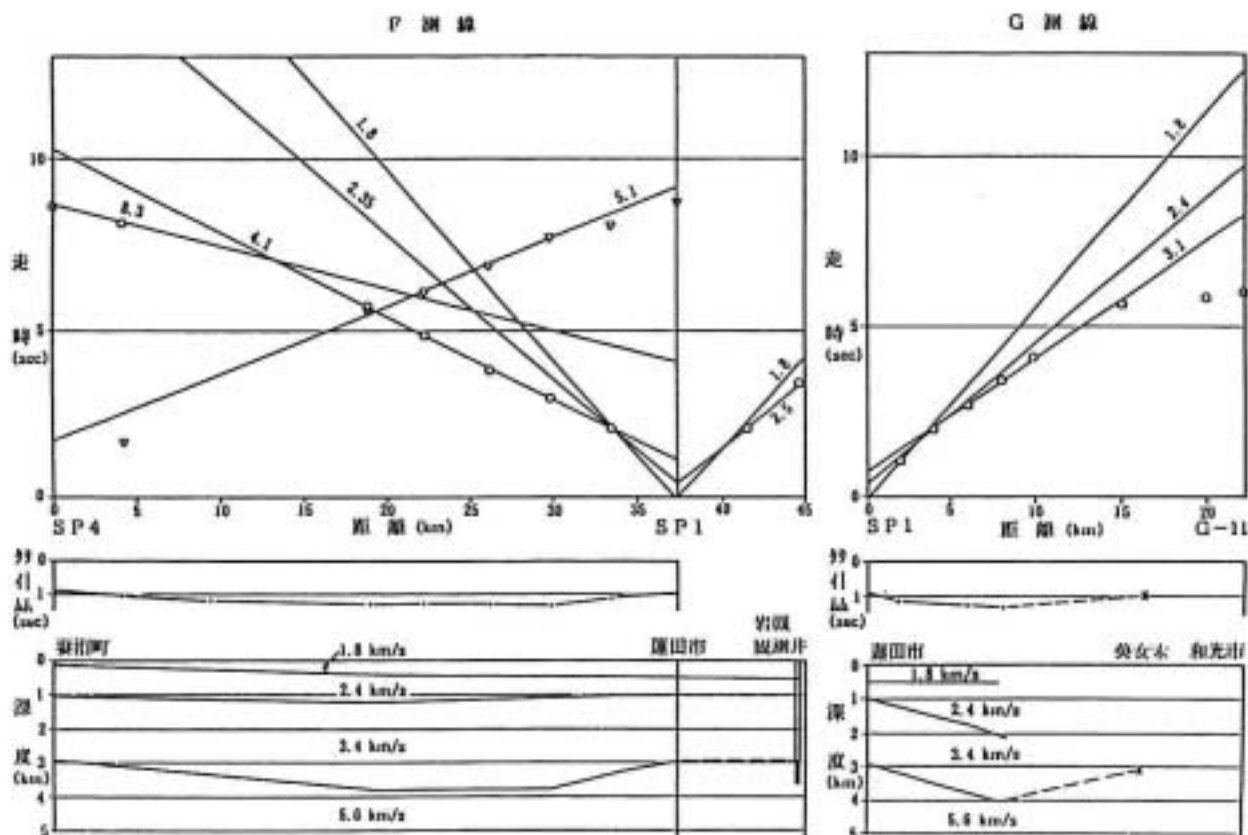


図-5(2) 走時曲線、第4速度層のタイムタームおよび解析断面(C線、D線、E線)
Fig. 5(2) Travel time diagrams, time terms of the fourth velocity layer and analyzed underground structure (C-line, D-line, E-line)

浜田宏司・金子史夫・山田敏博・土井俊雄(1990)
人工地震探査によって求めた埼玉県における深い地盤構造とやや長周期地震動の特性について、
応用地質年報, 12, 13-37.



浜田宏司・金子史夫・山田敏博・土井俊雄(1990)

人工地震探査によって求めた埼玉県における深い地盤構造とやや長周期地震動の特性について、
応用地質年報, 12, 13-37.

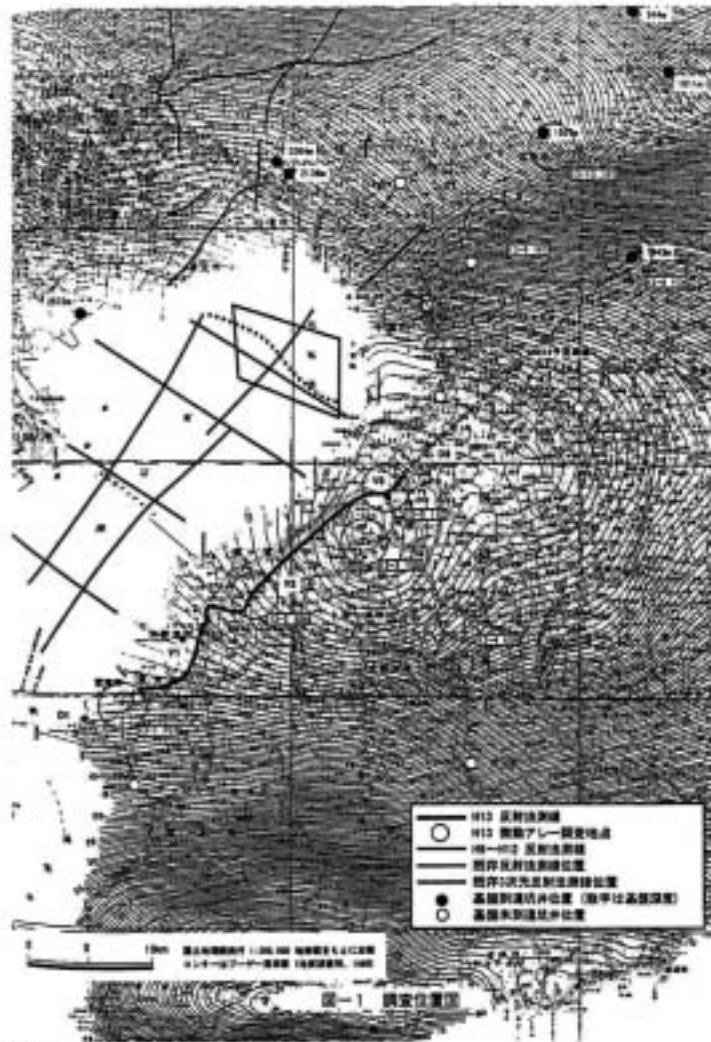


図-1 調査位置図

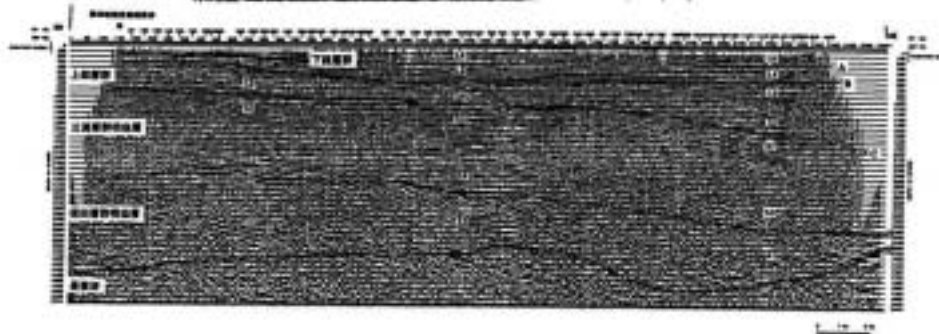
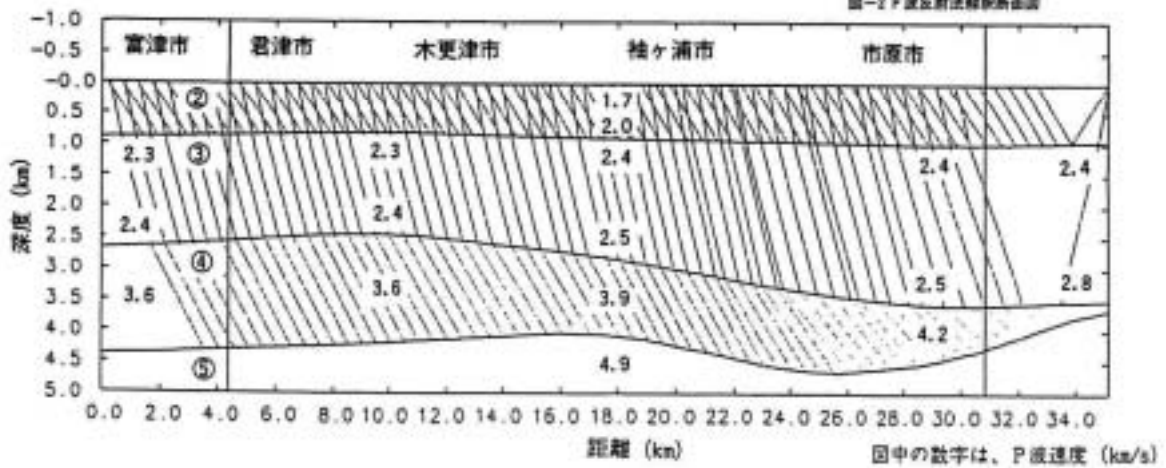


図-2 P波反射法断層断面図



千葉県(2002), 関東平野(千葉県中央部地域)の地下構造調査
 2002年活断層調査成果および堆積平野地下構造調査成果報告会予稿集, 59-68.

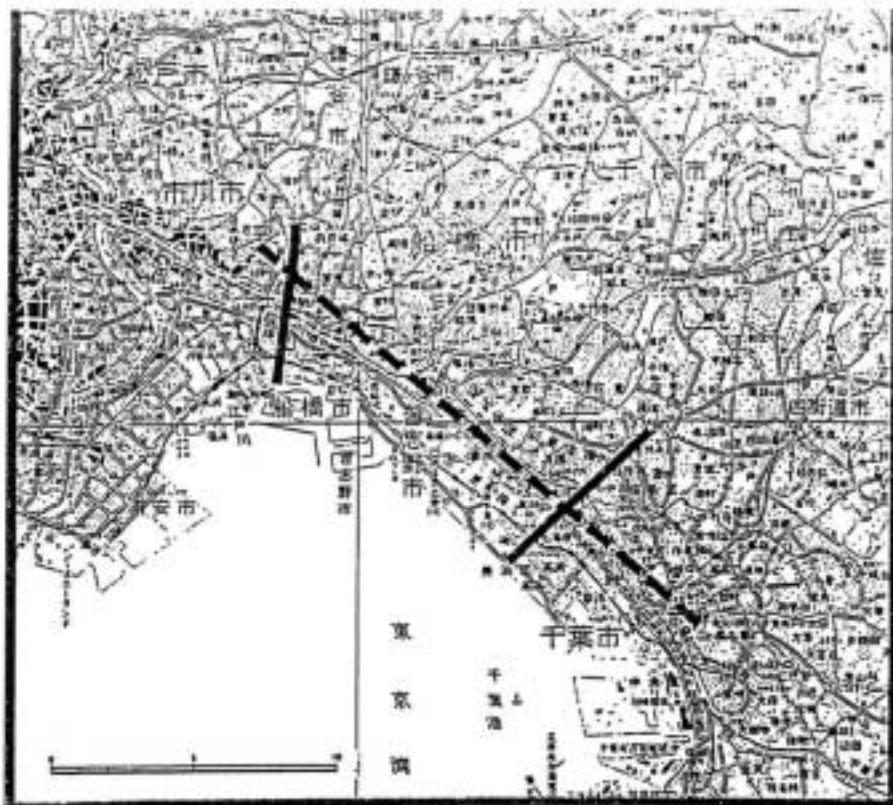
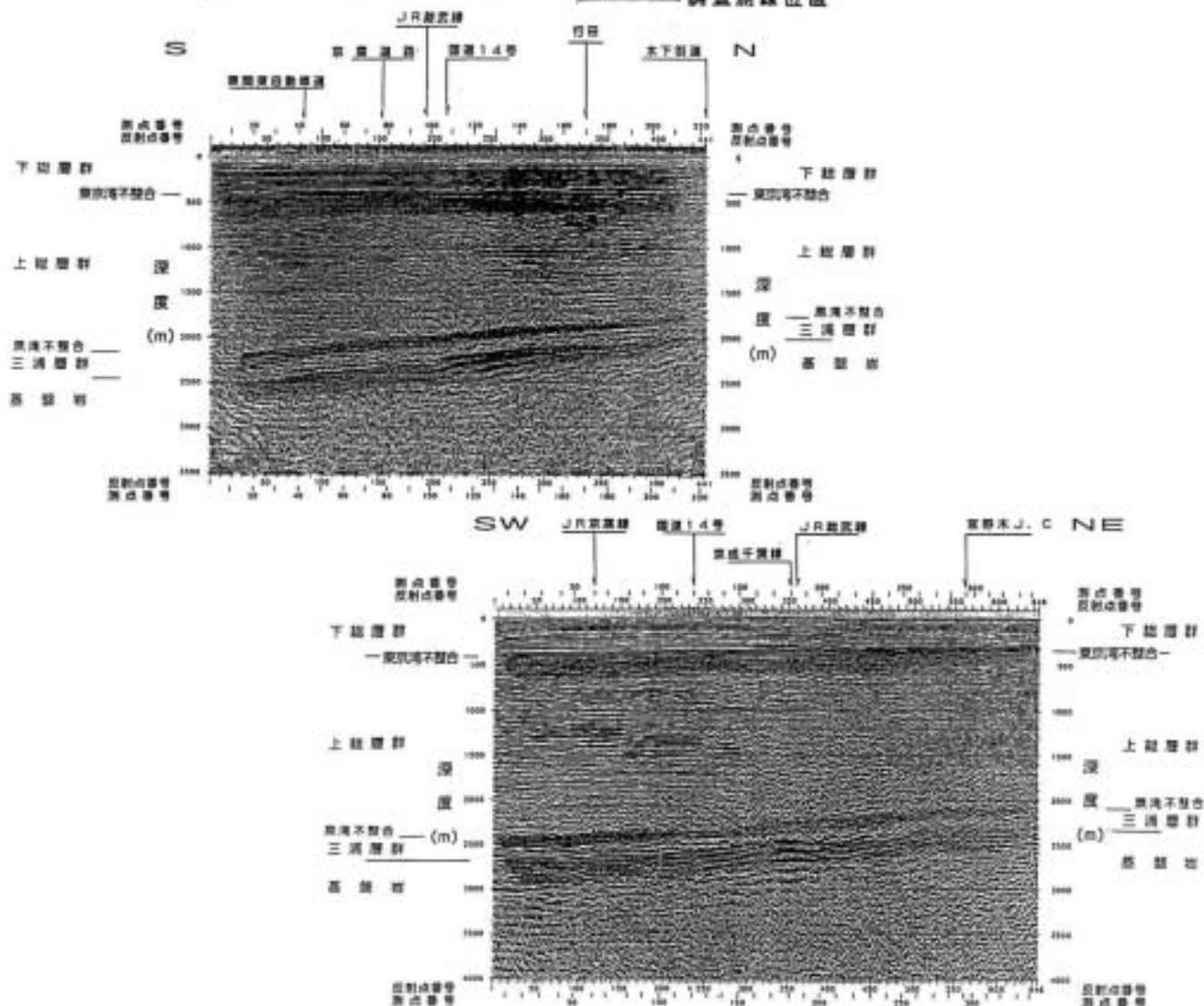


図-1 調査地点位置図

--- 推定断層位置
 — 調査測線位置



千葉県(1998)東京湾北縁断層に関する調査。
 平成10年11月第2回活断層調査成果報告会予稿集, 91-97



図-1 調査地点位置図
(1:120000)

- ＝凡例＝
- 2次元射影・経緯法測線(100年度)
 - 2次元射影・経緯法測線(11年度)
 - 3次元射影測線
 - A 観測位置基点
 - A 自動レーザ観測点(終了地点)
 - A 自動レーザ観測点(観測地点)

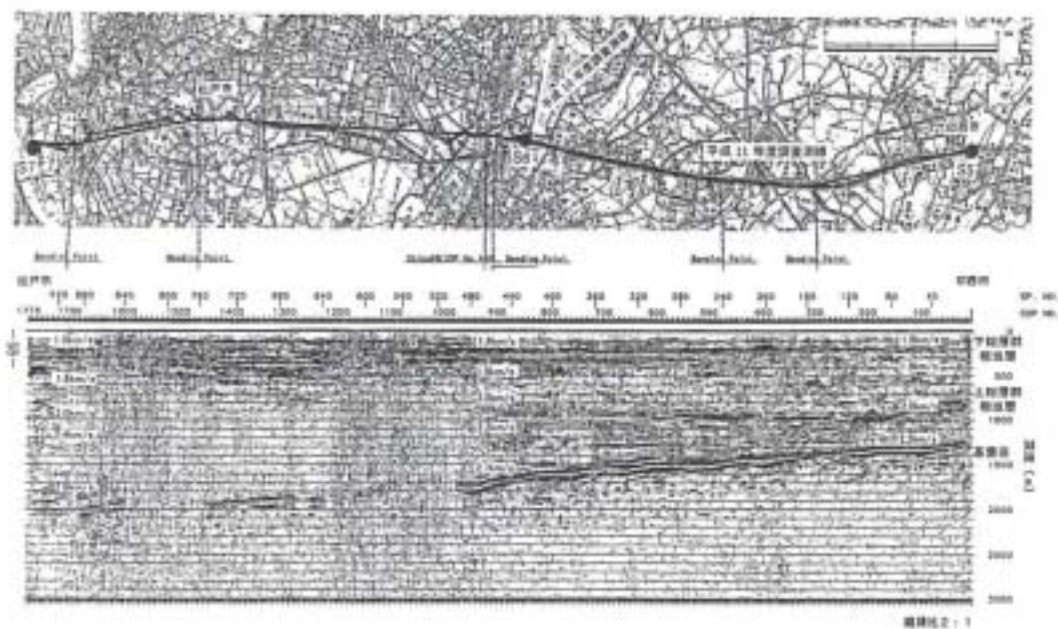


図-5 平成11年度P波反射法調査結果

千葉県(2001)関東平野(千葉県西部地域)の地下構造調査、
第2回堆積平野地下構造調査成果報告会予稿集、49-58。

関東地域の孔井データ資料集—目次—小村

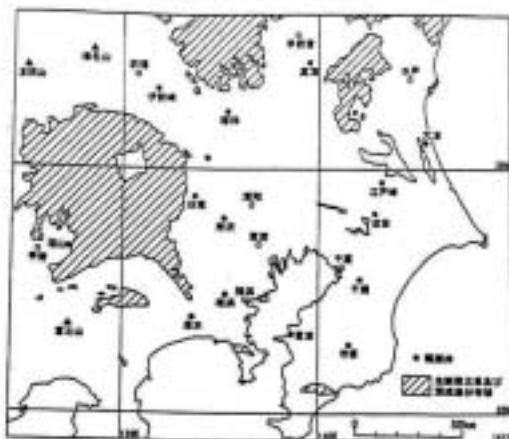


図1 観測井位置図

Fig. 1 Location of the observation wells.

表1 観測井位置及び深度一覧表

Table 1 Location and depth of the observation wells.

観測井名	都 市 名	緯 度	経 度	深 度 (m)	観測深度 (m)	資料提供機関名
中 津	千葉県千葉市美浜区1312-1	35° 32' 33.7"	140° 17' 45.7"	36.9	366.9	千葉
横 濱	神奈川県横浜市西区119-2	35° 32' 48.2"	140° 37' 31.2"	31.9	306.9	横浜
横 濱	千葉県千葉市美浜区1312-1	35° 32' 33.7"	140° 17' 45.7"	36.9	366.9	千葉
京 浜	神奈川県横浜市中区山下町200	35° 32' 48.2"	140° 37' 31.2"	15.9	165.9	横浜
江 戸 橋	東京都葛飾区江戸橋町13	35° 32' 31.2"	140° 37' 31.2"	3.0	193.0	横浜
京 浜	千葉県千葉市美浜区144-2	35° 32' 36.2"	140° 17' 31.2"	3.0	200.0	千葉
新 井	埼玉県所沢市22-1	35° 47' 34.2"	139° 32' 34.2"	36.7	366.7	東京都文京
京 浜	神奈川県横浜市中区1300	35° 32' 48.2"	140° 37' 31.2"	31.1	183.1	横浜
京 浜	東京都葛飾区1410-2	35° 32' 36.2"	140° 37' 31.2"	31.9	173.9	横浜
京 浜	千葉県千葉市美浜区1312-1	35° 32' 33.7"	140° 17' 45.7"	36.9	193.9	横浜
京 浜	千葉県千葉市美浜区1312-1	35° 32' 33.7"	140° 17' 45.7"	36.9	204.9	横浜
山 崎	山形県山形市山崎町下湯分310	35° 41' 34.2"	140° 44' 34.2"	35.1	134.9	岩手県山形
京 浜	千葉県千葉市美浜区1312-1	35° 32' 33.7"	140° 17' 45.7"	36.9	133.9	横浜
京 浜	千葉県千葉市美浜区1312-1	35° 32' 33.7"	140° 17' 45.7"	36.9	122.9	横浜

- 7 -

横浜 (YOKOHAMA)

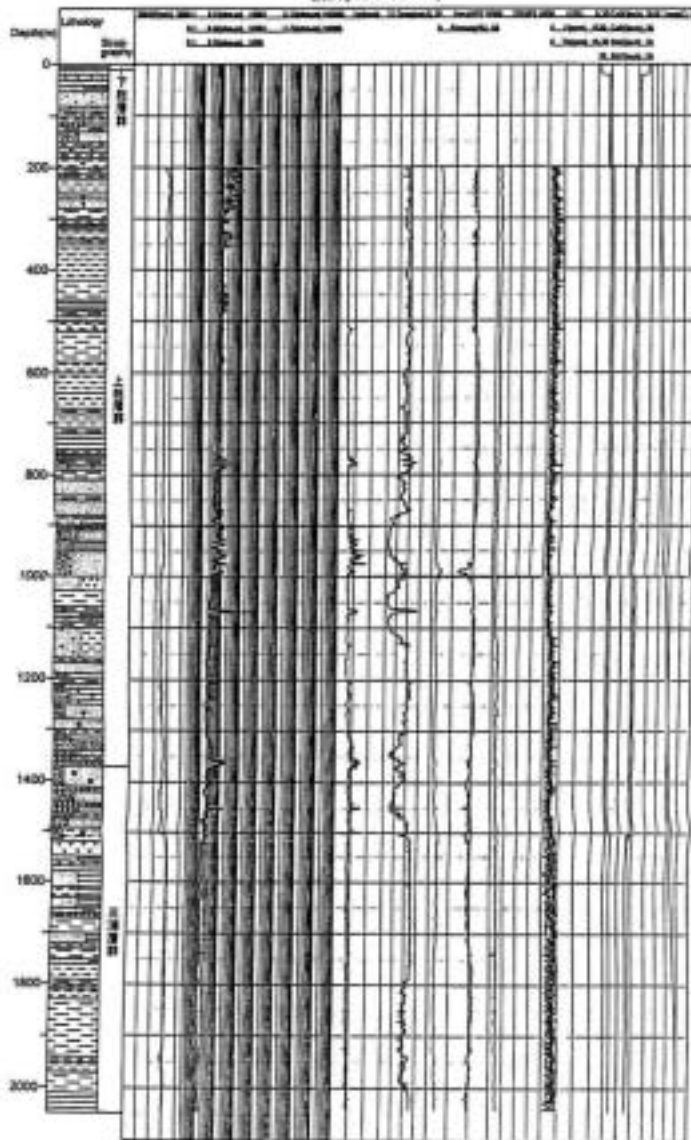


図2 観測井Y-10の地質及び物性層序図

Fig. 2 Complete lithology and geophysical log of the Y-10 observation well.

鈴木宏芳・小村健太郎(1999)

関東地域の孔井データ資料集. 防災科学技術研究所研究資料, 191, 80p.

関東地域の孔井データ資料集—図表—小村

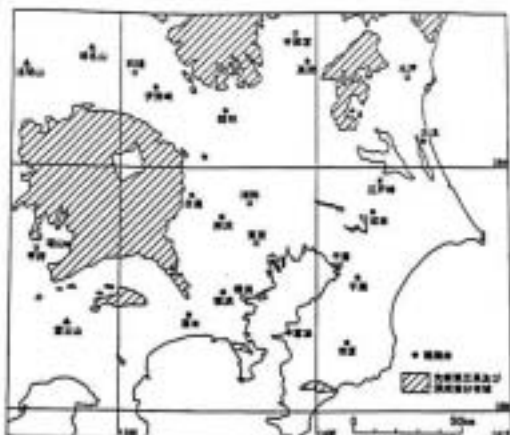


図1 観測井位置図
Fig. 1 Location of the observation wells.

表1 観測井位置及び深度一覧表
Table 1 Location and depth of the observation wells.

観測井名	所在地	緯度	経度	緯度(Deg)	経度(Deg)	全井深(m)	全井深1階深(m)
中 原	千葉県千葉市中央区(中1)	35° 32' 33.7"	140° 12' 41.2"	35.5	140.2	2040.0	千原
神 奈 川	神奈川県横浜市西区(神1)	35° 32' 46.4"	139° 37' 31.4"	35.5	139.6	2040.0	横浜
神 奈 川	千葉県千葉市中央区(神2)	35° 37' 36.2"	140° 30' 22.2"	35.6	140.5	2040.0	千葉
神 奈 川	神奈川県横浜市西区(神3)	35° 34' 35.9"	139° 37' 31.2"	35.6	139.6	1827.0	横浜
江 戸 川	東京都葛飾区江戸川(江1)	35° 38' 31.7"	140° 30' 35.8"	35.6	140.5	1724.0	江戸
京 成	千葉県京成線(京1)	35° 30' 38.4"	139° 37' 31.2"	35.5	139.6	2040.0	京成
京 成	埼玉県蕨市(京2)	35° 47' 34.7"	139° 32' 18.2"	35.8	139.5	2024.0	蕨
京 成	埼玉県蕨市(京3)	35° 47' 44.2"	139° 32' 18.2"	35.8	139.5	1824.0	蕨
京 成	埼玉県蕨市(京4)	35° 38' 34.2"	139° 37' 18.7"	35.6	139.6	1724.0	蕨
京 成	千葉県成田市(京5)	35° 48' 34.7"	140° 32' 34.2"	35.8	140.5	1934.0	成田
伊 勢 川	滋賀県伊勢川(伊1)	35° 33' 46.1"	139° 17' 36.2"	35.6	139.3	2040.0	伊勢
山 形	山形県山形市(山1)	35° 41' 16.2"	140° 44' 31.2"	35.7	140.7	1345.0	山形
横 濱	神奈川県横浜市(横1)	35° 34' 31.4"	139° 32' 31.2"	35.6	139.5	1934.0	横浜
大 塚	東京都練馬区(大1)	35° 38' 34.2"	140° 32' 34.2"	35.6	140.5	1221.0	練馬

— 7 —

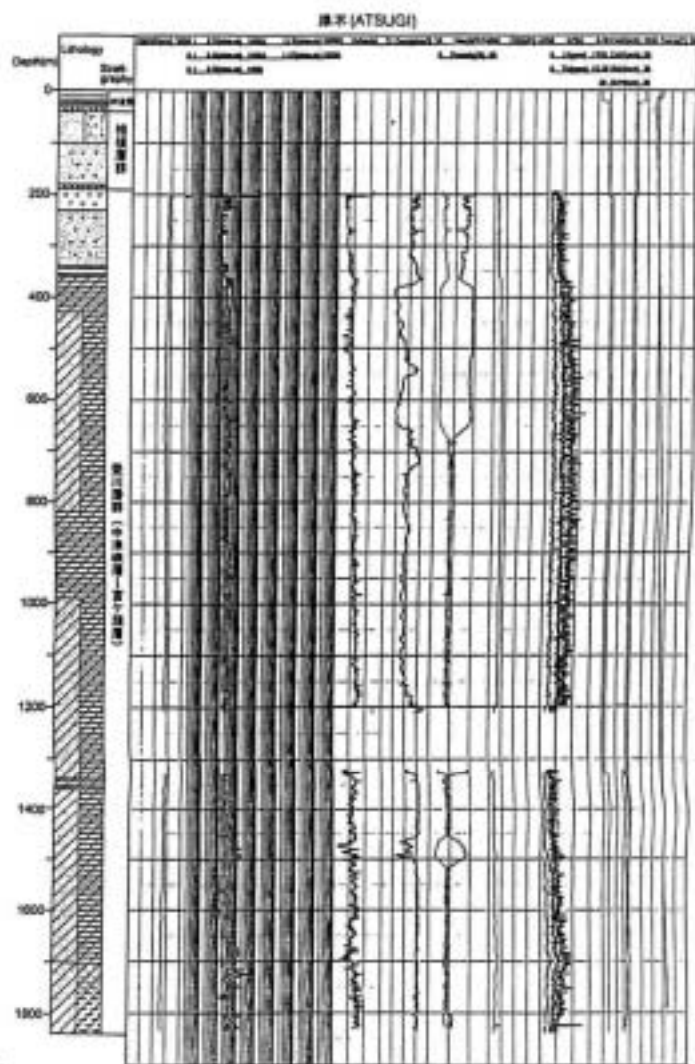
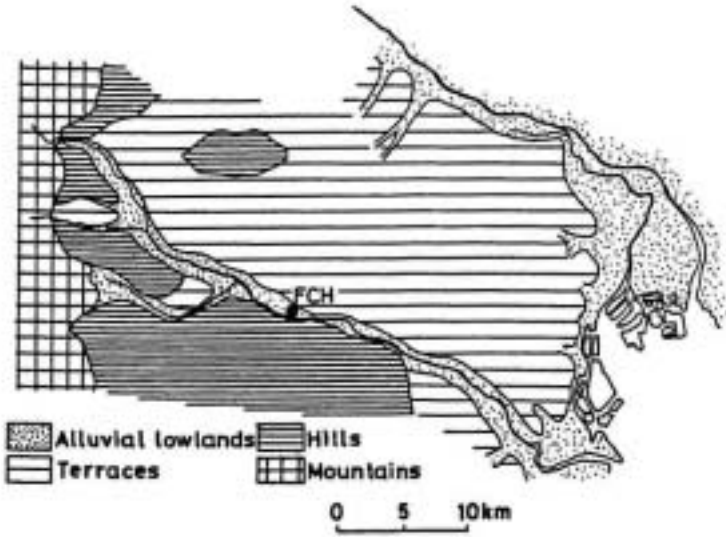


図2 東京圏中央部観測井ATSUJQ1の地質断面
Fig.2 Geological profile and hydrological data of the observation well

鈴木宏芳・小村健太郎(1999)
関東地域の孔井データ資料集. 防災科学技術研究所研究資料, 191, 80p.



緯度 35度39分02.4秒
 経度 139度28分25.1秒
 標高 44.71 m

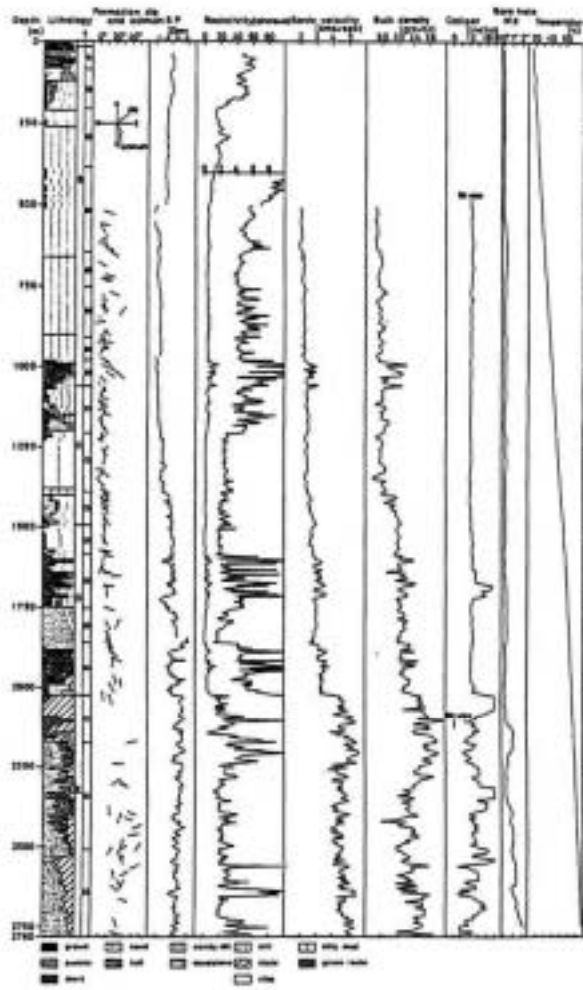


Fig. 4. Geological section and results of logging.

鈴木宏芳・高橋 博(1985)
 府中地殻活動観測井の作井と坑井地質. 国立防災科学技術センター研究速報, 64.

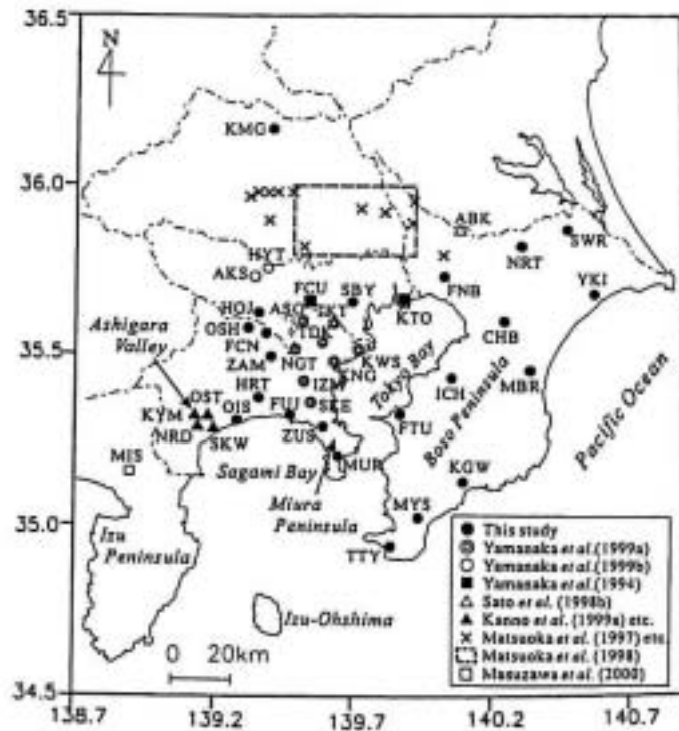


Fig. 1 Map of the Kanto plain with locations of microtremor arrays. Solid circles indicate locations of the arrays in this study, and other notations show those of previous studies.

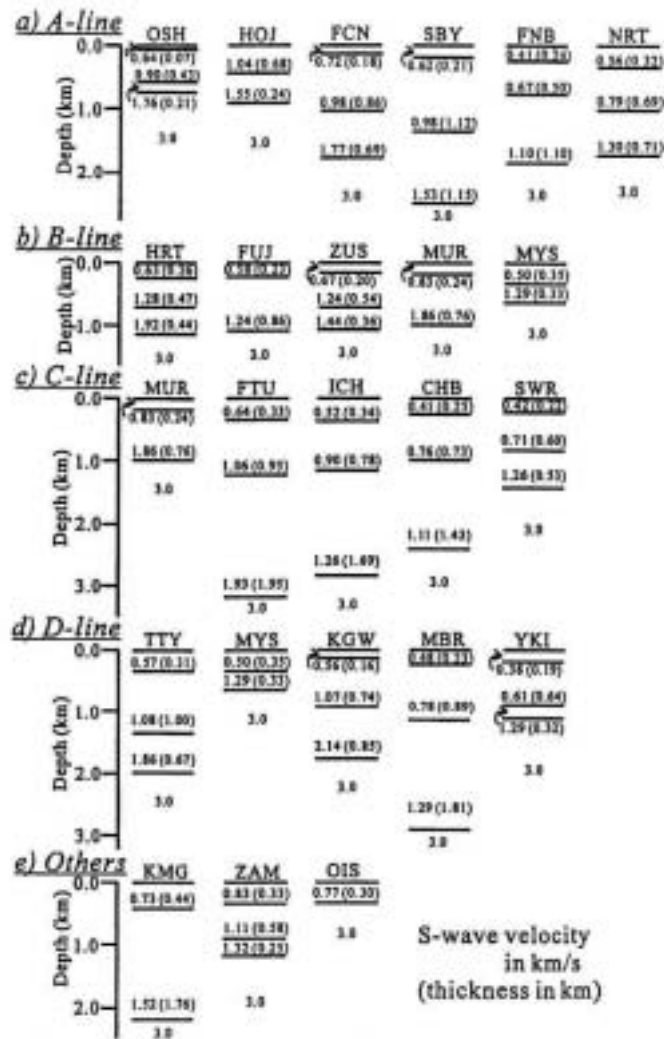


Fig. 9 S-wave velocity profiles estimated from genetic inversion of phase velocities observed at sites indicated by solid circles in Fig. 1.

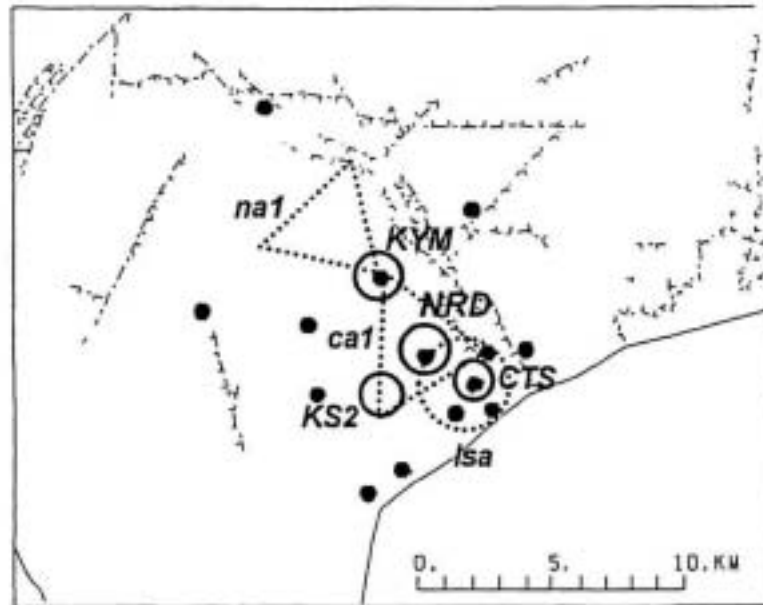


Fig. 14. Locations of observation stations used in Higashi and Kudo (1992) and microtremor array observation sites after Miyakoshi et al. (1994), Kanno et al. (1998) and Kanno et al. (2000). Dots denote the observation stations used in Higashi and Kudo (1992). Open circles noted as KS2 [Miyakoshi et al. (1994)], KYM and NRD [Kanno et al. (1998)], and CTS [Kanno et al. (2000)] are microtremor array observation sites. Two Triangles and a circle drawn in broken lines denote the strong motion arrays used in this study.

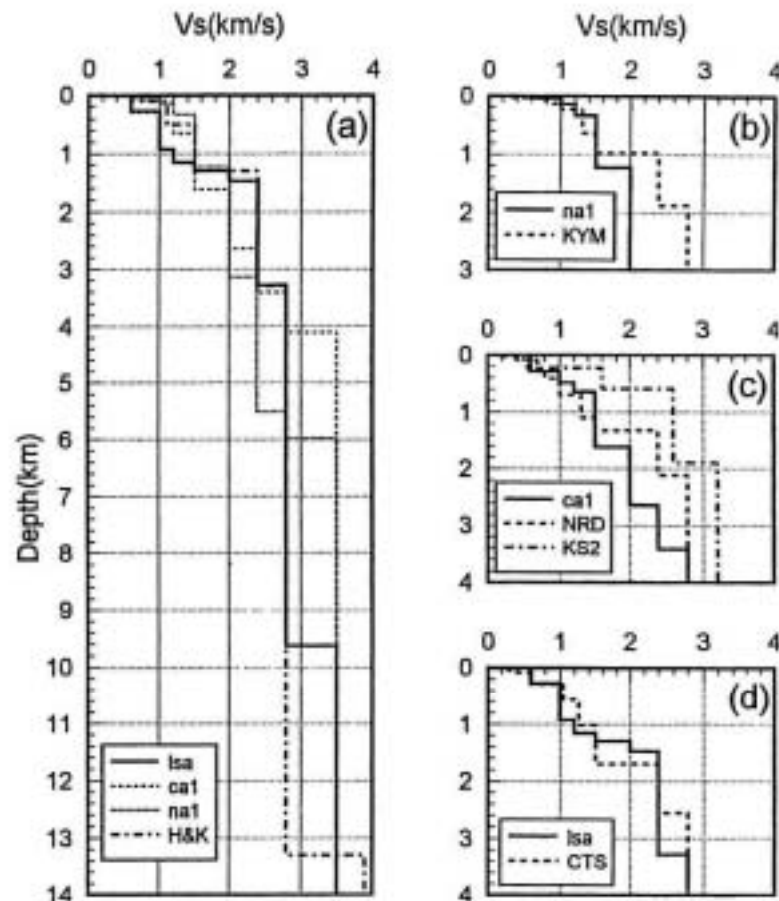


Fig. 15. Comparisons of S wave velocity models. (a) shows the models of isa, ca1, na1 and H & K. The models of isa, ca1 and na1 were estimated in this study. The model of H & K was estimated by Higashi and Kudo(1992). (b) shows models of na1 and KYM. The model of KYM was estimated by Kanno et al. (1998). (c) shows the models of ca1, NRD and KS2. The model of NRD was estimated by Kanno et al. (1998). The model of KS2 was estimated by Miyakoshi et al. (1994). (d) shows the models of isa and CTS. The model of CTS was estimated by Kanno et al. (2000).

植竹 富一・工藤 一嘉(2001)

LOVE 波分散性から評価した足柄平野とその周辺地域の三次元 S 波速度構造
地震第 2 輯第 54 巻,281-297

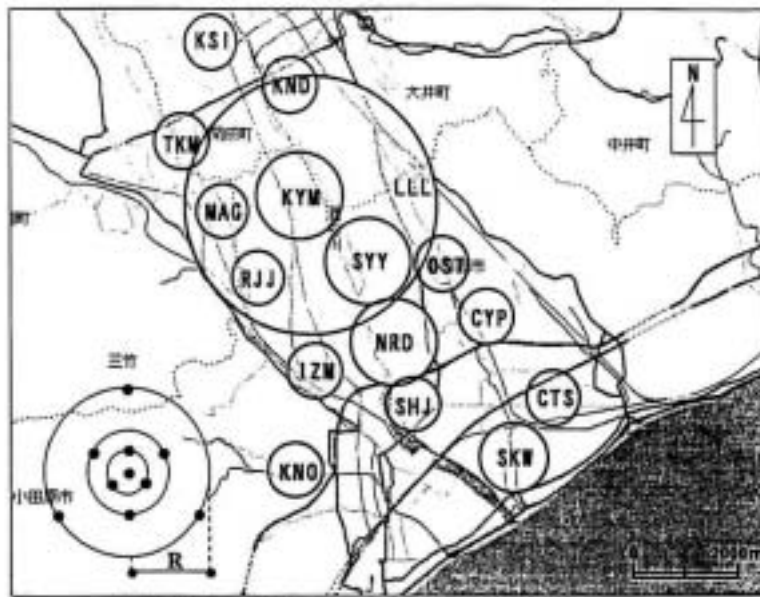


図 2.3.1 微動アレー観測を実施した地域.

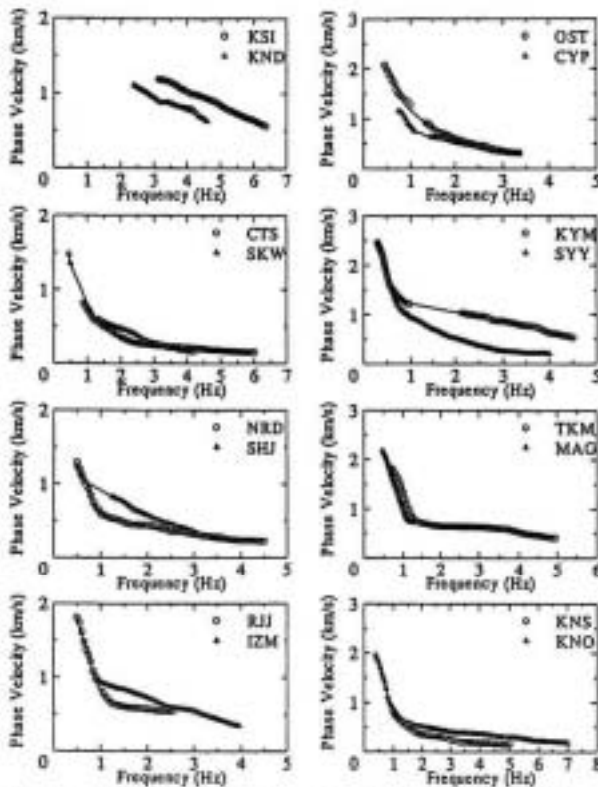


図 2.3.3 微動アレー観測によって求めた Rayleigh 波の位相速度.

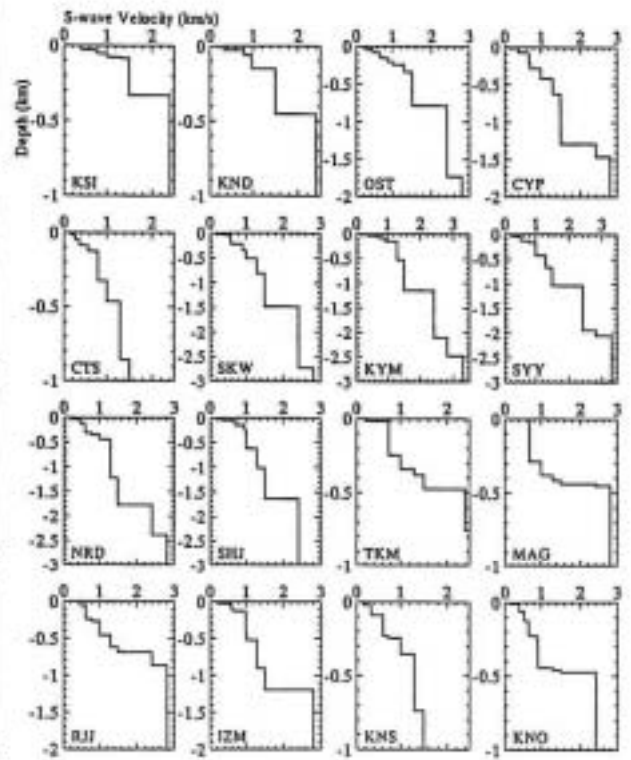


図 2.3.4 推定された S 波速度構造.

神野 達夫(2000年12月)
 深部地盤構造を考慮した建築構造物への入力地震動に関する研究

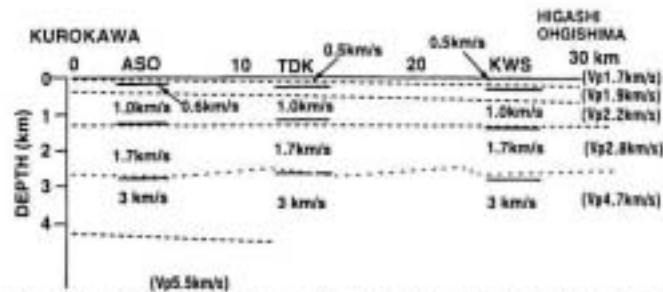


Fig. 8. Comparison of S-wave profiles from microtremor array measurements with P-wave profile from seismic refraction survey between Higashi-Ohgishima and Kurokawa, Kawasaki city. The P-wave profile was from seismic refraction surveys by YAMANAKA *et al.* (1988).

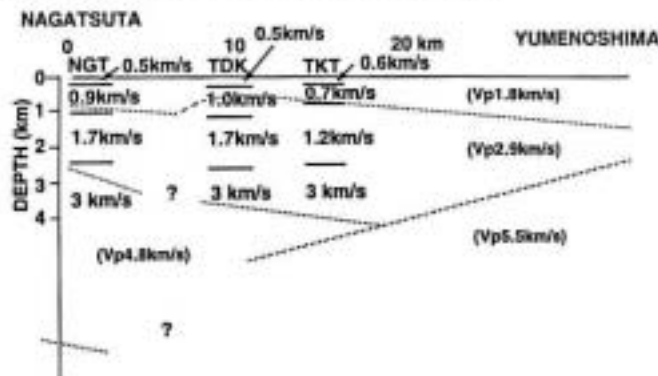


Fig. 9. Comparison of S-wave profiles from microtremor array measurements with P-wave profile from seismic refraction survey between Yumenoshima, Tokyo and Nagatsuta, Yokohama city. The P-wave profile was from seismic refraction surveys by YAMANAKA *et al.* (1988).

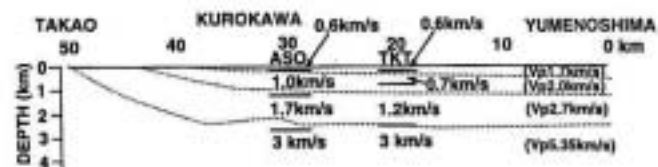


Fig. 10. Comparison of S-wave profiles from microtremor array measurements with P-wave profile from seismic refraction survey between Yumenoshima and Takao, Tokyo. The P-wave profile was from seismic refraction surveys by YAMANAKA *et al.* (1988).

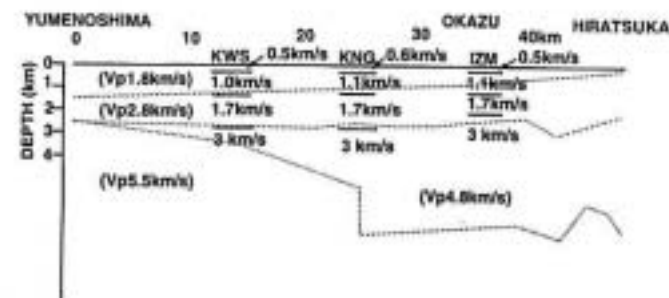


Fig. 11. Comparison of S-wave profiles from microtremor array measurements with P-wave profile from seismic refraction survey between Yumenoshima and Hiratsuka. The P-wave profile was from seismic refraction surveys by YAMANAKA *et al.* (1988).

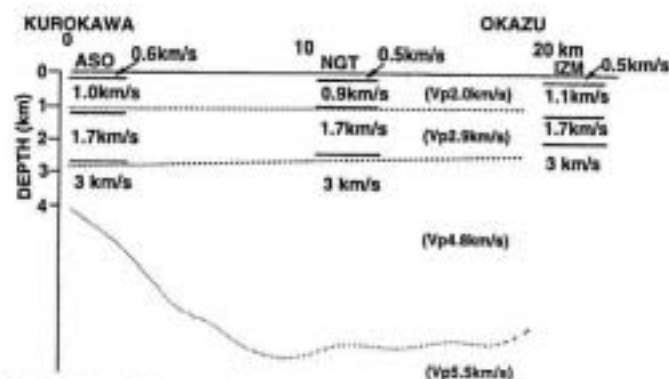


Fig. 12. Comparison of S-wave profiles from microtremor array measurements with P-wave profile from seismic refraction survey between Kurokawa in Kawasaki city, and Okazu in Yokohama city. The P-wave profile was from seismic refraction surveys by YAMANAKA *et al.* (1988).

山中 浩明・佐藤 浩章・栗田 勝実・瀬尾 和大(1999)

関東平野南西部におけるやや長周期微動のアレイ観測 — 川崎市および横浜市の S 波速度構造の推定 —
地震第 2 輯第 51 巻第 4 号, 355-365



図 13 微動アレイ探査位置図

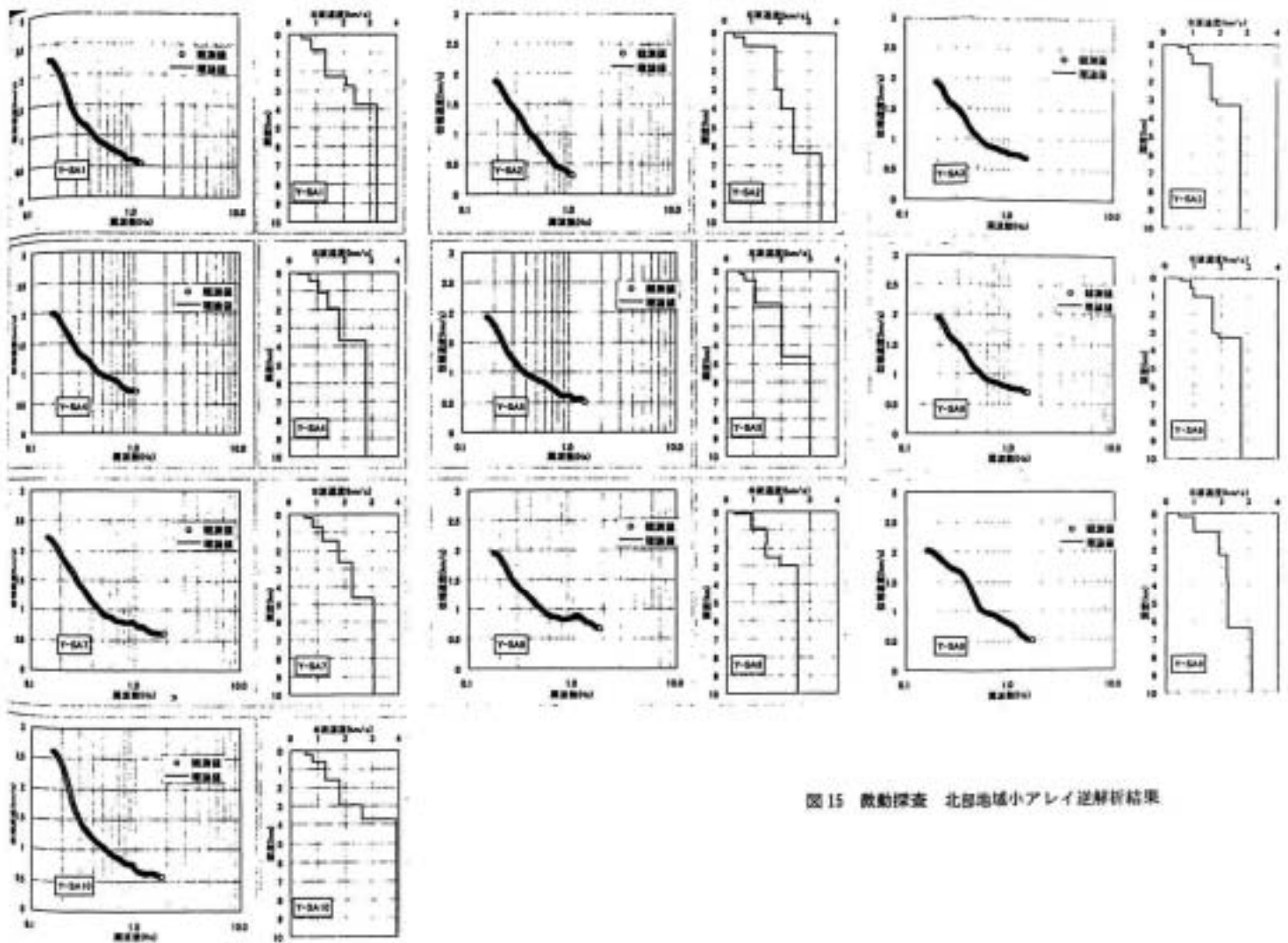


図 15 微動探査 北部地域小アレイ逆算結果

横浜市(平成12年3月)
関東平野(横浜市地域)の地下構造調査、2-13~2-15

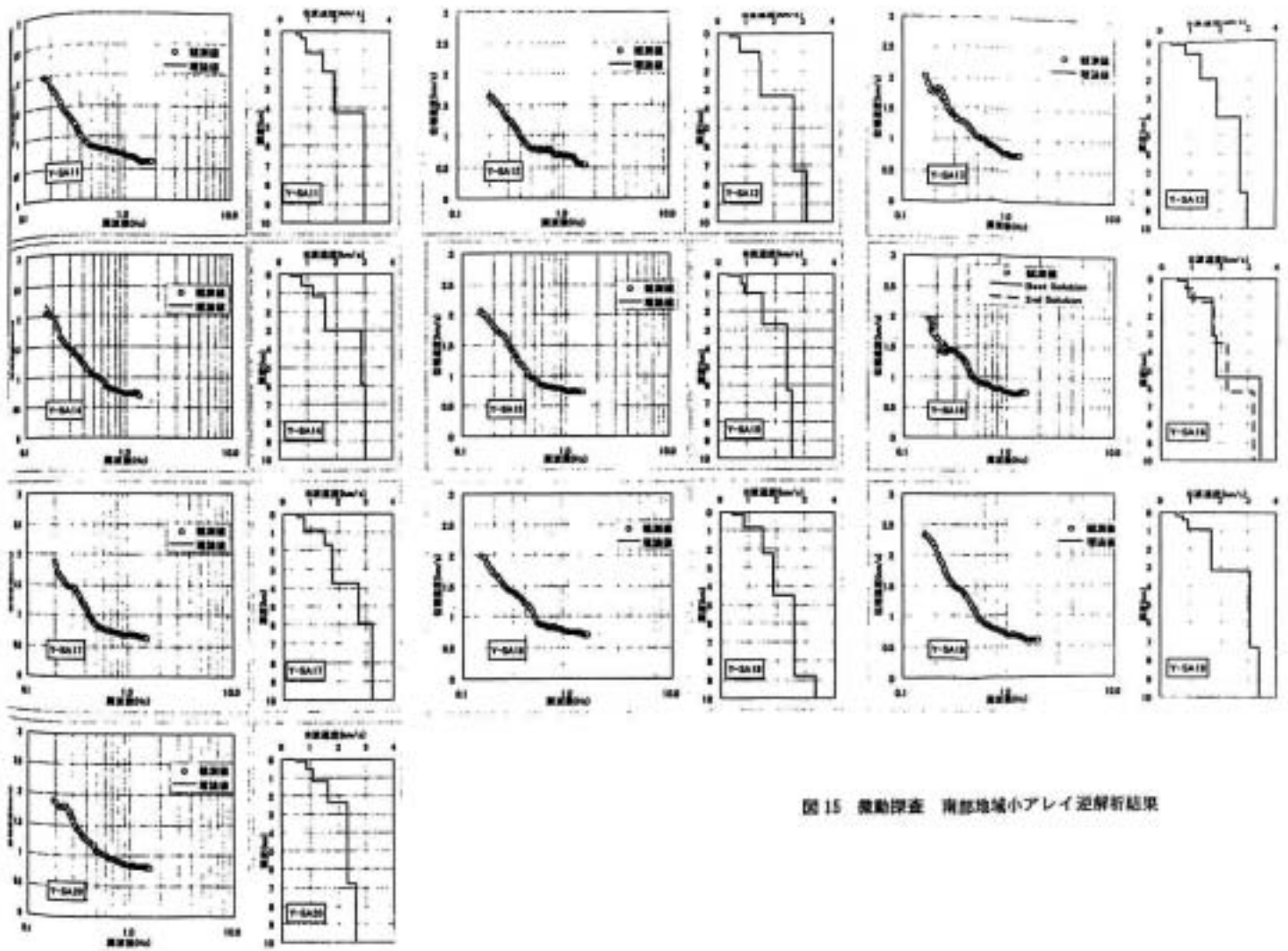


図 15 震動探査 南部地域小アレイ逆解析結果

横浜市(平成12年3月)
 関東平野(横浜市地域)の地下構造調査. 2-13~2-15